

การจดจำเสียงเครื่องดนตรีไทยในเพลงไทยเดิม

เอกพงศ์ แผ่นคำ

วิทยานิพนธ์นี้เป็นส่วนหนึ่งของการศึกษาตามหลักสูตรปริญญาวิทยาศาสตรมหาบัณฑิต
สาขาวิชาเทคโนโลยีสารสนเทศ คณะวิทยาศาสตร์
มหาวิทยาลัยอุบลราชธานี

พ.ศ. 2555

ลิขสิทธิ์เป็นของมหาวิทยาลัยอุบลราชธานี



THAI MUSICAL TIMBRE RECOGNITION

AKAPHONG PHAENKHAM

A THESIS SUBMITTED IN PARTIAL FULFILLMENT OF THE REQUIREMENTS

FOR THE DEGREE OF MASTER OF SCIENCE

MAJOR IN INFORMATION TECHNOLOGY

FACULTY OF SCIENCE

UBON RATCHATHANI UNIVERSITY

YEAR 2012

COPYRIGHT OF UBON RATCHATHANI



ในรับรองวิทยานิพนธ์
มหาวิทยาลัยอุบลราชธานี
ปริญญา วิทยาศาสตรมหาบัณฑิต
สาขาวิชาเทคโนโลยีสารสนเทศ คณะวิทยาศาสตร์

เรื่อง การจดจำเสียงเครื่องคนตีไทยในเพลงไทยเดิม

ผู้วิจัย นายเอกพงศ์ แผ่นคำ

ได้พิจารณาที่นั่นชอบโดย

..... *สุวิทย์ ชัยวัฒน์*

อาจารย์ที่ปรึกษา

(ผู้ช่วยศาสตราจารย์ ดร.มนูญ ศรีวิรัตน์)
..... *มนูญ ศรีวิรัตน์*

กรรมการ

(ดร.ศุภกานต์ พิมลธรรม)
..... *ศุภกานต์ พิมลธรรม*

กรรมการ

(รองศาสตราจารย์ ดร.วนิศา แก่นอากาศ)
..... *วนิศา แก่นอากาศ*

กรรมการ

(ดร.อัจฉรา มหาเวรัวตน์)

..... *อัจฉรา มหาเวรัวตน์*

กรรมการ

(ผู้ช่วยศาสตราจารย์ ดร.จันทร์เพ็ญ อินทรประเสริฐ)

มหาวิทยาลัยอุบลราชธานี รับรองแล้ว

..... *จันทร์เพ็ญ อินทรประเสริฐ*

(ผู้ช่วยศาสตราจารย์ ดร.อุทิศ อินทร์ประเสริฐ)

รองอธิการบดีฝ่ายวิชาการ

ปฏิบัติราชการแทนอธิการบดี มหาวิทยาลัยอุบลราชธานี

ปีการศึกษา 2555

กิตติกรรมประกาศ

วิทยานิพนธ์ฉบับนี้สำเร็จได้ด้วยความกรุณาจาก ผู้ช่วยศาสตราจารย์ ดร.มนูญ ศรีวิรัตน์ ประธานกรรมการที่ปรึกษาวิทยานิพนธ์ และรองศาสตราจารย์ ดร.วนิดา แก่นอากาศ กรรมการที่ปรึกษาวิทยานิพนธ์ ผู้ชี้แจงกรุณาให้ความรู้ คำแนะนำ ข้อคิดเห็น ให้คำปรึกษา เป็นอย่างดีตลอดมา จึงขอกราบขอบพระคุณท่านเป็นอย่างสูง

ขอขอบพระคุณอาจารย์ ภาควิชาคณิตศาสตร์ สถาบันคอมพิวเตอร์ คณะวิทยาศาสตร์ มหาวิทยาลัยอุบลราชธานี ที่ได้ถ่ายทอดความรู้ทั้งทางด้านทฤษฎีและปฏิบัติตลอดงานคำแนะนำด่างๆ ยังมีค่าตลอดหลักสูตรการเรียนการสอน

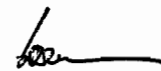
ขอขอบพระคุณผู้ช่วยศาสตราจารย์ อารีรัตน์ เรืองกำเนิด และอาจารย์พัน พงษ์ผล คณะศิลปศาสตร์ มหาวิทยาลัยอุบลราชธานี ผู้ชี้แจงกรุณาให้คำแนะนำเกี่ยวกับคนตระหง่าน ไทย และให้ความอนุเคราะห์ข้อมูลเชิงคณิตศาสตร์ไทย

ขอขอบพระคุณอาจารย์ ดร.บรรเทน สุรพร อาจารย์ ดร.ณัฐรุ่ง ดิษฐ์เจริญ และอาจารย์อัปสร อินทิแสง ที่ได้กรุณาให้คำแนะนำเนื้อหาที่เกี่ยวข้องกับวิทยานิพนธ์

ขอขอบพระคุณอาจารย์ปริญญา ทองคำ คณะวิทยาการจัดการ มหาวิทยาลัยราชภัฏมหาสารคาม ที่ได้กรุณาให้คำแนะนำเนื้อหาที่เกี่ยวข้องกับวิทยานิพนธ์

ขอขอบพระคุณท่านคณะกรรมการสอบวิทยานิพนธ์ อาจารย์ ดร.อัจรา มหาเวรัวตน์ อาจารย์ ดร.ศุภกานต์ พินลดธเรศ ที่สละเวลาอันมีค่าของท่านมาเป็นคณะกรรมการสอบวิทยานิพนธ์ และกรุณาช่วยตรวจสอบวิทยานิพนธ์พร้อมทั้งให้คำแนะนำ

ท้ายนี้ ขอขอบพระคุณ บิค่า มารดา พี่น้อง เพื่อนๆ ที่เป็นกำลังใจในการศึกษาตลอดมา ขอขอบคุณ หลายท่านที่ไม่ได้กล่าวนามในที่นี้ ที่มีส่วนช่วยในการทำวิทยานิพนธ์นี้เสร็จสมบูรณ์



(นายเอกพงศ์ แผ่นคำ)

ผู้จัด

บทคัดย่อ

ชื่อเรื่อง : การจดจำเสียงเครื่องดนตรีไทยในเพลงไทยเดิม
โดย : เอกพงศ์ แผ่นคำ
ชื่อปริญญา : วิทยาศาสตรมหาบัณฑิต
สาขาวิชา : เทคโนโลยีสารสนเทศ
ประธานกรรมการที่ปรึกษา : ผู้ช่วยศาสตราจารย์ ดร.มนูญ ศรีวิรัตน์

หัวที่สำนัก : การรู้จำ การคัดแยกเสียง คุณลักษณะของเสียง

งานวิจัยนี้นำเสนอการจดจำเสียงสำหรับเครื่องดนตรีไทย 8 ชนิด ประกอบด้วย คีด ศีตี เป่า จำนวนอย่างละ 2 ชนิด โดยมีข้อมูลเสียงที่ใช้ในการวิจัยจำนวน 3,360 ข้อมูล ใช้วิเคราะห์ คุณลักษณะของเสียงด้วยเทคนิคสัมประสิทธิ์การประมาณพัณฑะเชิงเส้น (Linear Prediction Coefficients, LPC) มีกระบวนการรู้จำและจำแนกเสียงคัวขั้นตอนวิธี C5.0 ขั้นตอนวิธีการเรียนรู้ แบบแพร์เซ็นกลับ และ โครงข่ายประสาทเทียมก่อตัวด้วยตนเองของโโคโยเนน เพื่อทดสอบ หาประสิทธิภาพของกระบวนการรู้จำและจำแนกเสียงของเครื่องดนตรีไทยที่คีดที่สุด จากผลการวิจัย พบว่าขั้นตอนวิธี ที่ให้ประสิทธิภาพสูงสุดคือ ขั้นตอนวิธี C5.0 ซึ่งให้ผลลัพธ์คิดเป็นร้อยละ 76.96

ABSTRACT

TITLE : THAI MUSICAL TIMBRE RECOGNITION
BY : AKAPHONG PHAENKHAM
DEGREE : MASTER OF SCIENCE
MAJOR : INFORMATION TECHNOLOGY
CHAIR : ASST.PROF. MANOON SRIVIRAT, PH.D.

KEYWORDS : RECOGNITION / CLASSIFICATION / TIMBRE

This research presents a musical recognition for Thai classical instruments. There are 8 Thai classical instruments selected to be used in this experiment. The instruments are consisted of 2 string instruments, 2 bowed string instruments, 2 percussion instruments, and 2 wind instruments. The musical data in the experiment include 3,360 data. The musical data are analyzed using Linear Prediction Coefficients (LPC) in order to classify their characteristics. They then are classified by algorithm C5.0 Neural network backpropagation and Kohonen Self-organizing Feature Maps in order to obtain the best algorithm resulting in the most classification accuracy. The results show that the most effective algorithm is C5.0 with the accuracy rate of 76.96 percent.

สารบัญ

	หน้า
กิตติกรรมประกาศ	ก
บทคัดย่อภาษาไทย	ข
บทคัดย่อภาษาอังกฤษ	ค
สารบัญ	ง
สารบัญตาราง	ฉ
สารบัญภาพ	ช
บทที่	
1 บทนำ	
1.1 ความเป็นมาและความสำคัญของปัญหา	1
1.2 วัตถุประสงค์ของการวิจัย	2
1.3 ขอบเขตการวิจัย	2
1.4 ประโยชน์ที่คาดว่าจะได้รับ	3
2 ทฤษฎีและงานวิจัยที่เกี่ยวข้อง	
2.1 ทฤษฎีที่เกี่ยวข้อง	4
2.1.1 ประเภทของเครื่องคนตัว	4
2.1.2 เครื่องคนตัวไทย	5
2.1.3 มาตรฐานเดียงทางคนตัวไทย	6
2.2 การวิเคราะห์คุณลักษณะเด่นของเสียง	7
2.3 ขั้นตอนวิธีที่ใช้ในงานวิจัย	17
2.3.1 ขั้นตอนวิธีต้นไม้ตัดสินใจ	17
2.3.2 โครงข่ายประสาทเทียม	27
2.4 งานวิจัยที่เกี่ยวข้อง	46
3 วิธีดำเนินการวิจัย	
3.1 การเตรียมข้อมูล	48
3.1.1 ขั้นตอนการจัดเตรียมข้อมูล	48
3.1.2 การสกัดคุณลักษณะเด่นของเสียงคนตัว	48

สารบัญ (ต่อ)

	หน้า
3.1.3 ตัวอย่างข้อมูลที่ใช้ในการทดลอง	49
3.2 ขั้นตอนการรู้จำเสียงคนครี	50
3.2.1 การรู้จำของขั้นตอนวิธี	50
3.2.2 ผลลัพธ์การรู้จำของขั้นตอนวิธี	51
3.3 ขั้นตอนการจำแนกเสียงคนครี	63
4 วิเคราะห์ผลการทดลอง	
4.1 ผลการคัดแยกเสียงคนครีไทย	64
4.1.1 ผลการจำแนกเสียงคนครีไทยด้วยขั้นตอนวิธี C5.0	64
4.1.2 ผลการจำแนกเสียงคนครีไทยด้วยขั้นตอนวิธีการเรียนรู้แบบแพร์เซ็นกลับ	65
4.1.3 ผลการจำแนกเสียงคนครีไทยด้วยโกรงท่ายประสานเที่ยม ก่อตัวคุณลักษณะของโคโซเนน	66
4.2 วิเคราะห์ผลการคัดแยกเสียงของเครื่องคนครีไทย	67
5 สรุปผล และข้อเสนอแนะ	
5.1 สรุปผล	69
5.2 ข้อเสนอแนะ	69
เอกสารอ้างอิง	71
ประวัติผู้วิจัย	76

สารบัญตาราง

ตารางที่	หน้า
2.1 ประเภทของเครื่องคนตระหง่านไทย	4
2.2 ข้อมูลฝึกฝนที่ใช้ในการสร้างต้นไม้ตัดสินใจ	22
3.1 ตัวอย่างข้อมูลที่ผ่านกระบวนการถกคัดคุณลักษณะเด่น	49
3.2 ค่าพารามิเตอร์ของขั้นตอนวิธี C5.0	52
3.3 ตัวอย่างผลลัพธ์ของขั้นตอนวิธี C5.0	53
3.4 ค่าพารามิเตอร์ของขั้นตอนวิธีการการเรียนรู้แบบแพร์ย้อนกลับชั้นช่องที่ 1	55
3.5 ค่าพารามิเตอร์ของขั้นตอนวิธีการการเรียนรู้แบบแพร์ย้อนกลับชั้นช่องที่ 1 อย่างละเอียด	56
3.6 ค่าพารามิเตอร์ของขั้นตอนวิธีการการเรียนรู้แบบแพร์ย้อนกลับชั้นช่องที่ 2	57
3.7 ค่าพารามิเตอร์ของขั้นตอนวิธีการการเรียนรู้แบบแพร์ย้อนกลับชั้นช่องที่ 2 อย่างละเอียด	58
3.8 ค่าพารามิเตอร์ของขั้นตอนวิธีการการเรียนรู้แบบแพร์ย้อนกลับชั้นช่องที่ 3	58
3.9 ค่าพารามิเตอร์ของขั้นตอนวิธีการการเรียนรู้แบบแพร์ย้อนกลับชั้นช่องที่ 3 อย่างละเอียด	59
3.10 ตัวอย่างผลลัพธ์ของขั้นตอนวิธีแบบแพร์ย้อนกลับ	61
3.11 ค่าพารามิเตอร์ของโครงข่ายประสาทเทียมก่อตัวขึ้นเองของโคโยเนน	62
4.1 ลักษณะการแสดงผลการวิเคราะห์ผลด้วย Confusion Matrix	64
4.2 ผลการคัดแยกเสียงคนตระหง่านไทยด้วยขั้นตอนวิธี C5.0	65
4.3 ผลการคัดแยกเสียงคนตระหง่านไทยด้วยขั้นตอนวิธีการการเรียนรู้แบบแพร์ย้อนกลับ	65
4.4 ผลการคัดแยกเสียงคนตระหง่านไทยด้วยโครงข่ายประสาทเทียมก่อตัวขึ้นเองของโคโยเนน	66

สารบัญภาพ

ภาพที่	หน้า
2.1 มาตรการเสียงคนตระไทยกับคนตระสาгал	6
2.2 แบบจำลองเทคนิคสัมประสิทธิ์การประมาณพันธะเชิงเส้นสำหรับสัญญาณเสียง	8
2.3 การสังเคราะห์เสียงตามแบบจำลองเทคนิคสัมประสิทธิ์การประมาณพันธะเชิงเส้น	8
2.4 ขั้นตอนการประมาณผลด้วยเทคนิคสัมประสิทธิ์การประมาณพันธะเชิงเส้น	14
2.5 การแบ่งช่วงของสัญญาณ	16
2.6 ตัวอย่างโครงสร้างขั้นตอนวิธีค้นไม้ตัดสินใจ	17
2.7 ตัวอย่างการแบ่ง Infomation Gain	24
2.8 ตัวอย่างการแบ่ง Gain Ratio	24
2.9 โครงสร้างของเซลล์ประสาทในสมองมนุษย์	27
2.10 แบบจำลองของเซลล์ประสาท	28
2.11 นิวรอนโน้มเดด	28
2.12 โครงข่ายประสาทเทียมอย่างจ่าย	30
2.13 กราฟของไสเปอร์นอลิกแทนเจ็นต์	31
2.14 โครงข่ายประสาทเทียมอย่างจ่ายแบบหลาຍชັນ	31
2.15 รูปแบบโครงข่ายประสาทเทียมแบบมัลติเลเยอร์เพอร์เซ็พตรอน	32
2.16 ลักษณะทั่วไปของโครงข่ายแบบป้อนไปข้างหน้าหลาຍชັນ	34
2.17 การเปลี่ยนโครงข่ายแบบป้อนไปข้างหน้าหลาຍชັນ โดยใช้ขั้นตอนวิธีแบบแพร์เซ่นกลับ	34
2.18 การเชื่อมต่อและตัวแปรของโครงข่ายแบบป้อนไปข้างหน้าหลาຍชັນ	36
2.19 กระบวนการปรับค่าถ่วงน้ำหนักโดยใช้ขั้นตอนวิธีแบบแพร์เซ่นกลับ	42
2.20 การปรับค่าเข้าใกล้ศูนย์ก่อตัวที่สุด	45
3.1 การสกัดคุณลักษณะเด่นของเสียงคนตระ	48
3.2 การสอนระบบบรรจุจำเสียงของเครื่องคนตระไทยด้วยขั้นตอนวิธี	50
3.3 การจำแนกเสียงของเครื่องคนตระไทยด้วยขั้นตอนวิธี(ข้อมูลชุดทดสอบระบบบรรจุจำ)	51
3.4 ภาพค้นไม้ตัดสินใจที่ได้จากขั้นตอนวิธี C5.0	54
3.5 ตัวอย่างโหนดรากของค้นไม้ตัดสินใจที่ได้จากขั้นตอนวิธี C5.0	54
3.6 ภาพโครงข่ายประสาทเทียมแบบแพร์เซ่นกลับ	60

สารบัญภาพ (ต่อ)

ภาพที่	หน้า
3.7 การจำแนกเสียงของเครื่องดนตรีไทยด้วยขั้นตอนวิธี	63

บทที่ 1

บทนำ

1.1 ความเป็นมาและความสำคัญของปัญหา

เสียงคุณศรีเป็นสิ่งที่สามารถให้ความบันเทิงกับผู้ได้ฟังผ้า โดยผู้รับฟังหัวใจอาจรู้สึกໄດ້ความอารมณ์เพลิน หรือแม้แต่บำบัดรักษาโรคบางโรคได้ การศึกษาวิจัยเกี่ยวกับทางด้านคุณศรีนั้นมีมากมาย งานวิจัยส่วนใหญ่ที่ศึกษาในปัจจุบันเป็นงานวิจัยที่ศึกษาเกี่ยวกับเครื่องดนตรีสากล มีทั้งการนำเครื่องดนตรีแต่ละประเภทมาวิเคราะห์สังเคราะห์ลักษณะเสียง ลักษณะการเกิดเสียง ความถี่ จังหวะ ความยาวคลื่นเสียง หรือแม้แต่การนำเสียงของวงดนตรีมาทำการคัดแยก เพื่อแสดงออกมาว่า มีเครื่องดนตรีประเภทใดบ้าง โดยอาศัยลักษณะเฉพาะของเสียงของเครื่องดนตรีแต่ละชนิดซึ่งมีความแตกต่างกัน

การพิจารณาคุณลักษณะของเสียงคุณศรีต่างๆ เพื่อให้ได้ลักษณะของการกำนินิดเสียง เช่น คุณลักษณะของเสียงที่เกิดจากการเป่า ก็จะมีความต่างจากการสี, การดีด, การเคาะตี เป็นต้น ซึ่งอาจพิจารณาได้จากคุณลักษณะร่วม (Timbre) ที่มีอยู่ในเสียงที่เรียกว่าความถี่ Harmonic หรือ Overtone โดยคุณลักษณะร่วมของเสียงนี้ เกี่ยวข้องโดยตรงกับสิ่งที่น่าจะเรียกว่าเป็นจุดหากที่สุดของการเล่น เครื่องเสียงที่มุ่งไปสู่ความสมจริงกว่าได้ เพราะจะหมายถึงความเข้าใจและประสบการณ์หรือความคุ้นเคยกับเสียงของเครื่องดนตรีจริงๆ ซึ่งก็คือหลักขีดหมายหลักร่วมกันทั้งสำหรับผู้ออกแบบ เครื่องเสียงและผู้ใช้งานชุดเครื่องเสียงนั่นเอง เครื่องเสียงที่คือควรจะถ่ายทอดคุณลักษณะของเสียง เครื่องดนตรีต่างๆ ให้ได้คุณลักษณะร่วมของเสียงออกมาอย่างที่ควรจะเป็น

เพื่อเป็นการศึกษาและประยุกต์เทคโนโลยีมาใช้กับเครื่องดนตรีไทย วิทยานิพนธ์นี้จึงนำเสนอแนวทางการรู้จำและคัดแยกเสียงของเครื่องดนตรีไทย จำนวน 8 ชนิด โดยประยุกต์ใช้ขั้นตอนวิธีการเรียนรู้แบบต้นไม้ในการคัดแยกข้อมูลเสียงเครื่องดนตรีไทย คือ ขั้นตอนวิธี C5.0 ซึ่งเป็นขั้นตอนวิธีในรูปแบบสัญลักษณ์ทำให้เข้าใจได้ง่ายคล้ายกับโครงสร้างต้นไม้ (A. Asheibi et al., 2008) ซึ่งพัฒนามาจากขั้นตอนวิธี C4.5 (Z. Niu, 2009) ทำให้มีประสิทธิภาพเพิ่มมากขึ้นทั้งความเร็ว การใช้หน่วยความจำ ขั้นตอนวิธี C5.0 สามารถทำงานได้กับคุณสมบัติที่มีค่าน้ำหนักแตกต่างกัน และข้อมูลที่ขังไม่สามารถตระบูกตุ่นได้ เมื่อจากเป็นขั้นตอนวิธีที่มีความสามารถสูง ทำให้ขั้นตอนวิธี C5.0 ถูกนำมาใช้ในงานวิจัยในด้านต่างๆ เช่น A. Asheibi et al. (2008) ได้ใช้การกำหนดค่าตัวแปรที่ต่างกันเพื่อรับลักษณะเด่นของแต่ละกลุ่มข้อมูล ส่วน Z. Niu (2009) ได้นำขั้นตอนวิธี C5.0 มาสร้าง

ระบบปรู้จำการทำงานของ DBMS (Data Base Management System) ในส่วนการคัดแยกชุดคำสั่งความถูกต้องของการคัดแยกได้จากการทดสอบชุดข้อมูล และ D.C. Park (2009) ได้นำขั้นตอนวิธี C5.0 มาช่วยพัฒนาระบบการวินิจฉัยความเสี่ยงที่จะเป็นโรคเนื้องอกชนิด Melanoma ซึ่งเป็นประโภชน์แกร็คก์ไข้ที่เข้ามาตรวจสุขภาพ หากพบว่ามีความเสี่ยงที่จะเป็นโรคจะได้ทำการรักษาได้ทันท่วงที จากงานวิจัยต่าง ๆ พบว่า ขั้นตอนวิธี C5.0 นั้นมีความสามารถในการคัดแยกและระบุลักษณะเฉพาะของข้อมูลต่าง ๆ ได้ดี ผู้วิจัยจึงมีแนวคิดที่จะนำความสามารถของขั้นตอนวิธี C5.0 มาใช้กับงานรู้จำและคัดแยกเสียงของเครื่องคนตระไทยทุกประเภทได้แก่ ประเทศไทย ศีตี เปป่า จำนวนอย่างละ 2 ชนิด ซึ่งยังไม่พบว่ามีนักวิจัยเคยทำงานวิจัยในส่วนนี้มาก่อน และงานวิจัยทางด้านนี้ยังใช้ตัวอย่างเสียงของเครื่องคนตระไทยไม่ครบถ้วนทุกประเภท มีผลให้ได้ความถูกต้องไม่เพียงพอ สำหรับนาระบปรู้จำเสียงของเครื่องคนตระไทยไปพัฒนาในงานอื่นๆ ดังนั้น เพื่อเป็นการเพิ่มประสิทธิภาพของการรู้จำและคัดแยกเสียงของเครื่องคนตระไทย รวมทั้งพัฒนางานวิจัยทางด้านโครงข่ายประสาทเทียมให้มีความหลากหลายมากขึ้น ผู้วิจัยจึงทำการทดลองนำขั้นตอนวิธี C5.0 โดยใช้ข้อมูลที่เป็นมาตรฐานที่ได้รับการยอมรับแล้วว่าเป็นข้อมูลที่นำมาใช้แล้วได้กลุ่มข้อมูลชัดเจน เพื่อยืนยันว่าขั้นตอนวิธีนี้มีความสามารถในการคัดแยกข้อมูลได้จริง จากนั้นทำการเบริญเทียน ความสามารถของขั้นตอนวิธี C5.0 กับขั้นตอนวิธีการเรียนรู้แบบแพร่ย้อนกลับ และโครงข่ายประสาทเทียมก่อตัวด้วยตนเองของโคไโซเนน เพื่อทำให้ทราบผลลัพธ์ในด้านประสิทธิภาพในการรู้จำของขั้นตอนวิธี และความสามารถในการคัดแยกเสียงของเครื่องคนตระไทยขึ้น

1.2 วัตถุประสงค์การวิจัย

1.2.1 พัฒนาวิธีการรู้จำเสียงของเครื่องคนตระไทย โดยประยุกต์ใช้ขั้นตอนวิธี C5.0 มาพัฒนางานวิจัย เพื่อจำแนกเสียงของเครื่องคนตระไทย และระบุชนิดของเครื่องคนตระ

1.2.2 เบริญเทียนประสิทธิภาพวิธีการที่ใช้ขั้นตอนวิธี C5.0 กับวิธีการเดิมที่ไม่ได้ใช้ขั้นตอนวิธี C5.0 ในการจำแนกเสียง ประกอบด้วยขั้นตอนวิธีการเรียนรู้แบบแพร่ย้อนกลับ และโครงข่ายประสาทเทียมก่อตัวด้วยตนเองของโคไโซเนน

1.3 ขอบเขตของการวิจัย

1.3.1 ใช้ไฟล์เสียงของเครื่องคนตระไทยที่บรรเลงด้วยเครื่องคนตระไทยจำนวน 8 ชนิด เป็นแหล่งข้อมูลในการประเมินผล ประกอบด้วย จะเข้ กระเจ็บปี ซอค้าง ซออู๊ ห้องวงใหญ่ ระนาดเอก ชลุยเพียงอ แสงปีใน

1.3.2 ทำการเบริญเทียบประสิทธิภาพของขั้นตอนวิธี C5.0 ขั้นตอนวิธีการเรียนรู้แบบแพร่ข้อนกลับ และโครงข่ายประสาทเทียมก่อตัวด้วยตนเองของโคไชเนน

1.4 ประโยชน์ที่คาดว่าจะได้รับ

1.4.1 ได้วิธีการรู้จำและการจำแนกเสียงของเครื่องคนตระไทยโดยขั้นตอนวิธี C5.0

1.4.2 ได้วิธีที่มีความถูกต้องในการจำแนกเสียงของเครื่องคนตระไทยมากขึ้น เมื่อเบริญเทียบกับขั้นตอนวิธีการเรียนรู้แบบแพร่ข้อนกลับ และโครงข่ายประสาทเทียมก่อตัวด้วยตนเองของโคไชเนน

1.4.3 นำวิธีการจำแนกเสียงของเครื่องคนตระไทยไปช่วยในการปรับแต่งเสียงเครื่องคนตระ หรือนำไปสร้างสื่อการเรียนการสอนที่ทันสมัยต่อไปได้

บทที่ 2

ทฤษฎี และงานวิจัยที่เกี่ยวข้อง

งานวิจัยนี้ได้บูรณาการศาสตร์ด้านวิทยาศาสตร์และศิลปศาสตร์ไว้ด้วยกัน เพื่อให้มีความเข้าใจยิ่งขึ้น จึงต้องศึกษาและวิเคราะห์สัญญาณเสียงของเครื่องดนตรีไทย เพื่อนำมาประยุกต์ใช้ในการจำแนกและระบุชนิดของเครื่องดนตรีนั้นด้วยขั้นตอนวิธี ที่มีความสามารถในการจำแนกเสียงซึ่งประกอบด้วย ขั้นตอนวิธีด้านไนการตัดสินใจ ขั้นตอนวิธี C5.0 และโครงข่ายประสาทเทียม มีรายละเอียดแสดงดังนี้

2.1 ทฤษฎีที่เกี่ยวข้อง

2.1.1 ประเภทของเครื่องดนตรีไทย

เครื่องดนตรีของไทย ถือเอกสารข้าราชการทำให้เกิดเสียงเป็นเกณฑ์ [19] ซึ่งจำแนกได้ 4 ประเภท ดังนี้

2.1.1.1 เครื่องดีด คือ สิ่งที่เกิดเสียงด้วยการดีด

2.1.1.2 เครื่องสี คือ สิ่งที่เกิดเสียงด้วยการสี

2.1.1.3 เครื่องตี คือ สิ่งที่เกิดเสียงด้วยการตี

2.1.1.4 เครื่องเป่า คือ สิ่งที่เกิดเสียงด้วยการเป่า

เครื่องดนตรีทุกชนิดทั้งดีด สี ตี เป่า ย่อมให้เสียงด่างกัน ตามหลักคุณภาพศาสตร์ ถือว่ามีเสียงเรียงเป็นลำดับต่างกันอยู่เพียง 7 เสียงเท่านั้น ซึ่งเครื่องดนตรีบางชนิดให้เสียงถึง 20 เสียง แต่เสียงที่เกิน 7 ลำดับนั้นก็เป็นเสียงซ้ำกันเสียงภายใน 7 เสียงนั้นเอง [19]

เครื่องดนตรีไทย ทั้ง 4 ประเภท ประกอบด้วย [16]

ตารางที่ 2.1 ประเภทของเครื่องดนตรีไทย

เครื่องดีด			เครื่องเป่า	เครื่องตี	เครื่องสี
ทำด้วยไม้	ทำด้วยโลหะ	ปั้งด้วยหนัง			
กระ โกรง กรับคู่ กรับ พวง	ฉี่ง ฉบ ฉ่องใหม่ ฉ้องชัย ฉ่องเหม่ง ฉ้องคู่ ฉ้องรา ฉ่องรา	กลองทัค กลองชาติ ตะโพน กลองตะโพน โภน โภนมหาหริ รำนา รำดัค รำนามหาหริ	ชุดหยาดิน ชุดช เพียงอ ชุดชู้ ชุดยกรวด ปี่ นอก	พิณนำเต้า พิณเพี้ยะ กระจับปี่	ซอสามสาข ซอค้าง ซอสู้ สะล้อ

ตารางที่ 2.1 ประเภทของเครื่องคนครีไทย (ต่อ)

เครื่องดี			เครื่องเป่า	เครื่องดี	เครื่องสี
ทำด้วยไม้	ทำด้วยโลหะ	ซึ่งด้วยหนัง			
กรับสก้า ระนาดเอก ระนาดทุ่ม	ม้อวงใหญ่ ม้อวง เล็ก ข้องมอยุ ระนาดเอกเหล็ก ระนาดทุ่มเหล็ก นไทระทึก	กลองแขก กลองลั่น กลองชนะ เปิงนาง บัมເຫາວ່າ ດະໂລດໄປຝ กลองແອງ กลองชาວ	ปีกຄาง ປໍໃນ ປໍໄດນ ປໍ່ຂວາ ປິ່ນອຸ່ນ ແກນ ແຕຣັງໆ ສັງໝໍ	ຈະເຂົ້າ ຈຶ່ງ	

ประเภทของเครื่องคนครีไทย ดังแสดงในตารางที่ 2.1 ประกอบด้วย ประเภทเครื่องดี ชั้นที่ 3 ชนิด คือ เครื่องดีทำด้วยไม้ ได้แก่ กรับคู่ กรับพวง เป็นต้น เครื่องดีทำด้วยโลหะ ได้แก่ ฉี่ง ฉ້າງ เป็นต้น และเครื่องดีซึ่งด้วยหนัง ได้แก่ กลองชาตรี ตะโพນ เปิงนาง เป็นต้น ประเภท เครื่องเป่า ได้แก่ บຸລູຍເພີບອອ ປໍໃນ ປໍ່ນອກ เป็นต้น ประเภทเครื่องดีດ ได้แก่ กระฉบปື້ พິນໜ້າເຕົ້າ ຈະເຂົ້າ เป็นต้น และประเภทเครื่องสี ได้แก่ ຂອສານສາຍ ຊອຊູ້ ເປັນຕົ້ນ

2.1.2 เครื่องคนครีไทยที่ใช้ในงานวิจัย

2.1.2.1 ຈະເຂົ້າ ເປັນເຄື່ອງຄົນຄຣີໄທທີ່ໄດ້ວັດນາກາຮມາຈາກພິມ ໂດຍປະຕິມຽງໃໝ່ ນັ້ນດີດ ໄດ້ສະຄວກແລະໄໝມີເສີຍໄພເຮົາຢືນຢັນ ເດີນນັ້ນຕ້ວພິພທໍາຮູ່ປ່າງເໝືອນຈະເຂົ້າ ຈຶ່ງເຮັດເຄື່ອງຄົນຄຣີທີ່ສັ້ນໆ ວ່າ ຈະເຂົ້າ ໂດຍຈະເຂົ້າ 3 ສາຍ ສາຍໜຶ່ງທຳດ້ວຍທອງເຫຼືອງ ອີກສອງສາຍທຳດ້ວຍເອັນ ໄນ ດີດທຳດ້ວຍງາ ຮ້ອກຮະດູກສັ້ວີ ມີລັກຍະກລນປ່າຍແລ່ນ

2.1.2.2 ກະຈົບປີ ເປັນພິພນິດໜຶ່ງ ມີ 4 ສາຍ ຄໍາວ່າກະຈົບປີ ມີເສີຍເພີນມາຈາກ ກັຈຈົປ ຊື່ໆ ທີ່ເປັນກາຍາຂວາ ແລະເພີນມາອີກຕ່ອທິນ່ຈາກຄໍາວ່າ ກັຈຈົປ ຊື່ໆ ເປັນກາຍານາດີ ແປລວ່າ ເຕົ້າ ກະຈົບປີມີເສີຍເບາແລະມີ້ໜ້າຫັນກາມພະເພາະທຳດ້ວຍ ໄນແກ່ນ ຈຶ່ງໄນ້ນິຍົມເດັ່ນກັນ

2.1.2.3 ຊອດ້ວງ ເປັນຊອ 2 ສາຍ ກະໂຫລກຊອແຕ່ເຄີມທຳດ້ວຍກະຈົບປີໄໝໄຟ່ຕ່ອນນາ ຈຶ່ງນິຍົມໃຫ້ໄຟ່ຈົງ ມີເສີຍດັ່ງແລະແລ່ນ ໃຫ້ບຣເລງຮ່ວມວັງເຄື່ອງສາຍແລະວັງໂຫຣຸກ່ກັບຊອຊູ້

2.1.2.4 ຊອຊູ້ ເປັນຊອ 2 ສາຍ ມີເສີຍຖຸ່ມກະໂຫລກຊອທຳດ້ວຍກະລາມພຣ້ວ ໃຫ້ ບຣເລງຮ່ວມວັງເຄື່ອງສາຍແລະວັງໂຫຣຸກ

2.1.2.5 ມ້ອງວັງໃຫຍ່ ເປັນເຄື່ອງຄົນຄຣີທີ່ວັດນາກາຮມາຈາກມ້ອງເຄີຍ ມ້ອງຄຸ່ແລະ ມ້ອງຮາວ ມີລັກຍະເປັນວັງ ເປີ່ອງໄວ້ສໍາຫັນເປັນທາງເຂົ້າອົງຄົນຕີທາງດ້ານຫລັງເລັກນ້ອຍ ລູກມ້ອງຜູກ ເຮັດລຳດັບຈາກເສີຍຕໍ່ໄປຫາເສີຍສູງ ຈຳນວນ 16 ເສີຍ ມ້ອງທຳຫັນໜ້າທີ່ຄໍາເນີນບທໂຫຣ້ອຫລັກອັນເປັນ ທຳມະເນີນພັກທີ່ແທ້ຈົງຂອງວັງຄຸຣິຍາງຄໍໄທ [17]

2.1.2.6 ระนาดเอก เป็นเครื่องดนตรีที่วิัฒนาการมาจากการรับ ระนาดร่างหนึ่งมี 21 ลูกโดยทำให้มีขนาดลดลงกัน เจ้ารูร้อยเชือกแล้วนำมานำเสนอในร่างไม้ เพื่อช่วยอุ้มน้ำเสียงให้เกิดความไพเราะ ระนาดเอกมีเสียงเด่นและเป็นเสียงนำในวงปี่พาทย์ เสียงระนาดเอกถือเป็นเสียงมาตรฐานในวงดนตรีไทย [17]

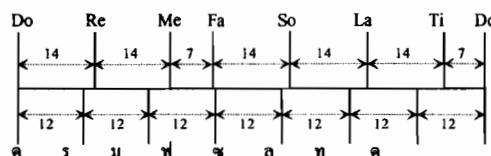
2.1.2.7 ขลุ่ยเพียงอ้อ ขลุ่ยเป็นเครื่องเป่าดึงเดินของไทย ทำด้วยไม้ไผ่ มี 7 รูเรียงกัน เพื่อเปลี่ยนระดับเสียงต่างๆ ใช้เป่าในวงเครื่องสาย วงโหร ขลุ่ยเพียงอ้อเป็นขลุ่ยขนาดกลาง มีเสียงมาตรฐานใช้เทียบเสียงดนตรีไทย มีความยาวประมาณ 45-48 เซนติเมตร

2.1.2.8 ปี่ใน ปี่เป็นเครื่องดนตรีของไทยแท้ เพราะวิธีเป่าและลักษณะการเจาะรูไม่เหมือน หรือซ้ำกับของชาติใด ที่เรียกว่า ปี่ สืบเนื่องจากการเรียดตามเสียงที่ได้ยิน ปกติทำด้วยไม้แก่นหรือไม้จริง เช่น ไม้ชงชันและไม้พบุง กลึงให้รูปป้านหัวป้านท้าย ตรงกลางป่องเจาะภายในกลวงตลอด และทางหัวที่ใช้ลินเป็นรูเล็กทางปลายเป็นรูใหญ่ ตอนหัวและตอนท้ายอาจซ้นมากหล่อเสริมข้างละครึ่งเซนติเมตร เจาะรูนี้สำหรับเปลี่ยนเสียงเรียงตามข้างเดียวปี่ของไทยแบ่งออกได้ 3 ขนาด ซึ่งปี่ในมีขนาดใหญ่ ยาวประมาณ 41-52 เซนติเมตร กราวประมาณ 4.5 เซนติเมตร

2.1.3 มาตรฐานเสียงทางดนตรีไทย [17]

มาตรฐานเสียงของดนตรีไทยมีความคล้ายคลึงกับดนตรีสากล คือ มี 7 เสียงเท่ากัน แต่ต่างกันที่ระดับการวางแผนเสียงของดนตรีไทยจะมี 7 เสียงเท่ากันทั้งหมด แต่ดนตรีสากลแบ่งเป็น 5 เสียงเดิมกับ 2 ครั้งเสียง ดังแสดงในภาพที่ 2.1

มาตรฐานเสียงดนตรีสากล



มาตรฐานเสียงดนตรีไทย

ภาพที่ 2.1 มาตรฐานเสียงดนตรีไทยกับดนตรีสากล

จากภาพที่ 2.1 หากแบ่งมาตรฐานเสียงดนตรีทั้ง 2 ออกเป็น 84 มาตราเท่าๆ กัน จะสามารถพิจารณาได้ดังนี้

มาตรฐานเสียงดนตรีไทย ซึ่งแบ่งออกเป็น 7 เสียงเท่าๆ กัน แต่ละเสียงประกอบขึ้นด้วยจำนวน 12 มาตรา ($84 / 7 = 12$ มาตรา)

มาตราเสียงคนตีสากัด ในระดับที่ 1 2 4 5 และ 6 แบ่งออกเป็นระดับละ 14 มาตราเท่ากัน และในระดับที่ 3 และ 7 มีระดับละ 7 มาตรา ซึ่งเท่ากับครึ่งเสียง [17]

2.2 การวิเคราะห์คุณลักษณะเด่นของเสียง

ในงานวิจัยนี้เลือกใช้เทคนิคสัมประสิทธิ์การประมาณพันธะเชิงเส้น (Linear Prediction Coefficients, LPC) ในการวิเคราะห์คุณลักษณะเด่นของเสียงคนตีไทย เนื่องจากสามารถช่วยในการให้ข้อมูลทางกายภาพของเสียง [32] เพื่อใช้ในการวิเคราะห์เสียงที่ต้องการได้

การประมาณพันธะเชิงเส้น (Linear Prediction Coefficients, LPC) มีขั้นตอนวิธี [31] คือ กำหนดให้สัญญาณเดิม คือ $s(n)$ ให้ค่าที่ได้จากการประมาณพันธะเชิงเส้นของสัญญาณเดิม คือ $\tilde{s}(n)$ และให้สัญญาณเสียงที่ทำการวิเคราะห์เกิดจากการนำเอาสัญญาณในอดีตของสัญญาณจริงมาจำนวน p ตัวอย่าง จะได้ว่า

$$s(n) \approx a_1 s(n-1) + a_2 s(n-2) + \dots + a_p s(n-p) \quad (2.1)$$

โดยที่ค่าสัมประสิทธิ์ a_1, a_2, \dots, a_p จะเป็นค่าคงที่ตลอดช่วงของเสียงที่ทำการวิเคราะห์ สมการ (2.1) สามารถเขียนใหม่โดยเพิ่มพจน์ของค่าการกระตุ้น (Excitation Term) ได้ [40] คือ

$$s(n) = \sum_{i=1}^p a_i s(n-i) + G u(n) \quad (2.2)$$

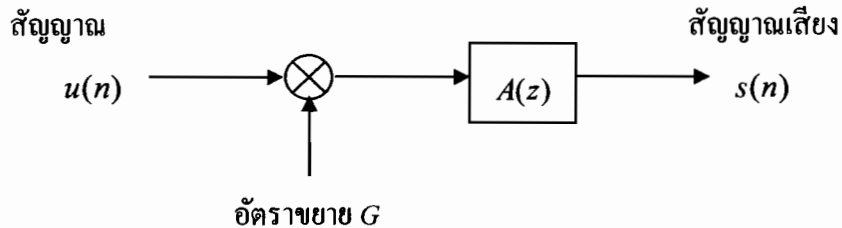
เมื่อ $u(n)$ คือค่าการกระตุ้นบรรทัดฐาน (Normalized Excitation) และ G คืออัตราของ การกระตุ้น จากสมการที่ (2.2) สามารถเขียนในโอดเมน z ได้ดังนี้

$$S(z) = \sum_{i=1}^p a_i z^{-i} S(z) + G U(z) \quad (2.3)$$

และได้ค่าทรานส์เฟอร์พิงก์ชัน

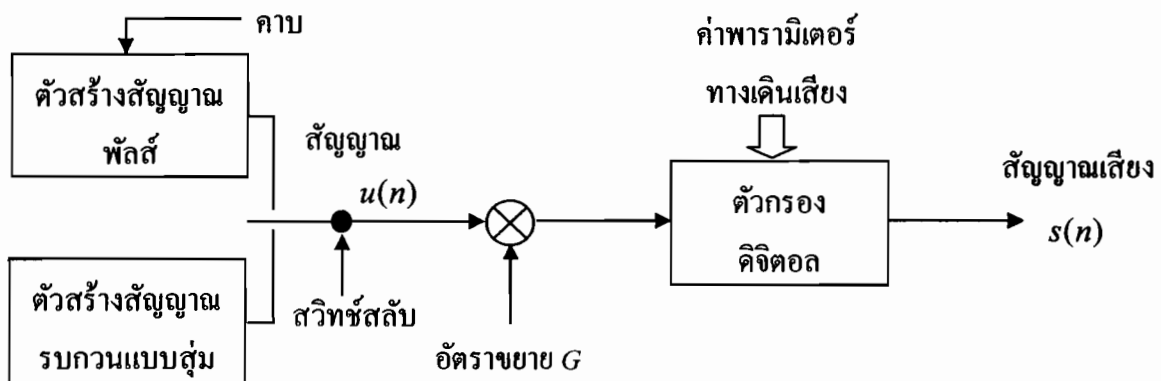
$$H(z) = \frac{S(z)}{G U(z)} = \frac{1}{1 - \sum_{i=1}^p a_i z^{-i}} = \frac{1}{A(z)} \quad (2.4)$$

จากสมการ (2.3) กำหนดให้ $A(z)$ คือ กระบวนการกำจัดค่าสหสัมพันธ์ช่วงลับที่ปรากฏในสัญญาณเสียง ซึ่งสามารถอธิบายได้ดังภาพที่ 2.2 ว่าสัญญาณกระตุ้นบรรทัดฐาน $u(n)$ จะถูกปรับขนาดด้วยอัตรา G และถูกนำเข้าสู่ระบบ $H(z) = 1/A(z)$ เพื่อสร้างสัญญาณเสียง $s(n)$



ภาพที่ 2.2 แบบจำลองเทคนิคสัมประสิทธิ์การประมาณพันธะเชิงเส้นสำหรับสัญญาณเสียง

ฟังก์ชันของค่าการกระตุ้นสำหรับสัญญาณเสียง มีทั้งส่วนที่เป็นสัญญาณพัลส์คัวบ ตามเวลาคงที่ และสัญญาณเสียงรบกวนแบบสุ่ม ดังนั้นการสังเคราะห์เสียงสามารถแสดงได้ดังภาพที่ 2.3 โดยมีส่วนของสวิตช์ที่ทำหน้าที่สลับแหล่งกำเนิดเสียง เพื่อส่งเข้าไปยังตัวกรอง $H(z)$ ซึ่งถูกควบคุมโดยโปรแกรมคอมพิวเตอร์ของทางเดินของเสียง



ภาพที่ 2.3 การสังเคราะห์เสียงตามแบบจำลองเทคนิคสัมประสิทธิ์การประมาณพันธะเชิงเส้น

สมการการวิเคราะห์สัมประสิทธิ์การประมาณพันธะเชิงเส้น จากภาพที่ 2.2 สามารถหาความสัมพันธ์ของ $s(n)$ และ $u(n)$ ได้ดังนี้

$$s(n) = \sum_{k=1}^p a_k s(n-k) + Gu(n) \quad (2.5)$$

ถ้าเราคำนดให้ค่าโดยประมาณของสัญญาณเสียง $\tilde{s}(n)$ นั้น ได้จากผลรวมเชิงเส้นของค่าตัวอย่างของสัญญาณเสียงก่อนหน้า จะได้ว่า

$$\tilde{s}(n) = \sum_{k=1}^p a_k s(n-k) \quad (2.6)$$

เราจะได้ค่าความผิดพลาดของการประมาณ (Prediction Error) $e(n)$ ซึ่งมีนิยาม คือ

$$e(n) = s(n) - \tilde{s}(n) = s(n) - \sum_{k=1}^p a_k s(n-k) \quad (2.7)$$

ซึ่งจะได้ค่าทรานส์ฟอร์ฟังก์ชันของความผิดพลาด เป็น

$$A(z) = \frac{E(z)}{S(z)} = 1 - \sum_{k=1}^p a_k z^{-k} \quad (2.8)$$

จะพิจารณาได้ว่าค่าสัญญาณ $s(n)$ ซึ่งสร้างจากระบบเชิงเส้นตามภาพที่ 2.2 จะมีค่าความผิดพลาดของการประมาณ $e(n)$ เท่ากับค่าการกระตุนที่มีการปรับขนาดหรือ $G_u(n)$ สิ่งที่ต้องการหาจากระบบเชิงเส้นดังกล่าวคือเลขของค่าสัมประสิทธิ์ของการประมาณ (Prediction Coefficient) หรือ $\{a_k\}$ จากสัญญาณเสียงโดยตรง ซึ่งสเปกตรัมคุณสมบัติของตัวกรองคิจิตอลดังภาพที่ 2.3 นั้นตรงกับรูปคลื่นของสัญญาณเสียงในช่วงที่ทำการวิเคราะห์ เมื่อจากสเปกตรัมคุณสมบัติของสัญญาณเสียงนั้นเปลี่ยนแปลงตามเวลา ดังนั้นค่าสัมประสิทธิ์ของการประมาณที่เวลา n นั้น จะต้องประมาณจากช่วงสั้นๆ ของสัญญาณเสียงที่เวลา n การประมาณค่าสัญญาณเสียงนั้นจะต้องหาค่าสัมประสิทธิ์ของการประมาณในช่วงเวลาสั้นๆ ที่ทำให้ค่าความผิดพลาดเฉลี่ยกำลังสอง (Mean-squared error) มีค่าน้อยที่สุด

การสร้างสมการในการหาค่าสัมประสิทธิ์ของการประมาณนั้น เริ่มจากการกำหนดช่วงสั้นๆ ของสัญญาณเสียง และค่าผิดพลาดที่เวลา n ดังนี้

$$s_n(m) = s(n+m) \quad (2.9a)$$

$$e_n(m) = e(n+m) \quad (2.9b)$$

และค่าความผิดพลาดเฉลี่ยกำลังสองที่เวลา n จะเท่ากับ

$$E_n = \sum_m e_n^2(m) \quad (2.10)$$

จากนิยามของ $e_n(m)$ และ $S_n(m)$ จะได้ว่า

$$E_n = \sum_m \left[s_n(m) - \sum_{k=1}^p a_k s_n(m-k) \right]^2 \quad (2.11)$$

ในการหาค่าสัมประสิทธิ์การประมาณจากสมการ (2.11) นั้น จะต้องหาค่าอนุพันธ์ของ E_n เมื่อเทียบกับ a_k แต่ละตัว แล้วให้เท่ากับ 0

$$\frac{\partial E_n}{\partial a_k} = 0, k = 1, 2, \dots, p \quad (2.12)$$

กำหนดให้

$$\sum_m s_n(m-i)s_n(m) = \sum_{k=1}^p \hat{a}_k \sum_m s_n(m-i)s_n(m-k) \quad (2.13)$$

โดยที่ $\sum_m s_n(m-i)s_n(m-k)$ คือ พจน์ของ covariance ในช่วงสั้นๆ ของ $S_n(m)$

$$\phi_n(i, k) = \sum_m s_n(m-i)s_n(m-k) \quad (2.14)$$

สมการ (2.14) สามารถเขียนในรูป y' ได้ว่า

$$\phi_n(i, 0) = \sum_{k=1}^p \hat{a}_k \phi_n(i, k) \quad (2.15)$$

ซึ่งอธิบายเชตของสมการ p สมการที่มีตัวแปร p ตัว และค่าความผิดพลาดเฉลี่ยกำลังสองที่น้อยที่สุด \hat{E}_n จะเท่ากับ

$$\begin{aligned}\hat{E}_n &= \sum_m s_n^2(m) - \sum_{k=1}^p \hat{a}_k \sum_m s_n(m)s_n(m-k) \\ &= \phi_n(0,0) - \sum_{k=1}^p \hat{a}_k \phi_n(0,k)\end{aligned}\quad (2.16)$$

การหาค่าสัมประสิทธิ์การประมาณจากสมการ (2.16) โดยวิธีอัตโนมัติ (Auto-correlation) ซึ่งเป็นวิธีที่สะดวกและตรงไปตรงมา โดยจะกำหนดให้ช่วงของสัญญาณเสียง $s_n(m)$ ที่อยู่นอกช่วง $0 \leq m \leq N-1$ มีค่าเป็น 0 และให้มีค่าเท่ากับผลคูณของสัญญาณเสียง $s(m+n)$ กับวินโcouว์ที่มีความยาวจำกัด $w(m)$ ซึ่งมีค่าเป็น 0 ภายนอกช่วง $0 \leq m \leq N-1$ ดังนั้นสัญญาณเสียง จะเขียนได้ดังนี้

$$S_n(m) = \begin{cases} S(m+n) \bullet w(m), & 0 \leq m \leq N-1 \\ 0, & \text{otherwise} \end{cases} \quad (2.17)$$

จากสมการ (2.17) ค่าความผิดพลาดของการประมาณสัญญาณ $e_n(m)$ ที่อยู่นอกช่วง $0 \leq m \leq N-1+p$ นั้นจะมีค่าเป็น 0 ด้วย เนื่องจากสัญญาณในบริเวณนี้ถูกกำหนดให้มีค่าเป็น 0 ในขณะที่ช่วง $m=0$ ถึง $m=p-1$ และ $m=N-1$ ถึง $m=N-1+p$ หรือบริเวณขอบของวินโcouว์อาจมีค่าผิดพลาดสูงเนื่องจากการประมาณที่ใช้ค่า 0 แทนสัญญาณก่อนหน้าในการคำนวณ ซึ่งการกำหนดวินโcouว์ในสมการ (2.17) จะมีผลทำให้ลดค่าความผิดพลาดของการประมาณสัญญาณ บริเวณของได้ โดยจากสมการ (2.17) จะได้ค่าความผิดพลาดในการประมาณเฉลี่ยกำลังสองเท่ากับ

$$E_n = \sum_{m=0}^{N-1+p} e_n^2(m) \quad (2.18)$$

และ $\phi_n(i, k)$ จะเขียนได้เป็น

$$\phi_n(i, k) = \sum_{m=0}^{N-1+p} s_n(m-i)s_n(m-k), \quad \begin{cases} 1 \leq i \leq p \\ 0 \leq k \leq p \end{cases} \quad (2.19)$$

หรือ

$$\phi_n(i, k) = \sum_{m=0}^{N-1-(i-k)} s_n(m) s_n(m+i-k), \begin{cases} 1 \leq i \leq p \\ 0 \leq k \leq p \end{cases} \quad (2.20)$$

เนื่องจากสมการ (2.20) เป็นฟังก์ชันของ $i - k$ ดังนั้นฟังก์ชันโควารียานซ์ $\phi_n(i, k)$ จะลดรูปเป็นฟังก์ชันอัตตสหสัมพันธ์อย่างง่ายคือ

$$\phi_n(i, k) = r_n(i - k) = \sum_{m=0}^{N-1-(i-k)} s_n(m) s_n(m+i-k) \quad (2.21)$$

เนื่องจากฟังก์ชันอัตตสหสัมพันธ์ที่ได้เป็นฟังก์ชันสมมาตร คือ $r_n(-k) = r_n(k)$ สมการสัมประสิทธิ์การประมาณพันธะเชิงเส้นจึงเขียนได้ดังนี้

$$\sum_{k=1}^p r_n(|i - k|) \hat{a}_k = r_n(i), 1 \leq i \leq p \quad (2.22)$$

และเขียนให้อยู่ในรูปเมทริกซ์ได้ดังนี้

$$\begin{bmatrix} r_n(0) & r_n(1) & r_n(2) & \cdots & r_n(p-1) \\ r_n(1) & r_n(0) & r_n(1) & \cdots & r_n(p-2) \\ r_n(2) & r_n(1) & r_n(0) & \cdots & r_n(p-3) \\ \vdots & \vdots & \vdots & \ddots & \vdots \\ r_n(p-1) & r_n(p-2) & r_n(p-3) & \cdots & r_n(0) \end{bmatrix} \begin{bmatrix} \hat{a}_1 \\ \hat{a}_2 \\ \hat{a}_3 \\ \vdots \\ \hat{a}_p \end{bmatrix} = \begin{bmatrix} r_n(1) \\ r_n(2) \\ r_n(3) \\ \vdots \\ r_n(p) \end{bmatrix} \quad (2.23)$$

เมทริกซ์ขนาด $p \times p$ ของอัตตสหสัมพันธ์จะเป็นเมทริกซ์ที่ค่าระหว่างแท้แยกบุนเดล สมมาตรกัน วิธีที่ใช้แก่สมการดังกล่าวเพื่อหาค่าสัมประสิทธิ์ของการประมาณ คือ วิธีการ Levinson-Durbin ซึ่งมีวิธีการดังนี้

$$E^{(0)} = r(0) \quad (2.24)$$

$$k_i = \frac{r(i) - \sum_{j=1}^{i-1} \alpha_j^{i-1} r(|i-j|)}{E^{i-1}}, 1 \leq i \leq p \quad (2.25)$$

$$\alpha_j^{(i)} = k_i \quad (2.26)$$

$$\alpha_j^{(i)} = \alpha_j^{(i-1)} - k_i \alpha_{i-j}^{(i-1)} \quad (2.27)$$

$$E^{(i)} = (1 - k_i^2) E^{(i-1)} \quad (2.28)$$

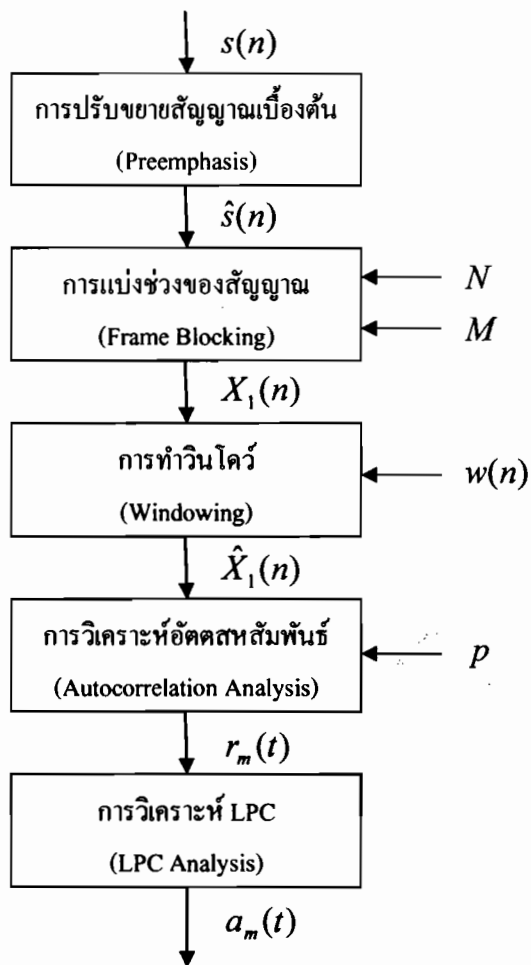
ผลรวมของสมการ (2.25) จะไม่ได้ใช้ในกรณีที่ $i=1$ และสมการ (2.6, 2.7, 2.8) จะมีการคำนวณแบบวนซ้ำสำหรับ $i=1, 2, \dots, p$ และผลลัพธ์สุดท้ายที่ได้คือ

$$a_m = \text{LPC coefficients} = \alpha_m^{(p)}, 1 \leq m \leq p \quad (2.29)$$

$$k_m = \text{PARCOR coefficients} \quad (2.30)$$

$$g_m = \log \text{area ratio coefficients} = \log \left(\frac{1 - k_m}{1 + k_m} \right) \quad (2.31)$$

การประมาณผลด้วยเทคนิคสัมประสิทธิ์การประมาณพันธะเชิงเส้น
การประมาณผลด้วยเทคนิคสัมประสิทธิ์การประมาณพันธะเชิงเส้นมีขั้นตอนพื้นฐาน
แสดงดังภาพที่ 2.4 มีรายละเอียด ดังนี้



ภาพที่ 2.4 ขั้นตอนการประมวลผลด้วยเทคนิคสัมประสิทธิ์การประมาณพันธะเชิงเส้น

จากภาพที่ 2.4 ขั้นตอนการประมวลผลด้วยเทคนิคสัมประสิทธิ์การประมาณพันธะ-
เชิงเส้น มีดังนี้

- (1) การปรับขยายสัญญาณเบื้องต้น (Preemphasis) เสียงพูดที่อยู่ในรูปสัญญาณดิจิตอล $s(n)$ จะถูกส่งผ่านระบบกรองอันดับต่ำ (Low-order digital filter) เพื่อให้สเปกตรัมของสัญญาณเรียบมากขึ้นและลดความซับซ้อนของข้อมูล ซึ่งตัวกรองดิจิตอลที่ใช้นั้นมีทั้งแบบคงที่และแบบปรับค่าได้ สำหรับตัวกรองแบบคงที่ที่นิยมใช้จะเป็นระบบอันดับที่หนึ่ง (Fix First-order System)

$$H(z) = 1 - \hat{a}z^{-1}, 0.9 \leq a \leq 1.0 \quad (2.32)$$



ซึ่งในการณ์นี้สัญญาณขาออกของ $\tilde{r}(n)$ ที่ได้จะสัมพันธ์กับสัญญาณขาเข้า $s(n)$ ดังนี้

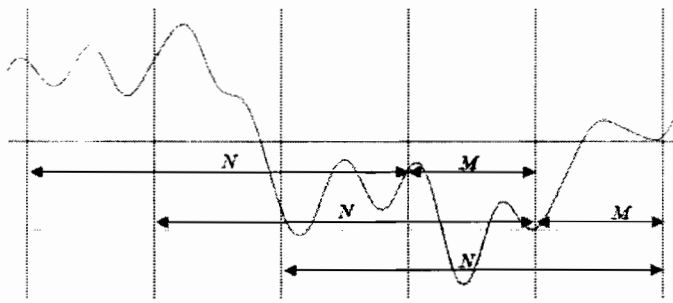
$$\tilde{s}(n) = s(n) - \tilde{a}s(n-1) \quad (2.33)$$

โดยค่า \tilde{a} ที่นิยมใช้มีค่าประมาณ 0.95 สำหรับตัวกรองแบบปรับค่านี้จะมีค่า
ทรานเฟอร์ฟังก์ชันเป็น

$$H(z) = 1 - \tilde{a}_n z^{-1} \quad (2.34)$$

ค่า \tilde{a}_n นี้จะเปลี่ยนแปลงได้ตามเวลา ก ตามเงื่อนไขที่กำหนด ตัวอย่างเงื่อนไข
สำหรับ \tilde{a}_n ได้แก่ $\tilde{a}_n = r_n(1)/r_n(0)$

(2) การแบ่งช่วงของสัญญาณ (Frame Blocking) สัญญาณที่ผ่านกระบวนการปรับขยาย
สัญญาณเบื้องต้น Preemphasis $\tilde{r}(n)$ นี้จะถูกแบ่งออกเป็นเฟรม เฟรมละ N ตัวอย่าง โดยเฟรมที่
อยู่ติดกันจะอยู่ห่างกัน M ตัวอย่าง ดังภาพที่ 2.5 เป็นตัวอย่างการแบ่งช่วงของสัญญาณในการณ์
ที่ $M = (1/3)N$ ซึ่งเฟรมแรกจะประกอบด้วยสัญญาณจำนวน N ตัวอย่าง เฟรมที่สองจะเริ่มหลัง
จากเฟรมแรกไป M ตัวอย่าง โดยมีส่วนที่ทับซ้อนกันระหว่างเฟรมแรกและเฟรมที่สอง ตัวอย่าง
 $N - M$ ในทำนองเดียวกัน เฟรมที่สามจะเริ่มหลังจากเฟรมแรก $2M$ และมีส่วนที่ซ้อนทับกับเฟรม
แรกอยู่ $N - 2M$ ตัวอย่าง จากตัวอย่างดังกล่าว เมื่อ $M \leq N$ จะมีส่วนที่ซ้อนทับ ระหว่างเฟรมซึ่งทำ
ให้มีการประมาณค่าสัมประสิทธิ์การประมาณพันธะเชิงเส้น ความสัมพันธ์ระหว่างเฟรมที่ติดกัน
และจะยิ่งมีความละเอียดมากขึ้นเมื่อ $M < N$ ในทางกลับกันถ้า $M > N$ จะมีบางส่วนของสัญญาณ
ที่ไม่ถูกประมาณผล ซึ่งทำให้ความสัมพันธ์ระหว่างเฟรมในการประมาณค่าสัมประสิทธิ์การ
ประมาณพันธะเชิงเส้น จะมีส่วนของสัญญาณรบกวนรวมเข้ามาด้วย ค่าของ และที่ใช้กันทั่วไปคือ
300 และ 100 ตัวอย่างตามลำดับ สำหรับสัญญาณเสียงที่มีอัตราการสุ่มตัวอย่างเสียง 44,100 เฮิรตซ์
หรือประมาณ 6.8 มิลลิวินาทีต่อเฟรม และแต่ละเฟรมห่างกัน ประมาณ 2.26 มิลลิวินาที



ภาพที่ 2.5 การแบ่งช่วงของสัญญาณ (Frame Blocking)

(3) การทำวินโคว์ (Widowing) สัญญาณเสียงแต่ละเฟรมที่แบ่งออกมานั้น ผ่านกระบวนการทำวินโคว์เพื่อลดปัญหาความไม่ต่อเนื่องของสัญญาณบริเวณจุดเริ่มต้นและจุดสิ้นสุดของเฟรม โดยลดค่าของสัญญาณให้เป็น 0 ที่บริเวณขอบของสัญญาณที่จุดเริ่มต้นและจุดสิ้นสุดของแต่ละเฟรม ถ้ากำหนดให้วินโคว์เท่ากับ $w(n), 0 \leq n \leq N - 1$ จะได้สัญญาณเฟรม I^{th} ที่ผ่านการทำวินโคว์ดังนี้

$$\tilde{x}_I(n) = x_I(n)w(n), 0 \leq n \leq N - 1 \quad (2.35)$$

วินโคว์ที่นิยมใช้ในการประมาณค่าสัมประสิทธิ์การประมาณพันธะเชิงเส้น สำหรับวิธีอัตตสาหสัมพันธ์ คือวินโคว์แฮมมิ่ง (Hamming) ดังนี้

$$w(n) = 0.54 - 0.46 \cos\left(\frac{2\pi n}{N-1}\right), 0 \leq n \leq N - 1 \quad (2.36)$$

(4) การวิเคราะห์อัตตสาหสัมพันธ์ (Autocorrelation Analysis) สัญญาณแต่ละเฟรมที่ผ่านการทำวินโคว์เมื่อผ่านกระบวนการวิเคราะห์อัตตสาหสัมพันธ์ จะได้

$$r_I(m) = \sum_{n=0}^{N-1-m} \tilde{x}_I(n)\tilde{x}_I(n+m), m = 0, 1, \dots, p \quad (2.37)$$

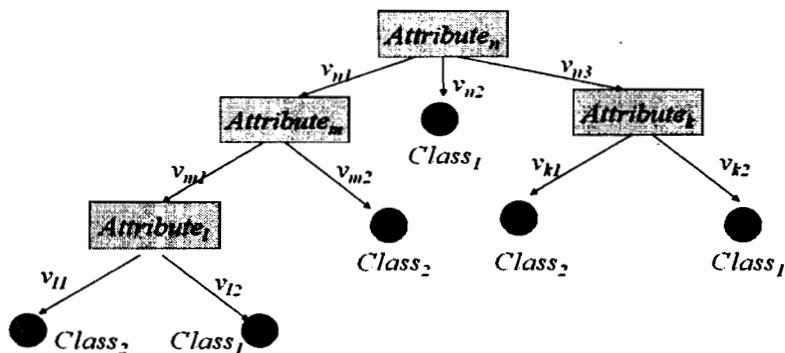
ซึ่งค่าสูงสุดของอัตตสาหสัมพันธ์ p จะเป็นอันดับของการวิเคราะห์ค่าสัมประสิทธิ์การประมาณพันธะเชิงเส้น นอกจากนี้การวิเคราะห์อัตตสาหสัมพันธ์ยังได้ค่าพลังงานของเฟรม I^{th} ซึ่งเท่ากับของอัตตสาหสัมพันธ์ที่ 0 หรือ $r(0)$

(5) การวิเคราะห์ค่าสัมประสิทธิ์การประมาณพันธะเชิงเส้น เป็นกระบวนการเปลี่ยนค่าอัตตสหสัมพันธ์ทั้งค่า $p+1$ ไปเป็นเขตของค่าพารามิเตอร์การประมาณพันธะเชิงเส้น ได้แก่ ค่าสัมประสิทธิ์การประมาณพันธะเชิงเส้น ค่าสัมประสิทธิ์การสะท้อนหรือสัมประสิทธิ์ PARCON และค่าสัมประสิทธิ์อัตราเพ็นท์ล็อการิทึม (Log area ratio Coefficient) ซึ่งการแปลงค่าอัตตสหสัมพันธ์ไปเป็นค่าสัมประสิทธิ์การประมาณพันธะเชิงเส้นนี้ จะใช้วิธีการ Levinson-Durbin ซึ่งได้อธิบายไว้ก่อนนี้แล้ว

2.3 ขั้นตอนวิธีที่ใช้ในงานวิจัย

2.3.1 ขั้นตอนวิธีด้านไม้การตัดสินใจ (Decision Tree Algorithm)

ขั้นตอนวิธีด้านไม้การตัดสินใจเป็นวิธีหนึ่งที่สำคัญในการคัดแยกข้อมูล (Classification) โดยขั้นตอนวิธีด้านไม้การตัดสินใจจะมีลักษณะเป็นแผนภูมิการไหล (Flow-Chart) เมื่ອនโครงสร้างด้านไม้ (Tree) ที่แต่ละโหนด (Node) แสดงคุณสมบัติ (Attribute) ที่ใช้ในการตัดสินใจว่าข้อมูลจะไปในทิศทางใด แต่ละกิ่ง (Link) ที่แตกออกไปเท่ากับจำนวนค่าของคุณสมบัติของโหนดและโหนดใบ (Leaf node) แสดงกลุ่ม (Class) ที่กำหนดให้เป็นผลลัพธ์ของการตัดสินใจ โดยมีโครงสร้างดังภาพที่ 2.6 ดังนี้



ภาพที่ 2.6 ตัวอย่างโครงสร้างขั้นตอนวิธีด้านไม้การตัดสินใจ

ขั้นตอนวิธีด้านไม้การตัดสินใจง่ายต่อการปรับเปลี่ยนกฎการคัดแยก (Classification Rule) โดยเมื่อมีข้อมูลที่ต้องการที่จะจัดกลุ่มก็จะนำคุณสมบัติต่างๆของข้อมูลนั้นไปเทียบขั้นตอนวิธีด้านไม้การตัดสินใจตามเส้นทางในโครงสร้างด้านไม้จนกระทั่งได้ผลลัพธ์คือกลุ่มปลายทาง ขั้นตอนวิธีด้านไม้การตัดสินใจเป็นการเรียนรู้แบบมีผู้สอน (Supervised machine learning) [8] โดยมีหลักการดังนี้

(1) ทำการคำนวณหาค่าทฤษฎีข่าวสาร (Information Gain) จากนั้นเลือกคุณสมบัติเพื่อมาเป็นโหนดราก (Root Node) ของโครงสร้างต้นไม้ โดยเลือกจากค่าทฤษฎีข่าวสารมากที่สุด

(2) ทำกระบวนการเดินในแต่ละกิ่งก้านของโครงสร้างต้นไม้ตามกฎที่กำหนดไว้ในแต่ละกรณีของแต่ละกิ่ง

(3) ถ้าค่าของทุกๆ โหนดอยู่ในกลุ่มเดียวกันหรือข้อมูลที่ผ่านการคัดแยกในกิ่งหนึ่งๆ มีค่าน้อยกว่าที่กำหนดให้หยุดการสร้างโครงสร้างต้นไม้ต่อไป

2.3.1.1 ข้อดีของตัวแบบต้นไม้ตัดสินใจ [35]

1) ผลลัพธ์การจำแนกประเภทข้อมูลสามารถเขียนกฎจากต้นไม้ตัดสินใจในรูปแบบ IF-THEN ซึ่งเป็นการเขียนจากเส้นทางตั้งแต่โหนดรากไปจนถึงโหนดใบ

2) ผลลัพธ์ง่ายต่อการเข้าใจสำหรับมนุษย์ เมื่อเปรียบเทียบกับการจำแนกประเภทข้อมูลด้วยวิธีอื่น สามารถแสดงในลักษณะรูปภาพ กฎ หรือกราฟิก

3) มีความทนทานต่อข้อมูลที่มีสัญญาณรบกวน (Noisy Data) เช่น คุณสมบัติที่ไม่เกี่ยวข้อง และค่าคุณสมบัติที่ผิดพลาดหรือขาดหาย

4) ใช้เวลาในการเรียนรู้อย่างรวดเร็ว เมื่อเทียบกับขั้นตอนวิธีสำหรับการจำแนกประเภทข้อมูลวิธีอื่น

5) ขั้นตอนวิธีของการสร้างต้นไม้ตัดสินใจ ใช้เฉพาะข้อมูลฝึกฝนเท่านั้น ไม่จำเป็นต้องอาศัยข้อมูลอื่นอีก

6) การจำแนกประเภทข้อมูลโดยต้นไม้ตัดสินใจ มีความถูกต้องสูงเมื่อเปรียบเทียบกับขั้นตอนวิธีอื่น

7) เมื่อใช้ต้นไม้ตัดสินใจร่วมกับภาษา SQL ทำให้ขั้นตอนวิธีนี้ ประยุกต์ใช้งานมากขึ้น

8) สามารถประยุกต์ใช้ในการวิเคราะห์ข้อมูลต่างๆ เช่น ข้อมูลความเสี่ยงของลูกหนี้ การวินิจฉัยทางการแพทย์ งานด้านธุรกิจ และวิทยาศาสตร์อื่นๆ

2.3.1.2 ข้อจำกัดของตัวแบบต้นไม้ตัดสินใจ

1) การจำแนกประเภทข้อมูลโดยตัวแบบต้นไม้ตัดสินใจ กรณีเป็นข้อมูลที่มีความต่อเนื่อง เช่น ข้อมูลรายได้ ข้อมูลราคา ต้องทำการแปลงให้อยู่ในช่วง หรือแบ่งเป็นกลุ่มก่อน

2) เมื่อกระบวนการคัดเลือกว่าจะใช้ค่าข้อมูลใดมาเป็นตัวแบ่งกลุ่มข้อมูล ก็จะไม่สนใจค่าข้อมูลอื่นที่อาจมีความสำคัญเช่นเดียวกัน

3) การจัดการกับข้อมูลที่ไม่ทราบค่า (Missing Value) ในบางคุณสมบัติของข้อมูลอาจมีผลกระทบกับผลลัพธ์ที่ได้ของด้านไม้ตัดสินใจ

4) ด้านไม้ตัดสินใจ ที่แสดงลักษณะของปัญหาการเข้ากันเกินไปมักเป็นด้านไม่มีการแตกกิ่งมากนายนั่น แต่ละกิ่งมีจำนวนข้อมูลอยู่ปริมาณน้อย ซึ่งข้อมูลเหล่านั้นจะไม่มีประโยชน์ในการนำมาใช้ทำการวิเคราะห์

5) ปัญหาการเข้ากันมากเกินไป (Overfitting Problem) เกิดจากการที่ตัวแบบได้เรียนรู้เข้าไปถึงรายละเอียดข้อมูลมากเกินไป ซึ่งบางข้อมูลเป็นข้อมูลรบกวนส่งผลให้เกิดความผิดพลาดเมื่อนำไปใช้กับข้อมูลจริง

2.3.1.3 ประเภทของแอ็ตทริบิวต์

1) Nominal ข้อมูลที่จำแนกประเภทเป็นกลุ่ม โดยแต่ละกลุ่มนี้มีความหมายเป็นของตัวเอง เช่น สี เพศ จะถูกนำมาจำแนกประเภทออกเป็น 2 กลุ่มในทุกๆ แบบ ซึ่งแบบที่ดีที่สุดจะถูกเลือก

2) Ordinal ข้อมูลที่จำแนกประเภทเป็นกลุ่ม โดยแต่ละกลุ่มนี้มีการเรียงลำดับกัน เช่น สูง กลาง ต่ำ ซึ่งจะถูกจำแนกประเภทออกเป็น 2 กลุ่มเช่นเดียวกัน

3) Continuous ข้อมูลที่มีความต่อเนื่อง ไม่ถูกจำแนกประเภทเป็นกลุ่มชัดเจน เช่น ความสูง น้ำหนัก ซึ่งจะนำข้อมูลทั้งหมดมาเรียงลำดับตามค่าของแอ็ตทริบิวต์ และแบ่งข้อมูลออกเป็น 2 กลุ่มในทุกๆ ชุดที่สามารถแบ่งได้ ค่าใดที่คำนวณแล้วมีความจำเป็นเหมือนกัน (Homogenous) มากที่สุดคือค่าที่ใช้ในการแบ่ง

2.3.1.4 วิธีการเรียนรู้ของด้านไม้ตัดสินใจ

การสร้างด้านไม้ตัดสินใจ จะเป็นแบบการค้นหาจากบนลงล่างแบบต่ำตระหง่าน (Top Down Greedy Search) โดยเริ่มจากการเลือกแอ็ตทริบิวต์ที่ดีที่สุดมาสร้างเป็นโหนดราก เมื่อข้อมูลผ่านการแบ่งแยกที่โหนดรากตามค่าแอ็ตทริบิวต์ของโหนดรากแล้วก็จะหาแอ็ตทริบิวต์ที่ดีที่สุดของข้อมูลที่ผ่านการแบ่งแยกนั้นมาสร้างเป็นโหนดรากของโหนดรากนั้นต่อไปและจะวนสร้างโหนดรากและด้านไม้ตัดสินใจเรื่อยๆ จนกว่าข้อมูลที่ผ่านการแบ่งแยกนั้นจะอยู่ในกลุ่มเดียวกัน หรือจำนวนข้อมูลที่ผ่านการแบ่งแยกในกิ่งนั้นๆ มีค่าน้อยกว่าค่าที่กำหนดไว้ โดยวิธีการเรียนรู้ของด้านไม้ตัดสินใจสรุปได้ดังนี้

1) หากแอ็ตทริบิวต์ที่สำคัญที่สุดมาแบ่งข้อมูล โดยแอ็ตทริบิวต์นั้นจะถูกนำมาสร้างเป็นเงื่อนไขที่จัดย่อ โดยจะกำหนดค่าของแอ็ตทริบิวต์ที่ใช้จำแนกประเภทข้อมูลพร้อมกัน

2) นำข้อมูลที่ผ่านจุดนี้มาแบ่งตามค่าของแอดทริบิวต์ที่กำหนดไว้เพื่อจำแนกข้อมูลออกเป็นกลุ่ม

3) แบ่งข้อมูลทั้งหมดตามกลุ่มที่ได้แยกออกจากจุด

4) ถ้าข้อมูลที่แบ่งออกมานี้เป็นคลาสเดียวกันทั้งหมดให้เปลี่ยนเป็นใบที่มีค่าตอบเป็นคลาสนี้ หรือไม่มีแอดทริบิวต์ที่ใช้แบ่ง ได้อีก คือข้อมูลมีลักษณะเหมือนกัน จะเปลี่ยนเป็นใบโดยมีค่าตอบเป็นคลาสที่มีจำนวนข้อมูลมากที่สุด

5) หากไม่ใช่ให้วนกลับไปทำขั้นตอนแรก คือหาแอดทริบิวต์ที่สำคัญที่สุดจากข้อมูลที่แบ่งแล้ว เพื่อทำการแบ่งข้อมูลต่อไปจนเชื่อมต่อทุกถึง

2.3.1.5 ขั้นตอนในการจำแนกประเภทข้อมูลด้วยวิธีด้านไม้ตัดศินใจ [35]

1) การสร้างตัวแบบ

ประกอบด้วยข้อมูลฝึกฝนและขั้นตอนวิธี โดยข้อมูลฝึกฝนจะถูกวิเคราะห์โดยขั้นตอนวิธีของการจำแนกประเภทข้อมูลและการเรียนรู้แบบถูกแทนในรูปของกฎการจำแนกประเภทข้อมูล ยกตัวอย่าง เช่น การคำนวณค่าตัวแบบ คือ จำนวนของผู้มารับบริการรักษา โดยมี 2 คลาส คือ เป็นระยะของมะเร็งเด้านม Stage 0 เป็น/ไม่เป็น (Stage x) ซึ่งข้อมูลที่เก็บ คือ ขนาดของก้อนเนื้อ จำนวนต่อมน้ำเหลือง และการกระจายของมะเร็ง โดยข้อมูลชื่อผู้ป่วยอายุ ไม่สามารถนำมาคำนวณได้ แต่สามารถคำนวณได้โดยการคำนวณว่า เป็นหรือไม่เป็นระยะที่ 0 ซึ่งเดือดพิจารณาเฉพาะข้อมูลที่จะช่วยในการทำงาน

IF (Tumor = 'TIS' and Node='NO' and Metastasis='MO')

Then Stage x = 'Stage 0'

ถ้าขนาดของก้อนเนื้อเป็นมะเร็งในระยะเริ่มแรก และไม่มีต่อมน้ำเหลืองกระจายมาจากเด้านม และไม่มีการกระจายของมะเร็งไปยังอวัยวะอื่น จะกำหนดให้ Stage เป็น 0 คือระยะของมะเร็งเด้านมอยู่ในระยะที่ 0

2) การใช้ตัวแบบเพื่อการคำนวณ

จุดมุ่งหมายสูงสุดในการจำแนกประเภทข้อมูล เมื่อได้กฎการจำแนกประเภทข้อมูล จะมีการตรวจสอบว่ากฎที่ได้สามารถคำนวณผลลัพธ์ได้ถูกต้องแม่นยำหรือไม่ โดยการนำเอาข้อมูลทดสอบที่ทราบแล้วว่ามีผลลัพธ์อยู่ในกลุ่มใด ไปเปรียบเทียบกับตัวแบบการเรียนรู้ ถ้าหากว่าผลลัพธ์ที่ได้มีความถูกต้องก็จะสามารถนำตัวแบบหรือกฎที่ได้ไปคำนวณผลลัพธ์ของข้อมูลที่เข้ามาสู่ระบบใหม่ได้

2.3.1.6 วิธีการในการเลือกตัวแบ่งในการทำโครงสร้างต้นไม้ตัดสินใจ

1) ID3 (Iterative Dichotomiser 3)

ID3 เป็นขั้นตอนวิธีที่ใช้หลักการของทฤษฎีข่าวสาร (Information Theory) ค่าที่วัดได้จะนำมาใช้ตัดสินใจว่าจะใช้ตัวแปรใดในการแบ่งโครงสร้าง

Information Gain ใช้ในการเลือกແອຕทริบิวต์ในแต่ละโหนดของต้นไม้ชี้ ແອຕทริบิวต์ตัวใดที่มีค่า Information Gain สูงสุดหรือว่ามีค่าเออนໂගรีປິນຂະໜາດເລືອກໃຫ້ເປັນແອຕทริบิวต์ຂອງໂහນຄັນນີ້ ແລະແອຕทริบิวต์ຕົວນີ້ຈະລັດຈຳນວນຂໍ້ມູນທີ່ໃຊ້ໃນການສ້າງຕົນໄນ້
ທѹມຢູ່ນີ້ມີສ່າງການການຄໍານວານຫາ Information Gain ໂດຍມີການກຳຫຼັດຕັ້ງແປດັ່ງນີ້

E ค่าคาดคะเนของຂໍ້ມູນ (Entropy)

S เป็นเขตของຂໍ້ມູນ

m ແທນຈຳນວນຄລາສທີ່ແຕກຕ່າງກັນຂອງຂໍ້ມູນ

ຈຶ່ງເຕີລະຄ່າທີ່ແຕກຕ່າງກັນແທນດ້ວຍ C_i (ສໍາຫຼັບ $i = 1, \dots, m$)

S_i เป็นກຸ່ມຂໍ້ມູນບໍ່ຍ່ອງ S ໃນຄລາສ C_i

ສ່າງການທີ່ໃຊ້ໃນການຈັດກຸ່ມຂອງຂໍ້ມູນຄື່ອງ

$$\text{Gain}(A) = I(S_1, S_2, \dots, S_m) - E(A) \quad (2.38)$$

ແທນຄ່າ A ອີ່ຄູນລັກຂະພະທີ່ໃຊ້ຫາຄ່າ Information Gain

Gain(A) ທີ່ໄດ້ຈະເປັນຕົວນອກວ່າແອຕทริบิวต์ຕົວນີ້ ເປັນຕົວແປ່ງແຍກຂໍ້ມູນຫຼືໄໝ (Gain ທີ່ມີຄ່ານາກທີ່ສຸດ) ເນື່ອເປົ້າຍນເຖິງກັນ Gain ຂອງແອຕทริบิวต์ຕົວອື່ນໆ
ຈາກສ່າງການຂ້າງຕົນ $I(S_1, S_2, \dots, S_m)$ ຫາໄດ້ຈາກສ່າງການດັ່ງນີ້

$$I(S_1, S_2, \dots, S_m) = \sum -P_i \log_2(P_i) \quad (2.39)$$

ແທນຄ່າ P_i ອີ່ຄວາມນ່າງຈະເປັນໃນການຕັດສິນໃຈຂໍ້ມູນ S ໃນຄລາສ C_i $P_i =$

S_i/S

ໃຫ້ແອຕทริบิวต์ A ມີຄ່າຂອງຂໍ້ມູນທີ່ແຕກຕ່າງກັນ v ຄ່າ ແທນດ້ວຍ a_1, a_2, \dots, a_v ຈຶ່ງແອຕทริบิวต์ A ຈະແປ່ງຂໍ້ມູນ S ອອກເປັນ v ກຸ່ມຍ່ອຍ ແທນດ້ວຍ S_1, S_2, \dots, S_v ໃຫ້ S_i

แทนจำนวนข้อมูลในแต่ละแอ็ตทริบิวต์ A ให้ S_{ij} แทนจำนวนข้อมูลในแต่ละคลาสของแต่ละค่า แอ็ตทริบิวต์ A แทนค่าด้วย $S_{1j}, S_{2j}, \dots, S_{mj}$ สมการในการหาค่าเออนโทรปีของกลุ่มข้อมูลย่อไปนี้คือ

$$E(A) = S_{1j} + \dots + S_{mj} I(S_{1j}, \dots, S_{mj}) \quad (2.40)$$

จากสมการข้างต้น $I(S_{1j}, \dots, S_{mj})$ หาได้จากสมการดังนี้

$$I(S_{1j}, \dots, S_{mj}) = \sum -P_{ij} \log_2(P_{ij}) \quad (2.41)$$

$$I(S_{1j}, \dots, S_{mj}) = \sum_{i=1}^m -\frac{S_i}{S} \log_2 \frac{S_i}{S} \quad (2.42)$$

แทนค่า P_{ij} คือ ความน่าจะเป็นที่ใช้ในการตัดสินข้อมูล S_j ในคลาส

$$C_i P_{ij} = S_{ij} / S_j$$

2.3.1.7 ตัวอย่างการสร้างต้นไม้ตัดสินใจ

ตารางที่ 2.2 ข้อมูลฝึกฝนที่ใช้ในการสร้างต้นไม้ตัดสินใจ

Rid	Age	Histologic	Menopause	Cytology	Class CA_Breast
1	<=30	High	No	Negative	No
2	<=30	High	No	Positive	No
3	31..50	High	No	Negative	Yes
4	>50	Medium	No	Negative	Yes
5	>50	Low	Yes	Negative	Yes
6	>50	Low	Yes	Positive	No
7	31..50	Low	Yes	Positive	Yes
8	<=30	Medium	No	Negative	No
9	<=30	Low	Yes	Negative	Yes
10	>50	Medium	Yes	Negative	Yes
11	<=30	Medium	Yes	Positive	Yes
12	31..50	Medium	No	Positive	Yes

ตารางที่ 2.2 ข้อมูลฝึกฝนที่ใช้ในการสร้างต้นไม้ตัดสินใจ (ต่อ)

Rid	Age	Histologic	Menopause	Cytology	Class CA_Breast
13	31..50	High	Yes	Negative	Yes
14	>50	Medium	No	Positive	No

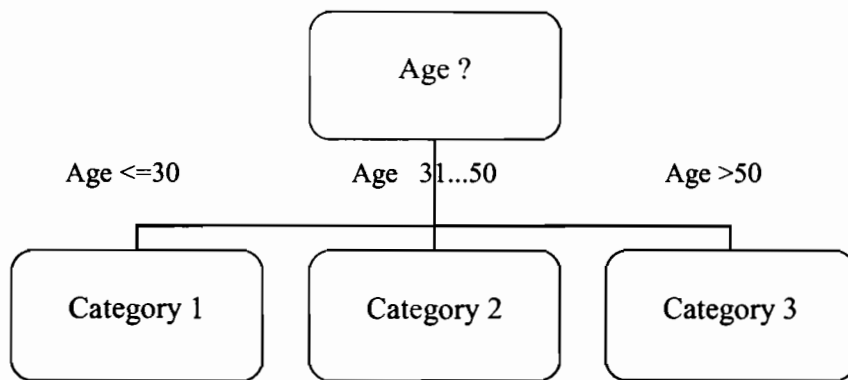
จากตารางที่ 2.2 เป็นตัวอย่างการหา Information Gain เพื่อสร้างต้นไม้ตัดสินใจด้วย ID3 เช่น มีแอ็ตทริบิวต์ ชื่อว่า CA_Breast ซึ่งมี 2 ค่าที่ต่างกัน คือ Yes และ No จึงเป็น 2 คลาส ดังนั้น $m = 2$ ให้ C_1 แทนค่า Yes และ C_2 แทนค่า No ข้อมูลทั้งหมดมีจำนวน 14 แถว แทนค่า $S = 14$ โดยมีข้อมูลที่อยู่ใน C_1 จำนวน 9 แถว แทนค่า $S_1 = 9$ และมีข้อมูลที่อยู่ใน C_2 จำนวน 5 แถว แทนค่า $S_2 = 5$ ใช้สมการที่ 2.39 ในการจำแนกประเภทข้อมูลได้ดังนี้

$$I(S_1, S_2) = \text{Info}(9,5)$$

แทนค่าในสมการที่ 2.42 ได้ดังนี้

$$\text{Info}(9,5) = -\left(\frac{9}{14} \log_2 \frac{9}{14}\right) - \left(\frac{5}{14} \log_2 \frac{5}{14}\right) = 0.940$$

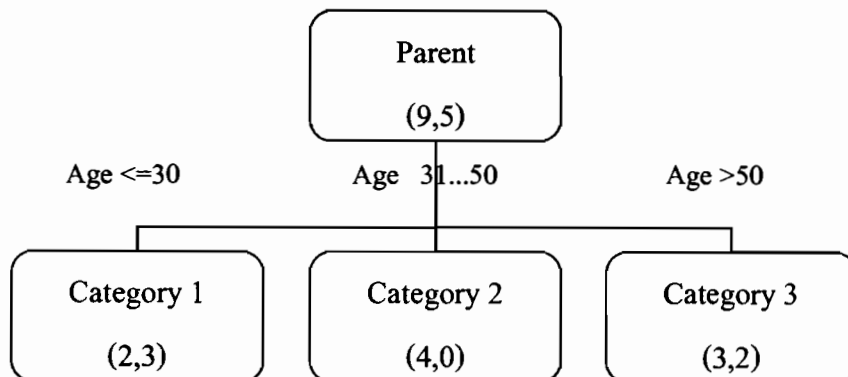
จากนี้ทำการเลือกแอ็ตทริบิวต์ที่จะทดสอบการแบ่งข้อมูล Gain เพื่อคุณภาพของคลาส Yes และ No เริ่มทดสอบแอ็ตทริบิวต์ Age ซึ่งแอ็ตทริบิวต์นี้มีค่าต่างกัน 3 ค่า สามารถแยกค่าแตกต่างกันของแอ็ตทริบิวต์ หลังจากคำนวณค่าความไม่แน่นอนของข้อมูล (Entropy)แล้ว คำนวณค่า Information Gain ของแต่ละแอ็ตทริบิวต์ และเลือกแอ็ตทริบิวต์ ที่มีค่า Information Gain สูงสุดมาเป็นโหนดในต้นไม้ ได้ดังนี้



ภาพที่ 2.7 ตัวอย่างการแบ่ง Information Gain

2.3.1.8 ขั้นตอนวิธี C5.0

ขั้นตอนวิธี C5.0 เป็นขั้นตอนวิธี ที่มีการเรียนรู้แบบมีผู้สอน โดยที่ โครงสร้างผลลัพธ์แทนด้วย โครงสร้างต้นไม้ หรือกฎการจำแนกข้อมูล โดยกระบวนการทำงานของ ขั้นตอนวิธี รองรับการทำงานแบบ Boosting (Freund และ Schapire, 1996) ซึ่งมีการปรับค่าน้ำหนัก ให้กับข้อมูลการเรียนรู้และสร้างตัวจำแนกขึ้นมาด้วยข้อมูลที่ได้ปรับค่าน้ำในแต่ละรอบ [36] และ ถูกนำมาเป็นตัวสร้างกฎการจำแนกการเรียนรู้ตัวอย่างต้องใช้ค่าน้ำหนักในการบ่งชี้ความน่าจะเป็น ในการเลือกชุดการเรียนรู้โดยใช้ส่วนประกอบของตัวจำแนก เมื่อมีการจำแนกแล้วผิด การเรียนรู้ครั้ง ถัดไปจะเพิ่มค่าน้ำหนัก และจะทำวิธีการคิดซ้ำจนกว่าความผิดพลาดของการจำแนกจะมีค่าน้อยกว่า ที่กำหนดไว้ และใช้ Gain Ratio เป็นตัวแบ่งของต้นไม้ ในการทำงานขั้นตอนแรกคล้ายกับการ ทำงานด้วย ID3 [35] คือ ต้องหา Info และ Gain



ภาพที่ 2.8 ตัวอย่างการแบ่ง Gain Ratio

ค่าของแอคทริบิวต์ Age ค่าที่ 1 คือ “ $<=30$ ” ได้จำนวนข้อมูลของคลาส C_1 คือ $S_{11} = 2$ ได้จำนวนข้อมูลของคลาส C_2 คือ $S_{21} = 3$ แทนค่าในสมการที่ 2.42 หาค่า $I(S_{11}, S_{21})$ จะได้

$$\text{Category 1 : Info}([2,3]) = - \left(\frac{2}{5} \log_2 \frac{2}{5} \right) - \left(\frac{3}{5} \log_2 \frac{3}{5} \right)$$

$$I(S_{11}, S_{21}) \text{ หรือ } \text{Info}(2,3) = 0.971$$

ค่าของแอคทริบิวต์ Age ค่าที่ 2 คือ “ $31...50$ ” ได้จำนวนข้อมูลของคลาส C_1 คือ $S_{12} = 4$ ได้จำนวนข้อมูลของคลาส C_2 คือ $S_{22} = 0$ เนื่องจากค่า $S_{22} = 0$ ดังนั้นให้ $I(S_{12}, S_{22}) = 0$ หรือแทนค่าในสมการที่ 2.42 หาค่า $I(S_{11}, S_{21})$ จะได้

$$\text{Category 2 : Info}([4,0]) = - \left(\frac{4}{4} \log_2 \frac{4}{4} \right) - \left(\frac{0}{4} \log_2 \frac{0}{4} \right)$$

$$I(S_{12}, S_{22}) \text{ หรือ } \text{Info}(4,0) = 0$$

ค่าของแอคทริบิวต์ Age ค่าที่ 3 คือ “ >50 ” ได้จำนวนข้อมูลของคลาส C_1 คือ $S_{13} = 3$ ได้จำนวนข้อมูลของคลาส C_2 คือ $S_{23} = 2$ แทนค่าในสมการที่ 2.42 หาค่า $I(S_{13}, S_{23})$ จะได้

$$\text{Category 3 : Info}([3,2]) = - \left(\frac{3}{5} \log_2 \frac{3}{5} \right) - \left(\frac{2}{5} \log_2 \frac{2}{5} \right)$$

$$I(S_{13}, S_{23}) \text{ หรือ } \text{Info}(3,2) = 0.971$$

แทนค่าในสมการที่ 2.40 เพื่อคำนวณหาเงินโทรศัพท์ของแอคทริบิวต์ Age ได้ดังนี้

$$E(\text{Age}) = [5 \times I(S_{11}, S_{21}) + 4 \times I(S_{12}, S_{22}) + 5 \times I(S_{13}, S_{23})] / 14 = 0.694$$

$$\text{Category 3 : Info}([3,2], [4,0], [2,3]) = \frac{5}{14} \times 0.971 + \frac{4}{14} \times 0.971 +$$

$$\frac{5}{14} \times 0.971 = 0.694$$

แทนค่าในสมการที่ 2.38 เพื่อคำนวณหา Information Gain ของแอคทริบิวต์ Age ดังนี้

$$\begin{aligned}
 \text{Gain(Age)} &= I(S_1, S_2) - E(\text{Age}) \\
 &= \text{Info}([9,5]) - \text{Info}([3,2], [4,0], [2,3]) \\
 &= 0.940 - 0.694 \\
 &= 0.246
 \end{aligned}$$

สิ่งที่ขึ้นตอนวิธี C5.0 ต้องทำเพิ่มเติม คือ การหาค่า Gain Ratio ซึ่งจะนำไปใช้เป็นตัวแบ่งต่อไป ค่า Gain Ratio หาได้จากสูตร

$$\text{Gain Ratio} = \frac{\text{gain}}{\text{split info}} \quad (2.43)$$

ชื่อ split info ใช้หลักการเดินในการหา Information Entropy ออกมาเป็น 3 กลุ่ม เป็นการนับจำนวนตัวข้อมูล ไม่ได้นับจำนวนค่า Yes หรือ No จากข้อมูลตัวอย่าง เช่น
 กลุ่มอายุน้อยกว่าหรือเท่ากับ 30 ปี มีจำนวน 5 ตัว
 กลุ่มอายุระหว่าง 31 ถึง 50 ปี มีจำนวน 4 ตัว
 กลุ่มอายุมากกว่า 50 ปี มีจำนวน 5 ตัว
 จะได้ค่า split info คือ

$$\begin{aligned}
 \text{split info } ([5, 4, 5]) &= -\left(\frac{5}{14} \log_2 \frac{5}{14}\right) - \left(\frac{4}{14} \log_2 \frac{4}{14}\right) - \left(\frac{5}{14} \log_2 \frac{5}{14}\right) \\
 &= 1.577
 \end{aligned}$$

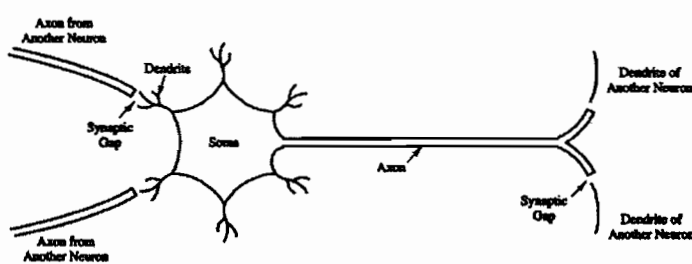
$$\begin{aligned}
 \text{Gain Ratio} &= \frac{\text{gain}}{\text{split info}} = \frac{0.246}{1.577} \\
 &= 0.156
 \end{aligned}$$

จะได้ค่า Gain Ratio และทำการคำนวณในรายการอื่นๆ จนครบ แล้วเลือกแอ็คทริบิวต์ ที่มีค่า Gain Ratio สูงสุด ก็จะสามารถแสดงໄได้ว่าจะแบ่งการทำางานอยู่ในค่าของรายการใด ขั้นตอนวิธี C5.0 เป็นขั้นตอนวิธีที่ j. Ross Quinlan พัฒนาเพิ่มเติมจาก ขั้นตอนวิธี C4.5 มีความสามารถมากกว่า จาก ขั้นตอนวิธี C4.5 ในด้านความเร็วของการประมวลผล การจัดการกับหน่วยความจำที่มีประสิทธิภาพมากขึ้น ต้นไม้ตัดสินใจมีขนาดเล็กลง ความถูกต้องของ

แบบจำลองต้นไม้มากขึ้น และการใช้ค่าถ่วงคุณลักษณะของข้อมูล แต่ขั้นตอนวิธีนี้เป็นลักษณะ Commercial และ Close-Source Product ที่ไม่เปิดเผย Source Code ดังเช่น ขั้นตอนวิธี ID3 และ ขั้นตอนวิธี C4.5

2.3.2 โครงข่ายประสาทเทียม (Neural Network)

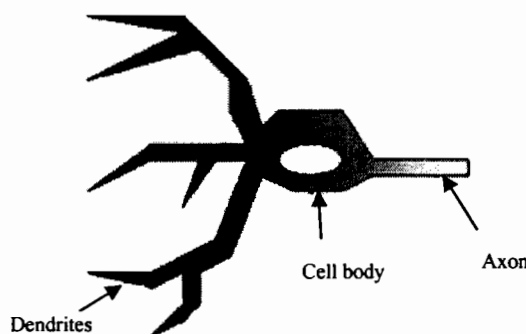
โครงข่ายประสาทเทียมเป็นการจำลองสมองมนุษย์ ด้วยโมเดลทางคณิตศาสตร์ สำหรับประมวลผลสารสนเทศด้วยการคำนวณแบบคอนเนกชันนิสต์ (Connectionist) เพื่อวัดคุณภาพสิ่งที่จะสร้างเครื่องมือที่มีความสามารถในการเรียนรู้การจัดจำแนกแบบ (Pattern Recognition) และการอุปมาณความรู้ (Knowledge Deduction) เช่นเดียวกับความสามารถที่มีในสมองมนุษย์ [34] โครงข่ายประสาทเทียมเป็นการทำางานของการเชื่อมต่อระหว่างเซลล์ประสาท (Neurons) งานเป็นโครงข่ายที่มีความสามารถในการเก็บความรู้ที่ได้จากการสอน (Training) สามารถรู้จำและเรียกข้อมูลการเรียนรู้มาใช้ในภายหลังได้เอง โครงข่ายประสาทเทียมนี้หลักการทำงานซึ่งจำลองแบบการทำงานของโครงสร้างภายในเซลล์ประสาทของสมองมนุษย์ดังภาพที่ 2.9 โดยเซลล์ประสาทนี้องค์ประกอบหลักคือ โซมา (Soma) ซึ่งเป็นเซลล์ประสาท (Nerve Cell) หรือเซลล์ประสาท (Neurons) และเส้นใยประสาท (Nerve Fiber) เป็นส่วนของเซลล์ที่ยื่นออกจากเซลล์ประสาท (Neurons) มี 2 ลักษณะคือ เดนไดริต (Dendrite) และแอคชอน (Axon) หน้าที่การทำงานของเดนไดริต เป็นส่วนของนิวรอนที่ยื่นออกไปรอบๆ ทำหน้าที่รับกระแสประสาทเข้าสู่ตัวเซลล์ นิวรอนหนึ่งตัวจะมีเดนไดริตได้หลายแห่ง และที่ปลายของเดนไดริตมีส่วนที่ยื่นออกไปเป็นต่อมเล็กๆ เรียกว่าห่านนา (Spine) ซึ่งเป็นที่สำหรับเชื่อมต่อกับกิ่งแอคชอนหรือเดนไดริตอื่นๆ ที่เรียกว่าบริเวณซีเนปส์ (Synapse Gap) หรือชุดประสาทงานของประสาท สำหรับเซลล์ประสาท (Neurons) ของมนุษย์มีจำนวนประมาณ 10^{10} ถึง 10^{11} เซลล์ เชื่อมโยงกันทำหน้าที่รับและส่งสัญญาณระหว่างเซลล์ประสาท (Neurons) รับรู้ภัยนอกรอบกับเซลล์ประสาทภายนอกร่างกายของมนุษย์ [1]



ภาพที่ 2.9 โครงสร้างของเซลล์ประสาทในสมองมนุษย์

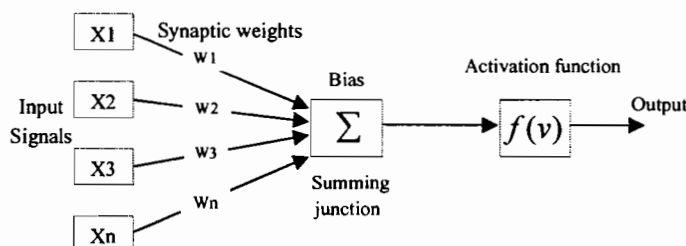
2.3.2.1 แบบจำลองเซลล์ประสาท (Neuron Model)

แนวความคิดในการออกแบบโครงสร้างข่ายประสาทเทียมแสดงด้วยแบบจำลองส่วนประกอบของเซลล์ประสาท (Neurons) ขนาด 1 เซลล์ [1] ดังภาพที่ 2.10 ซึ่งมีเห็นไดร์ต์ทำหน้าที่รับข้อมูลหรือเป็นส่วนอินพุตของเซลล์ประสาท (Neurons) และมีแอคชันทำหน้าที่ส่งข้อมูลการประมวลผลหรือเป็นส่วนเอาท์พุตของเซลล์ประสาท (Neurons)



ภาพที่ 2.10 แบบจำลองของเซลล์ประสาท (Neurons)

พิจารณาจากแบบจำลองของเซลล์ประสาท (Neurons) ในภาพที่ 2.10 สามารถสร้างเป็นโครงสร้างเซลล์ประสาท (Neurons) ขนาด 1 โหนด หรือเรียกว่าเพอร์เซปตรอน (Perceptron) ได้ดังภาพที่ 2.11 มีการทำงานคือเมื่ออินพุต X_1 ถึง X_n เข้ามาบังเซลล์ประสาท (Neurons) จะมีขั้นตอนการประมวลผลโดยการหาค่าผลรวมของอินพุต X_i ถึง X_n คูณหนัก W_i ถึง W_n ของ อินพุต และนำผลที่ได้มาประมวลผลด้วยฟังก์ชันการกระตุ้น (Activation Function) นอก จากนี้ยังมี โหนดค่า เอนเอียง (Bias Node) สำหรับปรับย่านการทำงานของฟังก์ชันกระตุ้น และได้เป็นค่า พลัดพธ์หรือค่าเอาท์พุตของเซลล์ประสาท (Neurons)



ภาพที่ 2.11 นิวรอนโน้มเดล

โครงข่ายประสาทเทียมโดยทั่วไปมีหลักการทำงานพื้นฐานดังนี้

- (1) การประมวลผลข้อมูลเกิดขึ้นพร้อมกันในหลายๆ นิวรอน
- (2) การส่งผ่านสัญญาณระหว่างนิวรอนกระทำผ่านส่วนการเชื่อมโยง

(Connection Link)

(3) แต่ละส่วนของการเชื่อมต่อจะมีค่าน้ำหนัก (Weight) ที่สัมพันธ์กัน และแต่ละนิวรอนสามารถส่งข้อมูลไปหาอีกนิวรอนอื่นๆ ได้หลายทาง

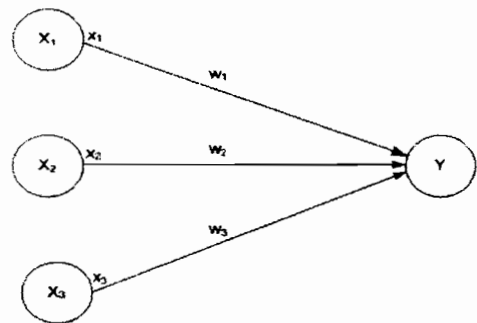
(4) แต่ละนิวรอนจะประมวลผลข้อมูลที่ป้อนเข้ามาทางอินพุทของ โครงข่ายเพื่อตัดสินใจรูปแบบของสัญญาณเอาท์พุท

แต่ละนิวรอนจะมีส่วนประกอบสำคัญสองส่วนคือค่าน้ำหนักการ เชื่อมโยง (Connection Weights) เป็นค่าตัวแปรอิสระสำหรับเก็บข้อมูลความรู้ที่ได้จากขั้นตอนการ สอนโครงข่ายและฟังก์ชันการกระตุ้น ซึ่งเป็นฟังก์ชันภายในของนิวรอนมีหน้าที่เปลี่ยนระดับจาก การกระตุ้นภายในเป็นข้อมูลเอาท์พุทของนิวรอน ฟังก์ชันการกระตุ้นอาจเป็นฟังก์ชันเชิงเส้น ฟังก์ชันไม่เป็นเชิงเส้นก็ได้ แต่ในการใช้โครงข่ายประสาทเทียนนิยมใช้ฟังก์ชันการกระตุ้นที่ไม่เป็น เชิงเส้นเพื่อใช้ประโยชน์ในการเป็นเครื่องมือสำหรับการวิเคราะห์งานหรือแบบจำลองคณิตศาสตร์ที่ ไม่เป็นเชิงเส้นได้ แต่ละนิวรอนมีสถานะภายในหรือระดับการกระตุ้น โดยเมื่อได้รับข้อมูลอินพุท เข้ามานิวรอนจะส่งสัญญาณกระตุ้นไปยังนิวรอนอื่นตามค่าน้ำหนักการเชื่อมโยงและระดับการ กระตุ้นภายในของนิวรอน

เพื่อเป็นการสร้างความเข้าใจการทำงานของโครงข่ายประสาทเทียม สามารถพิจารณาจากภาพที่ 2.12 นิวรอน Y ได้รับอินพุตมาจาก X_1 , X_2 และ X_3 ซึ่งมีการกระตุ้นหรือ สัญญาณเอาท์พุทคือ x_1 , x_2 และ x_3 และมีการถ่วงน้ำหนักการเชื่อมโยงคือ w_1 , w_2 และ w_3 เชื่อมโยงกับ อินพุทของโครงข่าย (y_{in}) ไปยังนิวรอน Y ซึ่งก็คือผลรวมของค่าน้ำหนักของสัญญาณจากอินพุท X_1 , X_2 และ X_3 ดังนี้

$$y_{in} = w_1 x_1 + w_2 x_2 + w_3 x_3 \quad (2.44)$$

$$= \sum w_i x_i \quad (2.45)$$



ภาพที่ 2.12 โครงข่ายประสาทเทียมอย่างง่าย

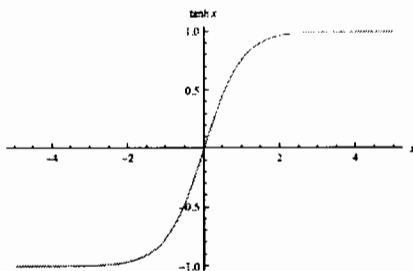
การกระตุ้นฟังก์ชัน y ของนิวรอน Y กำหนดโดยฟังก์ชันอินพุทของโครงข่าย $y = f(y_{in})$ ตัวอย่างเช่นการใช้ฟังก์ชันซิกโนยด์ (Sigmoid) [22]

$$f(x) = \frac{1}{1+e^{-x}} \quad (2.46)$$

สำหรับฟังก์ชันการกระตุ้นที่ใช้ในงานวิจัยนี้เป็นฟังก์ชันการกระตุ้นแบบไฮเปอร์บอลิกแทนเจนต์ (Hyperbolic Tangent) ดังสมการที่ 2.47 [22] ซึ่งฟังก์ชันการกระตุ้นแบบไฮเปอร์บอลิกแทนเจนต์มีคุณลักษณะเป็นเส้นโค้งคล้ายตัวอักษรเอส และดังภาพที่ 2.13 โดยฟังก์ชันการกระตุ้นจะทำหน้าที่เหมือนฟังก์ชันตรรกวิทยาและมีสัญญาณอินพุทเอาท์พุทอยู่ในบริเวณ -1 ถึง +1 สามารถทำหน้าที่ทางตรรกได้ เพราะว่ามีความสมมาตรกัน 때문에สำหรับการทำางกับโครงข่ายประสาทเทียม

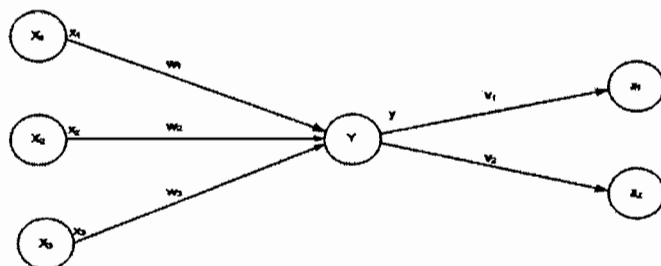
$$f(x) = \frac{e^n - e^{-n}}{e^n + e^{-n}} \quad (2.47)$$

แสดงกราฟได้ดังนี้



ภาพที่ 2.13 กราฟของไฮเปอร์บอลิกแทนเจนต์ (Hyperbolic Tangent)

เมื่อนำเอาท์พุทของนิวรอน Y มาเชื่อมต่อกับนิวรอน Z_1 และ Z_2 ด้วยค่าน้ำหนัก v_1 และ v_2 ดังภาพที่ 2.14 นิวรอน Y จะส่งสัญญาณ y_i ไปที่แต่ละนิวรอน อ忙่างไรก็ตามค่าที่ได้รับที่นิวรอน Z_1 และ Z_2 จะแตกต่างกัน เพราะว่าแต่ละสัญญาณจะต่างกันที่ค่าน้ำหนัก v_1 และ v_2 ในการทำงานของโครงข่ายนั้นสัญญาณกระตุ้น z_1 และ z_2 ของนิวรอน Z_1 และ Z_2 มีการเชื่อมต่ออยู่กับสัญญาณอินพุทที่มาจากนิวรอนอื่นจำนวนมาก



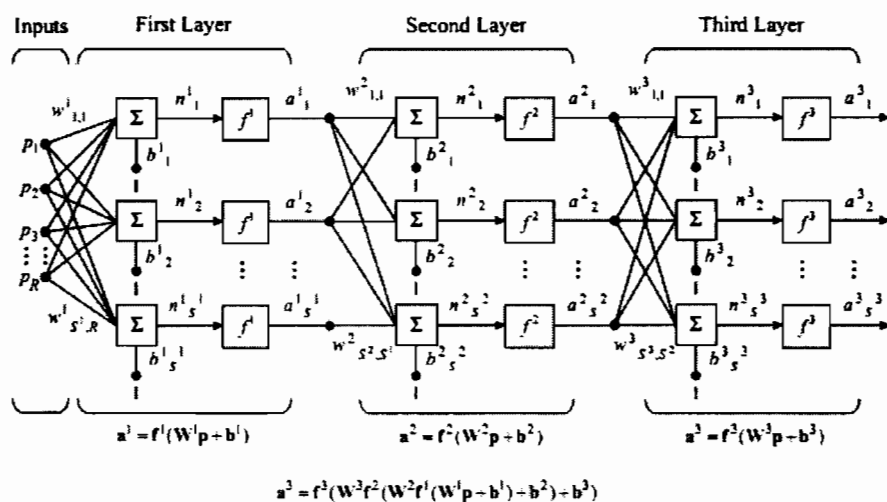
ภาพที่ 2.14 โครงข่ายประสาทเทียมอย่างง่ายแบบหลายชั้น

จากภาพที่ 2.14 แสดงโครงข่ายประสาทเทียมที่มีชั้นซ่อน (Hidden Layer) โดยมีชั้นอินพุท คือชั้น X ชั้นซ่อนคือชั้น Y และชั้นเอาท์พุทคือชั้น Z ที่ชั้น Y เมื่อใช้ฟังก์ชันการกระตุ้นแบบไม่เป็นเชิงเส้นตามสมการที่ 2.47 จะมีความสามารถในการแก้ปัญหาได้ดีกว่าโครงข่ายที่มีเพียงชั้นอินพุทและชั้นเอาท์พุทเท่านั้น ทั้งนี้ เพราะในโครงข่ายที่มีชั้นซ่อนจะมีความซับซ้อนในการสอนหรือการหาค่าน้ำหนักร่วมดึง โครงสร้างสถาปัตยกรรมและวิธีการสอนที่ซับซ้อนมากกว่า จึงสามารถแก้ปัญหาการทำงานที่ซับซ้อนได้มากกว่า ผลลัพธ์ของการแก้ปัญหาที่ต้องการไม่จำเป็นต้องมีเส้นขอบเขตการตัดสินใจแบบเชิงเส้น ความสามารถและประสิทธิภาพของโครงข่าย

ประสาทเทียมจะกำหนดที่การเลือกรูปแบบการเชื่อมต่อของโครงข่ายประสาทเทียมและวิธีการเรียนรู้เพื่อปรับค่าการถ่วงน้ำหนักของการเชื่อมต่อ

2.3.2.2 โครงข่ายประสาทเทียมแบบป้อนไปข้างหน้า (Multilayer Feed-Forward Network)

รูปแบบสถาปัตยกรรมของโครงข่ายประสาทเทียม สำหรับงานวิจัยนี้ใช้รูปแบบโครงข่ายประสาทเทียมแบบมัลติเพอร์เซปตรอน (Multilayer Perceptron Neural Network) โดยการนำเพอร์เซปตรอนมาเชื่อมต่อกันเป็นโครงข่ายดังภาพที่ 2.15 โดยมีจำนวนชั้นของโครงข่าย คือชั้นอินพุต (Input Layer) ชั้นซ่อน (Hiden Layer) และชั้นเอาท์พุต (Output Layer) จำนวน นิวรอนของแต่ละชั้นไม่จำเป็นต้องเท่ากัน พงก์ชั้นการกระตุ้นของแต่ละชั้นไม่จำเป็นต้องเหมือนกัน โดยจะมีการเชื่อมต่อระหว่างชั้นต่างๆ โหนดในชั้นอินพุตจะส่งสัญญาณไปยังทุกโหนดในชั้นซ่อน และทุกโหนดในชั้นซ่อนจะส่งสัญญาณไปยังทุกโหนดในชั้นเอาท์พุต ตามภาพเป็นแบบป้อนข้อมูลไปข้างหน้า พงก์ชั้นการกระตุ้นของโครงข่ายแบบสองชั้นที่มีพงก์ชั้นการแปลงชั้นแรกเป็นแบบโลจิกตัวเอส (Sigmoid) และชั้นที่สองเป็นแบบเชิงเส้น (Linear) สามารถสอนให้เรียนรู้เพื่อใช้ในการแก้ปัญหาพงก์ชั้นส่วนใหญ่ได้



ภาพที่ 2.15 รูปแบบโครงข่ายประสาทเทียมแบบมัลติเพอร์เซปตรอน

ภาพที่ 2.15 เป็นโครงข่ายประสาทเทียมชั้งแต่ละชั้นมีขนาดเมทริกซ์เท่ากับ W มีเวคเตอร์ค่าอ่อนอึดเท่ากับ b และมีเอาท์พุตเป็น a เพื่อแยกน้ำหนักของแต่ละชั้นจะแสดงสมการการคำนวณไว้ว่าที่ข้างล่างของแต่ละชั้นดังภาพ จะพบว่าที่ชั้นที่ 1 มีอินพุตขนาด R' และมี

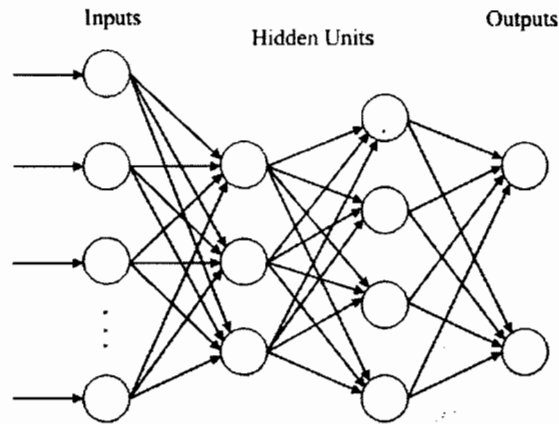
จำนวนนิวรอนเท่ากับ S^1 และที่ชั้นที่ 2 มีจำนวนนิวรอนเท่ากับ S^2 และค่าเออนเอียงคงที่ 1 ป้อนเข้าที่ทุกนิวรอน และค่าเออท์พุทธองชั้นข้างหน้าจะถูกป้อนเป็นข้อมูลอินพุทธองชั้นถัดไป ดังนั้นมีอพิจารณาชั้นที่ 2 ของโครงข่ายจะพบว่ามีขนาด S^1 อินพุท และ S^2 เอาท์พุท และมีขนาดเมทริกซ์ค่าน้ำหนักเป็น W^2 ค่าอินพุทที่ป้อนเข้าที่ชั้นที่ 2 คือ a^1 และค่าเออท์พุตคือ a^2 และจะพบว่าที่ชั้นที่ 2 เป็นโครงข่ายแบบชั้นเดียว (Single Layer) เช่นเดียวกัน แต่ละชั้นภายในโครงข่ายแบบมัลติเลเยอร์ มีบทบาทต่างกัน ชั้นที่ทำหน้าที่ส่งข้อมูลออกนอกโครงข่ายเรียกว่าชั้นเอาท์พุท ส่วนชั้นที่เหลือจะเรียกว่าชั้นซ่อน ดังนั้นจากภาพที่แสดงจะมี 3 ชั้น คือ ชั้นที่ 1 ถึงชั้นที่ 2 รวมกันเรียกว่าชั้นซ่อน ส่วนชั้นที่ 3 เรียกว่าชั้นเอาท์พุท [1]

2.3.2.3 ขั้นตอนวิธีการเรียนรู้แบบแพร่ย้อนกลับ (Back Propagation Learning Algorithm)

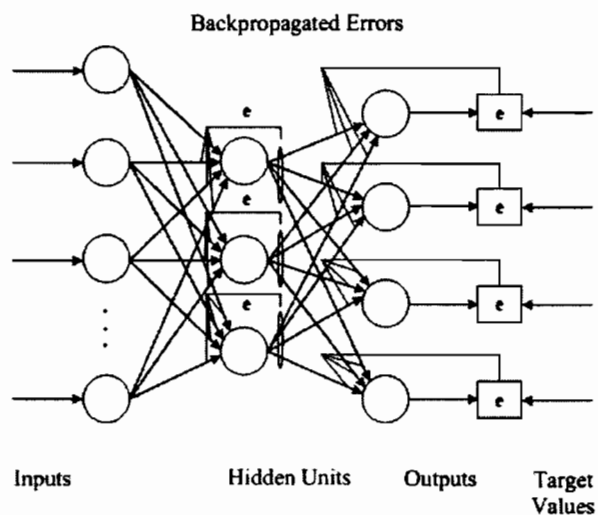
ขั้นตอนวิธีแบบแพร่ย้อนกลับเป็นเทคนิคการเรียนรู้ที่สร้างขึ้นสำหรับกระบวนการสอนโครงสร้างประสาทเทียม เป็นขั้นตอนวิธีที่สร้างขึ้นครั้งแรกโดย Paul Werbos ในปี 1974 ได้รับการพัฒนาต่อโดย David E. Rumelhart, Geoffrey E. Hinton และ Ronald J. Williams ในปี 1986 โดยจะใช้ในโครงข่ายประสาทเทียมแบบป้อนไปข้างหน้า [34] โดยการส่งข้อมูลของความผิดพลาดแพร่ย้อนกลับจากโหนดเอาท์พุทไปที่โหนดอินพุทธองนิวรอนข้างหน้าผ่านโหนดภายใน (Local Node) โดยใช้ขั้นตอนวิธีสต็อกตาติกเกรเดียนดีเซนต์ (Stochastic Gradient Descent) เพื่อปรับลดค่าน้ำหนักของความผิดพลาดให้น้อยที่สุด ข้อสำคัญของขั้นตอนวิธีคือจำเป็นต้องเป็นโครงข่ายแบบป้อนไปข้างหน้าหลายชั้น ตามปกติจะเป็นแบบ 3 ชั้น คือ มีชั้นอินพุท ชั้นซ่อน และชั้นเอาท์พุท ส่วนละ 1 ชั้น ดังแสดงในภาพที่ 2.16 มีการทำงานของขั้นตอนวิธี ดังนี้

- 1) นำข้อมูลสำหรับการสอนส่งเข้าโครงข่ายประสาทเทียม
- 2) เปรียบเทียบผลลัพธ์ค่าเออท์พุตของโครงข่ายกับค่าตัวอย่างข้อมูลที่ป้อนเข้ามา หลังจากนั้นคำนวณค่าความผิดพลาดของแต่ละนิวรอน
- 3) แต่ละประสาทเทียมคำนวณค่าความผิดพลาดภายใน (Local Error) โดยการคำนวณและหาค่าปัจจัยของน้ำหนักค่าสูงสุดและค่าต่ำสุดที่ต้องปรับเปลี่ยนเพื่อจับคู่ผลที่ถูกต้อง
- 4) ปรับค่าน้ำหนักของแต่ละนิวรอนเป็นค่าต่ำสุดของค่าความผิดพลาดภายใน
- 5) กำหนดขอบเขตของความรับผิดชอบสำหรับความผิดพลาดภายในไปที่นิวรอนในระดับก่อนหน้าและส่งค่าผลลัพธ์ที่ถูกต้องคืนค่าน้ำหนักที่ปรับปรุงแล้ว

6) ทำขั้นตอนทั้งหมดที่นิวรอนในลำดับก่อนหน้าโดยค่าความผิดพลาดภายในของแต่ละนิวรอนที่เกิดจากค่าความผิดพลาดของนิวรอนนั้นๆ



ภาพที่ 2.16 ลักษณะทั่วไปของโครงข่ายแบบป้อนไปข้างหน้าหลายชั้น



ภาพที่ 2.17 การเปลี่ยนโครงข่ายแบบป้อนไปข้างหน้าหลายชั้นโดยใช้ขั้นตอนวิธีแบบแพร่ย้อนกลับ

โครงข่ายแบบป้อนไปข้างหน้าหลายชั้น [20] จะประกอบไปด้วยชุดข้อมูลอินพุต (Input) ชั้นซ่อน (Hidden Layer) และชุดเอาท์พุต (Output) ซึ่งชั้นซ่อนจะมีชั้นเดียว

หรือมากกว่าหนึ่งชั้นก็ได้ โดยจะอยู่ระหว่างชุดข้อมูลอินพุท และชุดข้อมูลเอาท์พุท [41] ดังภาพที่ 2.17 สามารถอธิบายการคำนวณได้ ดังนี้

- (1) c, h, m แทนจำนวนนิวรอนของชุดข้อมูลอินพุท ชั้นช่อน และชุดข้อมูลเอาท์พุท ตามลำดับ
 - (2) v_{ji} แทนค่าถ่วงน้ำหนักที่เชื่อมต่อระหว่างนิวรอนที่ i ของชุดข้อมูลอินพุทกับนิวรอนที่ j ในชั้นช่อน เมื่อ $i=1,2,\dots,c$ และ $j=1,2,\dots,h$
 - (3) w_{kj} แทนค่าถ่วงน้ำหนักที่เชื่อมต่อระหว่างนิวรอนที่ j ในชั้นช่อนกับนิวรอนที่ k ของชุดข้อมูลเอาท์พุท
 - (4) x^p แทนข้อมูลอินพุทของนิวรอนรูปแบบที่ p เมื่อ $p=1,2,\dots,P$
 - (5) y_j^p แทนเอาท์พุทของนิวรอนที่ j ในชั้นช่อนสำหรับชุดข้อมูลอินพุตรูปแบบที่ p เมื่อ $p=1,2,\dots,P$ และ $j=1,2,\dots,h$
 - (6) z_k^p แทนเอาท์พุทของนิวรอน k ของชุดเอาท์พุทสำหรับชุดข้อมูลอินพุตรูปแบบที่ p เมื่อ $p=1,2,\dots,P$ และ $k=1,2,\dots,m$
 - (7) t_k^p แทนชุดข้อมูลเป้าหมายที่ใช้เปรียบเทียบกับชุดข้อมูลเอาท์พุทของนิวรอน k สำหรับชุดข้อมูลอินพุตรูปแบบที่ p เมื่อ $p=1,2,\dots,P$ และ $k=1,2,\dots,m$
- กำหนดให้

$$H_j = \sum_i v_{ji} x_i \quad j=1,2,\dots,h \quad (2.48)$$

$$I_k = \sum_j w_{kj} y_i \quad k=1,2,\dots,m \quad (2.49)$$

โดย

H_j แทน Net Input ไปยังนิวรอนที่ j ของชั้นช่อน

I_k แทน Net Input ไปยังนิวรอนที่ k ของชุดข้อมูลเอาท์พุท

จากสมการที่ (2.48) และสมการที่ (2.49) ชุดข้อมูลเอาท์พุทคำนวณได้โดยนิวรอนที่ j ของชั้นช่อนและนิวรอนที่ k ของชุดเอาท์พุท ดังนี้

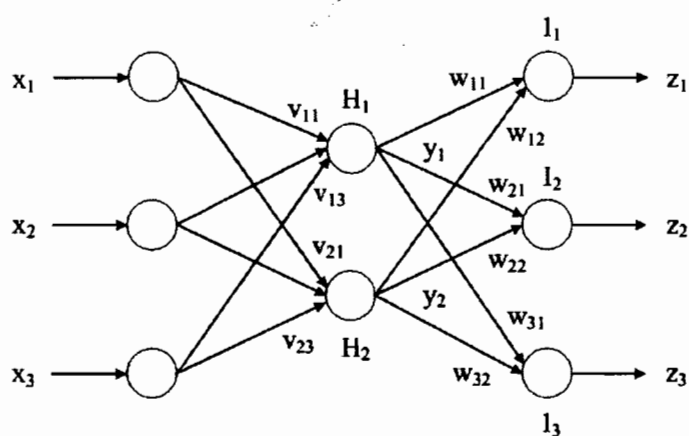
$$y_j = f(H_j) \quad j=1,2,\dots,h \quad (2.50)$$

$$z_k = f(I_k) \quad k=1,2,\dots,m \quad (2.51)$$

เมื่อ f แทนฟังก์ชันการถ่ายโอน

$$\begin{aligned} z_k &= f(I_k) = f\left(\sum_j w_{kj} y_j\right) = f\left(\sum_j w_{kj} f(H_j)\right) \\ &= f\left(\sum_j w_{kj} f\left(\sum_i v_{ji} x_i\right)\right) \end{aligned} \quad (2.52)$$

จากข้อมูลเอาท์พุตแสดงดังภาพที่ 2.18



ภาพที่ 2.18 การเชื่อมต่อและตัวแปรของโครงข่ายแบบป้อนไปข้างหน้าหลายชั้น

ในการพัฒนาขั้นตอนวิธีสำหรับการเรียนรู้โครงข่ายนี้ ต้องลดค่าความคลาดเคลื่อนสำหรับทุกๆ รูปแบบด้วยการปรับค่าล่วงหน้าให้โดยกำหนดค่าความคลาดเคลื่อนเฉลี่ย ดังนี้

$$E_{tot} = \frac{1}{p} \sum_{p=1}^P E^p \quad (2.53)$$

เมื่อ

E_{tot} แทนค่าความคลาดเคลื่อนเฉลี่ย

E^p แทนค่าความคลาดเคลื่อนที่เกิดขึ้นจากชุดข้อมูลอินพุตรูปแบบที่ p

P แทนจำนวนรูปแบบของชุดข้อมูลอินพุททั้งหมด

จำนวนของรูปแบบของชุดอินพุทขึ้นอยู่กับแหล่งที่มาของชุดข้อมูลที่ใช้ในการเรียนรู้ (Training set) ซึ่งอาจถูกกำหนดให้แน่นอนหรือไม่ก็ได้ ดังนี้ในทางปฏิบัติจะกำหนดให้รูปแบบที่ใช้ในการเรียนรู้มีขนาดเท่ากับ P ซึ่งจะแทนกลุ่มตัวอย่างจากการกระจายตัวของสมาชิกทั้งหมด คือค่า $p(x)$ ในกรณีที่ P มีขนาดใหญ่มาก ความกำหนดค่าความคลาดเคลื่อนเฉลี่ยกำลังสอง (Mean Squared Error) ดังสมการต่อไปนี้

$$E_{tot} = \lim_{P \rightarrow \infty} \frac{1}{P} \sum_{p=1}^P E^p \quad (2.54)$$

เห็นได้ว่าค่าความคลาดเคลื่อนจะถูกลดลงถ้าความคลาดเคลื่อนในแต่ละรูปแบบที่ใช้ในการเรียนรู้ E^p ลดลง ดังนี้จึงมีการพัฒนาวิธีการปรับค่าถ่วงน้ำหนักให้เป็นสัดส่วนกับค่าความคลาดเคลื่อนที่ลดลง เรียกวิธีนี้ว่า กฎของเดลตา (Delta rule) โดยจะทำการปรับค่าถ่วงน้ำหนักของแต่ละรูปแบบของชุดข้อมูล เพื่อให้ค่าความคลาดเคลื่อนลดลงจากการคำนวณในรอบก่อนหน้า ให้เป็นสัดส่วนกับค่าลบของค่าอนุพันธ์ของค่าความคลาดเคลื่อน ดังสมการต่อไปนี้

$$\Delta W(s+1) = -\eta \frac{\partial E^p}{\partial W(s)} \quad (2.55)$$

เมื่อ

ΔW คือ ค่าปรับแก้ของค่าถ่วงน้ำหนัก

$s, s+1$ คือ รอบที่ s และ $s+1$ ตามลำดับ

η คือ ค่าสัมประสิทธิ์คงที่การเรียนรู้

และ

$$\frac{\partial E^p}{\partial W} = \left[\frac{\partial E^p}{\partial v_{11}}, \frac{\partial E^p}{\partial v_{12}}, \dots, \frac{\partial E^p}{\partial w_{11}}, \dots, \frac{\partial E^p}{\partial w_{hm}} \right] \quad (2.56)$$

ค่าเกรเดียนท์ของค่าความคลาดเคลื่อนรวมของระบบ คือ

$$\frac{\partial E^p}{\partial W} = \frac{1}{P} \sum_{p=1}^P \frac{\partial E^p}{\partial w} \quad (2.57)$$

พิ่งก์ชันความคลาดเคลื่อน E^P สามารถกำหนดให้ใช้ได้ทั้งค่าความคลาดเคลื่อนเฉลี่ยกำลังสอง หรือค่าความคลาดเคลื่อนสัมบูรณ์ สำหรับในการพัฒนาระบวนการเรียนรู้แบบแพร่ย้อนกลับนั้นจะใช้ค่าความคลาดเคลื่อนกำลังสอง ดังนี้

$$E^P = \frac{1}{2} \sum_{k=1}^m (t_k^P - z_k^P)^2 \quad (2.58)$$

จากสมการที่ (2.55) หลังจากปรับแก้ค่าถ่วงน้ำหนักแล้วจะได้ค่าถ่วงน้ำหนักของการคำนวณในรอบต่อไปดังนี้

$$\Delta W(s+1) = w_{kj}(s) + \Delta w_{kj} = -\eta \frac{\partial E^P}{\partial W(s)} \quad (2.59)$$

การปรับแก้ค่าถ่วงน้ำหนักต้องหาอนุพันธ์ของค่าความคลาดเคลื่อน $\frac{\partial E^P}{\partial W_{kj}}$ จากสมการที่ 2.29 โดยใช้ความสัมพันธ์ต่อไปนี้

$$I_k = \sum_j w_{kj} y_j \text{ และ } z_k = f(I_k) \quad (2.60)$$

ใช้กฎลูกโซ่ (Chain rule)

$$\frac{\partial E}{\partial W_{kj}} = \frac{\partial E}{\partial I_k} \frac{\partial I_k}{\partial w_{kj}} = \frac{\partial E}{\partial I_k} \left(\frac{\partial \left(\sum_j y_j w_{kj} \right)}{\partial w_{kj}} \right) \quad (2.61)$$

จากสมการที่ 2.61 เทอมที่อยู่ในวงเล็บคือ y_j

$$\frac{\partial \left(\sum_j y_j w_{kj} \right)}{\partial w_{kj}} = y_i \quad (2.62)$$

ใช้กฎลูกโซ่อิอกครัง ดังนี้

$$\frac{\partial E}{\partial I_k} = \frac{\partial E}{\partial z_k} \frac{\partial z_k}{\partial I_k} = -(t_k - z_k) f'(I_k) \quad (2.63)$$

จากสมการที่ 2.61 จะได้อาทพุท Unit ดังนี้

$$\frac{\partial E}{\partial z_k} = -(t_k - z_k) \text{ และ } \frac{\partial z_k}{\partial I_k} = f'(I_k) \quad (2.64)$$

ถ้ากำหนดให้

$$\delta_k = -(t_k - z_k) f'(I_k) \quad (2.65)$$

จากสมการข้างต้น สามารถเขียนกฎสำหรับปรับแก้ค่าความถ่วงน้ำหนักของชุดข้อมูลอาทพุท ได้ดังนี้

$$\Delta w_{kj} = -\eta \frac{\partial E}{\partial W_{kj}} = \eta \delta_k y_j \quad (2.66)$$

ในทำนองเดียวกันการปรับแก้ค่าถ่วงน้ำหนักระหว่างชุดอินพุทกับชั้นซ่อน การปรับแก้ค่าถ่วงน้ำหนักต้องหาอนุพันธ์ของค่าความคลาดเคลื่อน $\frac{\partial E^P}{\partial v_{ji}}$ ได้ดังสมการต่อไปนี้

$$\Delta v_{ji} = -\eta \frac{\partial E}{\partial v_{ji}} = \eta \frac{\partial E}{\partial H_j} \frac{\partial H}{\partial v_{ji}} \quad (2.67)$$

โดย

$$\frac{\partial H}{\partial v_{ji}} = \sum_j \frac{\partial(v_{ji} x_i)}{\partial v_{ji}} = x_i \quad (2.68)$$

ใช้กฎโช'

$$\frac{\partial E}{\partial H_j} = \frac{\partial E}{\partial y_j} \frac{\partial y_j}{\partial H_j} = \frac{\partial E}{\partial y_j} f'(H_j) \quad (2.69)$$

โดย

$$\begin{aligned} \frac{\partial E}{\partial H_j} &= \frac{1}{2} \sum_k \frac{\partial \left(t_k - f \left(\sum_j w_{kj} y_j \right) \right)^2}{\partial y_i} \\ &= - \sum_k (t_k - z_k) f'(I_k) w_{kj} \end{aligned} \quad (2.70)$$

จากสมการข้างต้น สามารถเขียนกฎสำหรับการปรับแก้ค่าอ่อนน้ำหนักของชั้นซ่อน ได้ดังนี้

$$\Delta w_{ji} = -\eta \delta_j x_i = \eta x_i f'(H_j) \sum_k \delta_k w_{kj} \quad (2.71)$$

เมื่อ

$$\delta_j = f'(H_j) \sum_k \delta_k w_{kj} \quad (2.72)$$

และ

$$\delta_k = (t_k - z_k) f'(I_k) \quad (2.73)$$

และสามารถเขียนกฎสำหรับการปรับแก้ค่าอ่อนน้ำหนักสำหรับชุดข้อมูลเอาท์พุท และชั้นซ่อน ได้ตามลำดับดังนี้

ชุดข้อมูลเอาท์พุท (Output Unit)

$$\Delta w_{kj} = \eta \delta_k y_j = \eta (t_k - z_k) f'(I_k) y_j \quad (2.74)$$

เมื่อ

$$\delta_k = -(t_k - z_k) f'(I_k) \quad (2.75)$$

ชุดข้อมูลชั้นซ่อน (Hidden Unit)

$$\Delta v_{ji} = -\eta \delta_j x_i = \eta x_i f'(H_j) \sum_k \delta_k w_{kj} \quad (2.76)$$

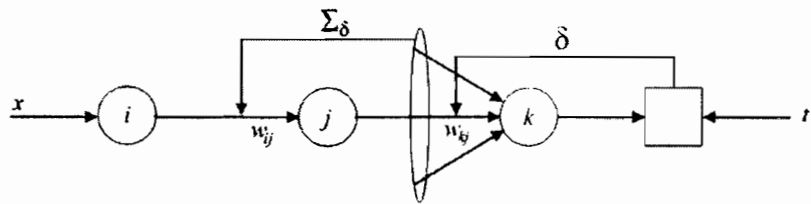
เมื่อ

$$\delta_j = f'(H_j) \sum_k \delta_k w_{kj} \quad (2.77)$$

กระบวนการเรียนรู้แบบแพร่บื้องกลับ จะเริ่มต้นด้วยการสุ่มค่าถ่วงน้ำหนักที่เป็นจำนวนจริงที่มีค่าน้อยของการเชื่อมต่อแต่ละชั้น เพื่อเป็นการกำหนดค่าถ่วงน้ำหนักเริ่มต้น จากนั้นชุดข้อมูลอินพุท x^P จะถูกส่งผ่านไปในโครงข่าย เพื่อหาชุดข้อมูลเอาท์พุท z^P ต่อจากนั้นจะนำชุดข้อมูลเอาท์พุทที่คำนวณได้ไปメリบเทียบกับชุดข้อมูลเป้าหมาย t^P โดยผลต่างระหว่างชุดข้อมูลเป้าหมายกับชุดข้อมูลเอาท์พุท ($t^P - x^P$) เรียกว่า ค่าความคลาดเคลื่อน ค่าความคลาดเคลื่อนของชุดข้อมูลแต่ละชุดเหล่านี้ จะถูกแพร่ค่าบื้องกลับ เพื่อนำไปปรับแก้ค่าถ่วงน้ำหนัก ณ ตำแหน่งต่างๆ ภายในโครงข่าย ดังภาพที่ 2.19 และสมการต่อไปนี้

$$w_{kj}^{new} = w_{kj}^{old} + \Delta w_{kj} = w_{kj}^{old} + \eta y_j (t_k - z_k) f'(I_k) \quad (2.78)$$

$$w_{ji}^{new} = v_{jj}^{old} + \Delta v_{ji} = v_{ji}^{old} + \eta x_i f'(H_k) \sum_k \delta_k w_{kj} \quad (2.79)$$



ภาพที่ 2.19 กระบวนการปรับค่าถ่วงน้ำหนักโดยใช้ขั้นตอนวิธีแบบแพร์ย้อนกลับ

2.3.2.4 โครงข่ายประสาทเทียมก่อตัวด้วยตนเองของโคหอนน (Kohonen Self-organizing Feature Maps)

โครงข่ายประสาทเทียมแบบก่อตัวด้วยตนเองของโคหอนน (Kohonen's Self-organizing Feature Maps) เป็นวิธีหนึ่งของขั้นตอนวิธีแบบโครงข่ายประสาทเทียม (Kohonen, 1995) เป็นโครงข่ายที่มีลักษณะการเรียนรู้แบบไม่มีชั้นช่อง โดยมีแนวคิด คือ การพยาบานจัดกลุ่มข้อมูลที่มีคุณสมบัติที่คล้ายกันหรือเหมือนกันมาไว้ในกลุ่มเดียวกัน โดยวัดจากระยะห่างของข้อมูลด้วยมาตรฐานความคล้าย ซึ่งนิยมใช้ 2 แบบ คือ มาตรวัดแบบ Inner product หรือ Dot product และ มาตรวัดระยะทางแบบ Euclidean [29]

มาตรวัดความคล้ายแบบ Pearson correlation coefficient ซึ่งได้จากการหา Inner product ของเวกเตอร์ [37] โดยค่าข้อมูลจะเป็นเวกเตอร์ขนาด 1 หน่วย (Unit vector) ค่าที่วัดได้จะมีค่าอยู่ระหว่าง -1 ถึง 1 หากค่าที่ได้เท่ากัน 0 แสดงว่าเวกเตอร์ทั้งสองมีค่าเหมือนกันที่สุด หากที่ได้เท่ากับ -1 แสดงว่าเวกเตอร์ทั้งสองที่ค่าต่างกันที่สุด เช่น

$$\text{Inner product ของ } A = \begin{bmatrix} 0 \\ 1 \end{bmatrix}, B = \begin{bmatrix} 0 \\ -1 \end{bmatrix}$$

$$A \bullet B = \begin{bmatrix} 0 \\ 1 \end{bmatrix} \bullet \begin{bmatrix} 0 \\ -1 \end{bmatrix} = (0 \times 0) + (1 \times -1) = -1$$

แสดงว่า $A \bullet B$ ต่างกันที่สุดหรือมีพิศตรงกันข้ามกัน

มาตรวัดแบบ Euclidean (Euclidean distance) ใช้วัดระยะห่างระหว่างเวกเตอร์ [37] โดยตัวค่าระยะห่างน้อยแสดงว่ามีความใกล้เคียงกันมาก หากระยะห่างมาก แสดงว่ามีความใกล้เคียงกันน้อย โดยการหาระยะทาง Euclidean ทำได้โดย

$$\text{กำหนดให้ } A = \begin{bmatrix} 2 \\ 1 \end{bmatrix}, B = \begin{bmatrix} 2 \\ 0 \end{bmatrix}, C = \begin{bmatrix} 2 \\ 0 \end{bmatrix}$$

Euclidean ของ A, B คือ

$$\|A - B\| = \sqrt{(2-2)^2 + (1-2)^2} = \sqrt{(1)^2} = 1$$

Euclidean ของ A, C คือ

$$\|A - C\| = \sqrt{(2-1)^2 + (1-0)^2} = \sqrt{(1)^2 + (1)^2} = \sqrt{2} = 1.414$$

เมื่อป้อนข้อมูลตัวอย่างเข้าไปมากๆ และหลายๆ รอบผ่านกระบวนการเรียนรู้ดังกล่าว จะพบว่า เซลล์ประสาทเทียมแต่ละตัวในชั้นเอาร์พุตจะต่ออยู่ ทำการเรียนรู้ข้อมูลเฉพาะกุ่ม โดยข้อมูลที่มีลักษณะคล้ายกันจะถูกเรียนรู้ด้วยเซลล์ประสาทเทียมตัวเดียวกัน ผลการเรียนรู้ซึ่งเป็นค่าน้ำหนักต่างๆ ของเซลล์ประสาทเทียมตัวนั้นๆ จะเป็นค่าตัวแทนของข้อมูลทุกๆ ตัวในกลุ่มเซลล์ประสาทเทียมตัวนั้นๆ [25]

โครงข่ายประสาทเทียมแบบก่อตัวด้วยตนเองของโคไโอนน [26] เป็นเครื่องมือที่ใช้แสดงข้อมูลให้เห็นเป็นรูปภาพ (Visualization tools) สำหรับข้อมูลหลายมิติ ซึ่งสามารถแสดงข้อมูลในรูป 2 หรือ 3 มิติ โดยในแต่ละโครงข่ายประสาทเทียมจะแสดงให้เห็นด้วยมิติของเวกเตอร์น้ำหนัก (*d-dimentional weight vector*) คือ

$$w = [w_1, \dots, w_d] \quad (2.80)$$

ซึ่ง d คือมิติของข้อมูลนำเข้า (Input vector) การเชื่อมต่อ กันระหว่างโครงข่ายประสาทเทียมใกล้เคียงนั้นจะมีผลต่อการแสดงโครงสร้างของแผนที่ โดยถ้าแต่ละโครงข่ายประสาทเทียมเชื่อมต่อกันเพื่อนบ้าน 4 โหนด ก็จะได้แผนที่เป็นรูปตารางสี่เหลี่ยมนูนฉาก และถ้าแต่ละโครงข่ายประสาทเทียมเชื่อมต่อกันเพื่อนบ้าน 6 โหนด ก็จะได้แผนที่เป็นรูปตารางหกเหลี่ยม

ในการเรียนรู้จำของโครงข่ายประสาทเทียมแบบก่อตัวด้วยตนเองของโคไโอนน ในขั้นตอนแรกค่าน้ำหนัก (Weight vector) จะได้จากการสุ่มค่าจากข้อมูลนำเข้าแล้ว โครงข่ายประสาทเทียมแบบก่อตัวด้วยตนเองของโคไโอนน จะทำการเรียนรู้ (Train) ซึ่งไปเรื่อยๆ การเรียนรู้ในแต่ละรอบ เวกเตอร์ x จะถูกสุ่มขึ้นมาจากเซ็ตของข้อมูลนำเข้าในแต่ละรอบ ระยะห่างระหว่างข้อมูลจะใช้เป็นตัวคัดและคำนวณระหว่างข้อมูลและเวกเตอร์ x

$$d_{ij} = \|x_k - w_{ij}\| \quad (2.81)$$

ชั่งข้อมูลที่มีค่าน้ำหนัก (Weight vector) ที่ใกล้ x ที่สุด เรียกว่า The Best-Matching Unit (BMU) หรือแทนด้วย c

$$\|x - W_c\| = \min_i \|x - W_i\| \quad (2.82)$$

เมื่อ $\|\cdot\|$ คือ ค่าการวัดระยะห่าง ซึ่งใช้วิธีวัดแบบ Euclidean

ค่าการคำนวณการวัดระยะห่างระหว่าง x และค่าน้ำหนัก (Weight vector) ของแต่ละโครงที่เปลี่ยนไปตามเวลา

$$\|x - W\|^2 = \sum_{k \in K} w_k (x_k - w_k)^2 \quad (2.83)$$

เมื่อ K คือ เซ็ตของค่าที่อยู่ในเวกเตอร์ W ซึ่งสามารถไม่มีค่าใด แต่ถ้าหากมีค่าจะแทนด้วย $w_k = 1$ และถ้าไม่มีค่า $w_k = 0$

หลังจากได้ค่าใกล้ศูนย์กลางที่สุด (Best-Matching Unit : BMU) แล้วค่าน้ำหนัก (Weight vector) ของ BMU และเซลล์ประสาทเทียนใกล้เคียงก็จะถูกปรับซึ่งจะมีผลทำให้ข้อมูลนั้นเข้าใกล้กันมากขึ้น ดังสมการ

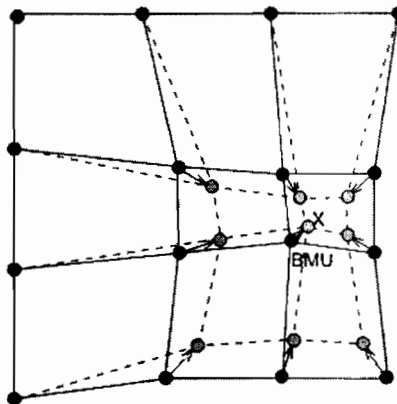
$$W_i(t+1) = W_{i(t)} + \alpha(t) h_{ci}(t) [x(t) - m_i] \quad (2.84)$$

เมื่อ t คือ จำนวนรอบของการประมวล

$x(t)$ คือ ค่า Input vector ที่สุ่มได้จากข้อมูลนำเข้าในแต่ละรอบ

$\alpha(t)$ คือ อัตราการเรียนรู้ที่จำนวนรอบที่ t

$H_{ic}(t)$ คือ พังก์ชันเพื่อนำรอบๆ c



ภาพที่ 2.20 การปรับค่าเข้าใกล้ศูนย์กลางที่สุด

จากภาพที่ 2.20 แสดงการปรับค่าใกล้ศูนย์กลางที่สุด (Best-Matching Unit : BMU) และโหนดเพื่อนบ้านให้เข้าใกล้จุดศูนย์กลาง ที่จุด x โดยเส้นทึบและเส้นประ แสดงถึง การปรับค่าที่สอดคล้องกัน ก่อนและหลังการปรับตามลำดับ [27]

สิ่งที่มีผลต่อการกำหนดขอบเขตหรือบริเวณของ input Vector ในโครงข่ายประสาทเทียมแบบก่อตัวคือขนาดของโหนดเพื่อนบ้าน ซึ่งใช้ในการ

$$h_{ci}(t) = \exp\left(-\frac{\|r_i - r_c\|^2}{2\sigma^2(t)}\right) \quad (2.85)$$

เมื่อ $\|r_i - r_c\|$ คือ ระยะห่างระหว่างจุด c และจุด i
 $\sigma(t)$ คือ รัศมีของโหนดเพื่อนบ้าน ที่จำนวนรอบที่ t ,
 $\sigma(t)$ และ $\alpha_{(i)}$ จะลดลงเมื่อจำนวนรอบเพิ่มขึ้น และจะหยุดเรียนรู้เมื่อ $\alpha_{(i)}$ เข้าใกล้ค่า 0 หรือเมื่อค่า Weight ของ W_i ของเซลล์ประสาทเทียมเริ่มคงที่

การวัดประสิทธิภาพของโครงข่ายประสาทเทียมแบบก่อตัวคือ
ของโโคไซเนนใช้การวัด 2 แบบ คือ

Quantization error คือ วัดค่าเฉลี่ยของระยะระหว่างแต่ละ Input vector ทั้งหมด BMU ของข้อมูลเหล่านั้น ซึ่งจะวัดความละเอียดของจุดในแผนที่

Topographic error คือ วัดความสัมพันธ์ของ Input vector ทั้งหมดกว่าอันไหนคือ BMU ที่หนึ่ง หรือ BMU ที่สอง ที่ไม่อยู่ใกล้เคียงกัน ซึ่งจะวัดเพื่อรักษาสภาพระหว่างเพื่อนบ้าน

ขั้นตอนวิธีของโครงข่ายประสาทเทียมแบบก่อตัวด้วยตนเองของโคลโซเนน [28]

- 1) ทำการสุ่มค่าจากข้อมูลตัวอย่าง
- 2) ทำการวัดระยะห่างระหว่างข้อมูลที่สุ่มกับทุกๆ นิวรอน ดังสมการ

ที่ 2.81

- 3) เลือกนิวรอนที่ใกล้ที่สุดนย์กางที่สุด (Best-Matching Unit : BMU)

เป็น Winner

$$w_{\text{winner}}(w_{ij} : d_{ij} = \min(d_{mn})) \quad (2.86)$$

- 4) ปรับค่าระยะห่างระหว่างโนนดเพื่อบ้านด้วยค่าใกล้สูญย์กางที่สุด (Best-Matching Unit : BMU) ที่ได้ โดยปรับค่าให้เข้าใกล้ Input vector

$$w_{ij} = w_{ij} + \alpha h(w_{\text{winner}}, w_{ij}) \|x_k - w_{ij}\| \quad (2.87)$$

- 5) ทำงานซ้ำไปจนกว่าค่า Weight ของเซลประสาทเทียมเริ่มคงที่

2.4 งานวิจัยที่เกี่ยวข้อง

วีระ ทองไพบูลย์และคณะ [1] ได้นำเสนอการรู้จำโน๊ตเพลง โดยการวัดความถี่เสียงของเครื่องดนตรี 7 ชนิด นำมาเปรียบเทียบกับฐานข้อมูลความถี่ เพื่อจำแนกเป็นโน๊ตแต่ละเสียง และหาลักษณะเด่นของเสียงแต่ละเครื่องดนตรี โดยใช้ลักษณะเด่นของเสียงดนตรี จำนวน 12, 15 และ 17 จุด และใช้โครงข่ายประสาทเทียมคัดแยกชนิดเครื่องดนตรีมีผลความถูกต้อง ร้อยละ 84, 85 และ 87 ตามลำดับ

วณิชกร พงศ์ทศนา และ ฐิตาพร เพชรแก้ว [3] ได้ใช้การคัดคุณลักษณะเด่นของเสียง ด้วยเทคนิคสัมประสิทธิ์การประมาณพัฒนาเชิงเส้น (Linear Prediction Coefficients, LPC) กับเสียงดนตรีไทยที่บรรเลงด้วยจะเข้ และให้รู้จำเสียง (Voice Recognition) ด้วย Support Vector Machine ช่วยในการรู้จำโน๊ตเพลง ได้ผลความถูกต้องร้อยละ 99.51

โอกาส แก้วต่าย [23] ได้จำแนกกลุ่มเพลงไทยเดิม โดยใช้วิธีการคัดค่าคุณลักษณะเด่นของเสียงด้วยเทคนิค Mel-frequency cepstral coefficients (MFCC) ร่วมกับค่าพลังงานスペกตรัม (Power Spectrum) ที่ขนาดอัตราการสูมตัวอย่างเสียงเท่ากับ 512 มีความยาวของข้อมูลเสียง 20 วินาที และจำแนกกลุ่มเพลงไทยเดิม ด้วย Support Vector Machine(SVM) และ k-Nearst Neighbor (k-NN) ได้ผลความถูกต้องร้อยละ 86.16 และ 83.12 ตามลำดับ

S. Gunasekaran และ K. Revathy [9] ได้ประยุกต์ใช้วิธี fractal geometry ซึ่งมีคุณสมบัติโดยรวมของ spectral perceptual และ temporal กับเสียงดนตรีที่บรรเลงด้วยเครื่องดนตรีจากประเทศอินเดียที่แตกต่างกัน 10 ชนิด แล้วทำการเรียนรู้จำด้วย k-Nearst Neighbor (k-NN) และ Multilayer Perceptron มีความถูกต้องร้อยละ 89.7

บทที่ 3

วิธีดำเนินการวิจัย

สำหรับการดำเนินการวิจัยในการจำแนกข้อมูลเสียงเครื่องคนตระไทย มีวิธีการดำเนินการ และขั้นตอนในการดำเนินการวิจัย ดังนี้

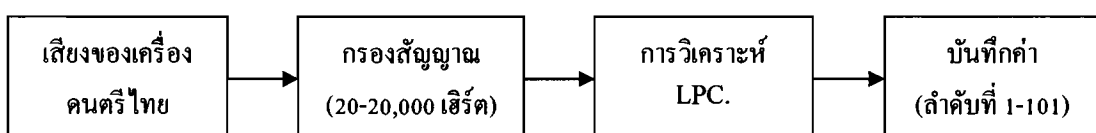
3.1 การเตรียมข้อมูล

3.1.1 ขั้นตอนการจัดเตรียมข้อมูลเสียง

ข้อมูลเสียงของเครื่องคนตระไทยที่ใช้ในการวิจัยนี้ ใช้เสียงของเครื่องคนตระไทย ที่บันทึกด้วยอัตราการสุ่มตัวอย่างเสียง (Sampling Rate) 44,100 เฮิรตซ์ ความละเอียดข้อมูล 16 บิต [2] ประกอบด้วย เสียง โคล เร มี พ่า ชอล ลา ที โดยใช้เสียงจากเครื่องคนตระ 4 ประเภท ได้แก่ คิ สี ตี เป่า อย่างละ 2 ชนิดฯ ละ 7 เสียง ซึ่งในการทดลองจะแบ่งข้อมูลออกเป็น 2 กลุ่ม คือกลุ่มแรกเป็นข้อมูลเสียงของเครื่องคนตระไทย เพื่อใช้ในการรู้จำหรือฝึกสอน ชนิดละ 70 ข้อมูลเสียง รวมเป็น 560 ข้อมูลเสียง และกลุ่มที่สองเป็นข้อมูลเสียงของเครื่องคนตระไทย เพื่อใช้ในการทดลองจำแนกหรือทดสอบ ชนิดเครื่องคนตระไทยชนิดละ 350 ข้อมูลเสียง รวมเป็น 2,800 ข้อมูลเสียง ซึ่งรวมข้อมูลเสียงที่ใช้ในการวิจัยทั้งสิ้นจำนวน 3,600 ตัวอย่าง

3.1.2 การสกัดคุณลักษณะเด่นของเสียงคนตระ

ในการวิจัยข้อมูลเสียง จะต้องปรับปรุงข้อมูลให้เหมาะสมกับการนำไปใช้ในกระบวนการ การประมวลผล ซึ่งผู้วิจัยเลือกใช้การสกัดคุณลักษณะเด่นของเสียงคนตระ ด้วยวิธีการประมาณพัฒะเชิงเส้น (Linear Prediction Coefficients, LPC) โดยมีขั้นตอน ดังนี้



ภาพที่ 3.1 การสกัดคุณลักษณะเด่นของเสียงคนตระ

การสกัดคุณลักษณะเด่นของเสียงด้วยวิธีการประมาณพัฒะเชิงเส้น (Linear Prediction Coefficients, LPC) มีดังแสดงในภาพที่ 3.1 มีลำดับขั้นตอนโดยนำไฟล์ข้อมูลเสียงที่

บันทึกไว้ตามขั้นตอนการเตรียมข้อมูลเสียงที่อธิบายไว้ก่อนแล้ว มาด้วยช่วงความถี่เสียงค่าวิธีกรองความถี่ต่ำผ่าน(Low pass Filter) เพื่อขัดช่วงความถี่อื่นที่อาจรบกวนการทดลอง ซึ่งจะได้ผลลัพธ์เป็นความถี่เสียงในช่วงที่มนุษย์ได้ยิน คือ 20-20,000 เฮิรต [16] และเข้าสู่กระบวนการกำหนดค่าของสัญญาณเสียง การวิเคราะห์อัตโนมัติสัมพันธ์ และการวิเคราะห์ LPC ตามลำดับ โดยอธิบายขั้นตอนกระบวนการสกัดคุณลักษณะเด่น ได้ดังนี้

- 1) อ่านไฟล์ข้อมูลเสียงที่จัดเตรียมไว้
- 2) กรองข้อมูลเสียง เพื่อให้ได้ช่วงความกว้างของเสียงเฉพาะในส่วนที่ต้องการ และเป็นการลดสัญญาณรบกวน โดยในการวิจัยนี้ ใช้วิธีการกรองความถี่ต่ำผ่าน (Low pass Filter) ที่ความถี่ในช่วงที่มนุษย์ได้ยิน คือ 20-20,000 เฮิรต
- 3) คำนวณค่าของสัญญาณเสียง
- 4) แบ่งสัญญาณเสียงออกเป็นเฟรม 10 เฟรม โดยกำหนดขอบของแต่ละเฟรมเป็น 10 20 30 40 50 60 70 80 90 100 และกำหนดค่า order ของเทคนิคสัมประสิทธิ์การประมาณ พันธะเชิงเส้น เท่ากับ 100 เพื่อให้การจำแนกข้อมูลถูกต้องมากที่สุด
- 5) แปลงค่าของสัญญาณเสียงแล้วเก็บค่าไว้
- 6) ทำขั้นตอนที่ 2 ถึง 5 จนครบ 10 เฟรม
- 7) นำค่าที่ได้จากขั้นตอนที่ 1 ถึง 6 มารวมเป็นข้อมูลในการทดลอง

3.1.3 ตัวอย่างข้อมูลที่ใช้ในการทดลอง

ตารางที่ 3.1 ตัวอย่างข้อมูลที่ผ่านกระบวนการสกัดคุณลักษณะเด่น

ค่าหารามิเตอร์ ลำดับที่ 1 ถึง 101							
1	2	3	4.....98	99	100	101	เอ้าท์พุท
1	-1.944781	2.067351		-0.208362	0.099189	-0.039915	ja kea
1	-1.447491	0.611589		-0.153651	0.098353	-0.004021	ja kea
1	-1.010000	0.001470		-0.000961	0.000632	0.039100	pin pea song Sai
1	-1.170000	0.026800		0.014000	0.009810	-0.024600	pin pea song Sai
1	-1.230000	0.159000		0.074000	0.029300	-0.056500	pi nai
1	-1.740000	0.931000		0.066300	0.060400	-0.016400	pi nai
1	-2.090000	2.610000		0.164000	-0.249000	0.233000	kim
1	-1.690000	1.280000		-0.000450	-0.079400	0.110000	kim
1	-1.020000	0.007570		-0.001200	-0.001060	0.023900	saw sam sai
1	-0.995000	0.004700		0.001910	0.001680	0.027000	saw sam sai
1	-1.050000	0.014800		-0.009670	-0.029400	0.043800	saw uo
1	-1.060000	0.009570		0.007310	-0.009420	0.014700	saw uo

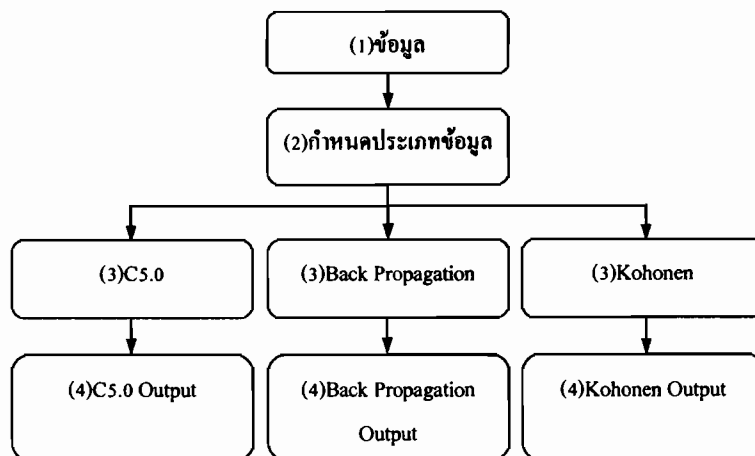
ตารางที่ 3.1 ตัวอย่างข้อมูลที่ผ่านกระบวนการสกัดคุณลักษณะเด่น (ต่อ)

ค่าพารามิเตอร์ ลำดับที่ 1 จีง 101							
1	2	3	4.....98	99	100	101	ເອາຫຼນຸກ
1	-1.500000	0.233000		-0.021800	-0.024500	0.025900	pi noak
1	-1.630000	0.322000		-0.026700	-0.036700	0.051100	pi noak
1	-1.030000	0.007430		-0.003290	-0.000109	0.033300	ra nat tum
1	-1.020000	0.007420		-0.003020	0.001240	0.030900	ra nat tum

3.2 ขั้นตอนการรู้จำเสียงคนตระ

3.2.1 การรู้จำของขั้นตอนวิธี

ในกระบวนการสกัดคุณลักษณะเด่นของเสียงคนตระ ด้วยวิธีการประมาณพันธะเชิงเส้น (Linear Prediction Coefficients, LPC) นั้น เสียงคนตระ 1 เสียง จะได้ข้อมูลจำนวน 10 ตัวอย่างๆ ละ 101 พารามิเตอร์ ซึ่งในกระบวนการรู้จำจะใช้ข้อมูลในกลุ่มแรก จำนวน 56 เสียง จึงมีข้อมูลทั้งสิ้น 560 ตัวอย่าง โดยมีขั้นตอนในกระบวนการรู้จำ ดังนี้

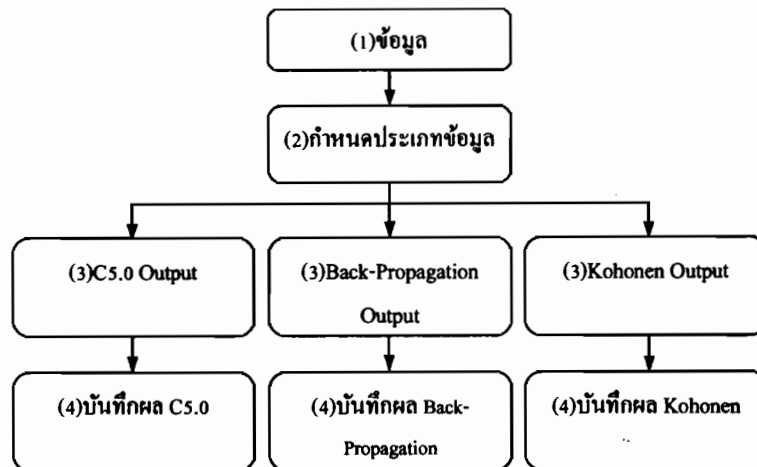


ภาพที่ 3.2 การสอนระบบรู้จำเสียงของเครื่องคนตระไทยด้วยขั้นตอนวิธี

จากภาพ 3.2 การสอนระบบรู้จำเสียงของเครื่องคนตระไทยด้วยขั้นตอนวิธีมีลำดับกระบวนการ คือ

- (1) นำเข้าข้อมูลสำหรับการสอนระบบรู้จำเสียงของเครื่องคนตระไทย

- (2) กำหนดประเภทของข้อมูล ให้สัมพันธ์กับขั้นตอนวิธีที่ใช้ในกระบวนการ
รู้จำ
- (3) ประมวลผลด้วยขั้นตอนวิธี โดยปรับแต่งค่าพารามิเตอร์ต่างๆ ให้ได้ผลลัพธ์
(Output) ที่ถูกต้องมากที่สุด
- (4) เก็บค่าผลลัพธ์ (Output) ที่ได้จากข้อ 3 เพื่อใช้ในกระบวนการจำแนกเสียง
ของเครื่องคนตระไทย



ภาพที่ 3.3 การจำแนกเสียงของเครื่องคนตระไทยด้วยขั้นตอนวิธี(ข้อมูลชุดทดสอบระบบบูรณา)

จากภาพที่ 3.3 การจำแนกเสียงของเครื่องคนตระไทยด้วยขั้นตอนวิธี สำหรับ
ข้อมูลชุดทดสอบบูรณา มีลำดับกระบวนการ คือ

- (1) นำเข้าข้อมูลชุดทดสอบบูรณาเพื่อเสียงของเครื่องคนตระไทย
- (2) กำหนดประเภทของข้อมูล ให้สัมพันธ์กับขั้นตอนวิธีที่ใช้ในกระบวนการ
รู้จำ
- (3) ประมวลผลด้วยค่าผลลัพธ์ (Output) ของขั้นตอนวิธีที่ได้จากการสอนระบบ
รู้จำเสียง จากภาพที่ 3.2 (ขั้นตอนที่ 4)
- (4) บันทึกผลลัพธ์ (Output) ที่ได้จากข้อ 3 เพื่อใช้ในวิเคราะห์ต่อไป

3.2.2 ผลลัพธ์การรู้จำของขั้นตอนวิธี

ในการปรับแต่งค่าพารามิเตอร์ของแต่ละขั้นตอนวิธีจะให้ผลลัพธ์ที่แตกต่างกัน ซึ่งในการ
วิจัยจะปรับแต่งค่าพารามิเตอร์ของแต่ละขั้นตอนวิธีจนได้ค่าที่ให้ผลลัพธ์การรู้จำที่ถูกต้องมากที่สุด
ซึ่งได้ผลลัพธ์การปรับแต่งค่าของแต่ละขั้นตอนวิธีดังนี้

ตารางที่ 3.2 ค่าพารามิเตอร์ของขั้นตอนวิธี C5.0

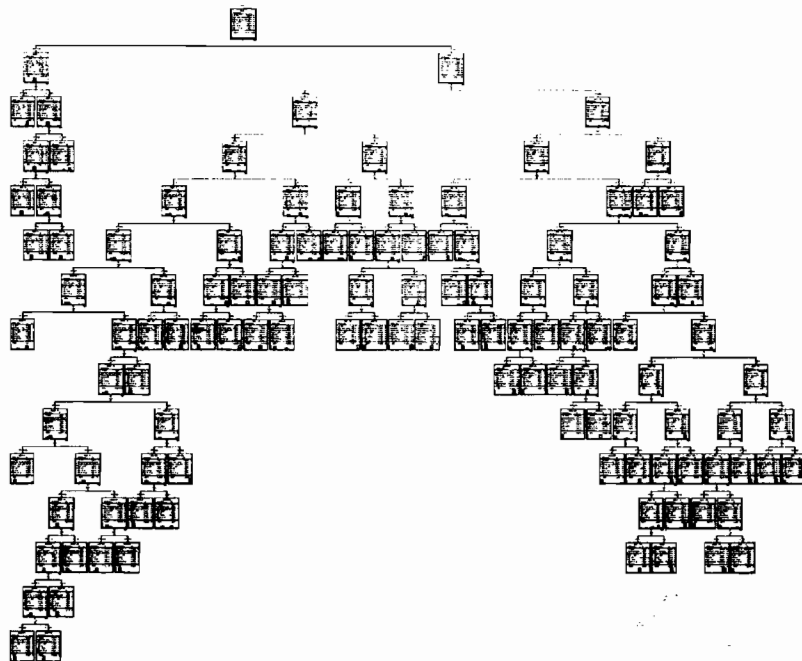
Use boosting	Cross-validate	Correct (%)
2	10	92.68
4	10	98.93
6	10	98.93
8	10	99.64
10	10	99.82
12	10	99.82
14	10	99.82
16	10	100
18	10	99.82
20	10	99.8
10	2	99.64
10	4	99.64
10	6	99.64
10	8	99.64
10	12	99.64
15	15	99.82
20	20	99.82

การปรับค่าพารามิเตอร์ของขั้นตอนวิธี C5.0 ดังแสดงในตารางที่ 3.2 พิจารณาค่าพารามิเตอร์ที่พัฒนาจากขั้นตอนวิธี C4.5 คือ boosting และค่า Cross-validate ซึ่งมีส่วนสำคัญในการใช้แบ่งกลุ่มข้อมูลสำหรับการทดสอบ โดยช่วงแรกจะทำการปรับค่า boosting ตั้งแต่ 2 ถึง 20 และตั้งค่า Cross-validate เท่ากับ 10 จากนั้น จึงทดลองปรับค่าในส่วนอื่น เช่น Cross-validate เพื่อขึ้นยันความถูกต้องค่าพารามิเตอร์ พบว่าเมื่อปรับแต่งค่า boosting เท่ากับ 16, ค่า Cross-validate เท่ากับ 10 จะได้ค่าความถูกต้องมากที่สุดคือได้ค่าความถูกต้องในการรู้จำ 100 %

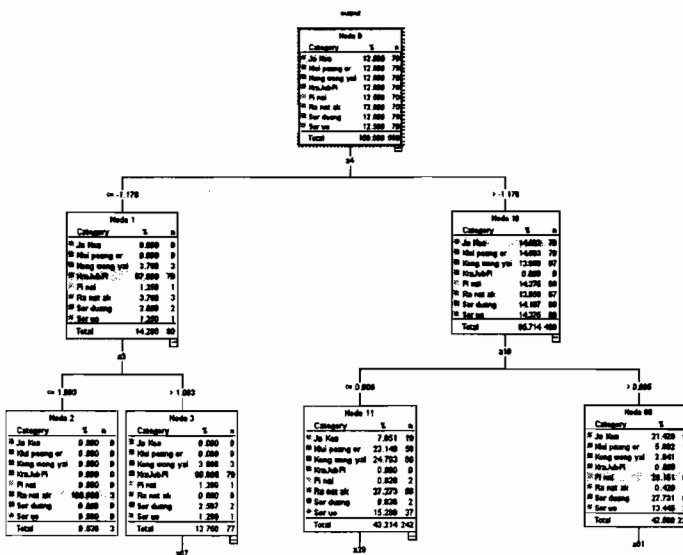
ตารางที่ 3.3 ตัวอย่างผลลัพธ์ของขั้นตอนวิธี C5.0

1	2	3	4.....98	99	100	101	ค่าเป้าหมาย	ค่าเอาท์พุท
1	-2.0192	0.9408		0.0051	-0.0351	-0.0068	Klui peang or	Klui peang or
1	-1.2915	0.1226		0.0286	-0.0252	-4.76E-04	Klui peang or	Klui peang or
1	-1.0796	-0.00506		-0.0017	0.0682	-0.0393	Pi nai	Pi nai
1	-2.4319	1.6567		-0.0224	0.0257	-0.0049	Pi nai	Pi nai
1	-2.4592	1.7517		-0.0121	0.0431	-0.0229	Pi nai	Pi nai
1	-2.3029	1.4345		0.0029	0.0453	-0.0283	Pi nai	Pi nai
1	-2.6433	2.2115		0.0255	0.0604	-0.0310	Pi nai	Pi nai
1	-2.7739	2.3863		0.0348	0.0674	-0.0408	Pi nai	Pi nai
1	-2.5990	2.1090		0.0036	0.0020	-0.0155	Pi nai	Pi nai
1	-1.9749	1.0121		-0.0347	0.1103	-0.0385	Pi nai	Pi nai
1	-2.0021	0.8219		-0.0278	-0.0479	0.0596	Pi nai	Pi nai
1	-1.8356	0.6549		0.1106	-0.0388	0.0063	Pi nai	Pi nai
1	-2.7184	2.2814		-0.0044	-0.0631	0.0463	Pi nai	Pi nai
1	-1.8681	0.7496		-0.0079	-0.0954	0.0600	Pi nai	Pi nai
1	-2.2342	1.3885		0.0785	-0.2659	0.1431	Pi nai	Pi nai
1	-2.4830	1.9292		0.0301	-0.1919	0.1275	Pi nai	Pi nai

การวิเคราะห์ค่าความถูกต้องของข้อมูลที่ใช้ในการรู้จำหรือการสอน ดังแสดงในตารางที่ 3.3 สามารถพิจารณาเปรียบเทียบจากค่าอินพุตและค่าเอาท์พุท โดยค่าอินพุต คือข้อมูลชนิดของเครื่องคนตระไทรที่นำเข้าสู่ขั้นตอนวิธี และค่าเอาท์พุทเป็นผลลัพธ์ชนิดของเครื่องคนตระไทรที่ได้จากขั้นตอนวิธี ซึ่งจากตาราง 3.8 แสดงว่าไม่มีค่าความผิดพลาดของขั้นตอนวิธี C5.0



ภาพที่ 3.4 ภาพต้นไม้ตัดสินใจที่ได้จากขั้นตอนวิธี C5.0



ภาพที่ 3.5 ตัวอย่างโหนดรากของต้นไม้ตัดสินใจที่ได้จากขั้นตอนวิธี C5.0

จากภาพที่ 3.4 เป็นภาพต้นไม้ตัดสินใจที่ได้จากขั้นตอนวิธี C5.0 โดยเมื่อพิจารณาในรายละเอียด ดังภาพที่ 3.5 เป็นตัวอย่างของการสร้างต้นไม้ตัดสินใจ โดยเริ่มต้นจากการเลือกแอดทริบิวต์ที่คีที่สูงมาสร้างเป็นโหนดราก คือโหนด 0 แล้วแบ่งแยกค่าแอดทริบิวต์ค่วยค่า ≤ -1.178

ออกเป็นโหนคลูก คือ โหนค 1 และด้วยค่า ≥ -1.178 เป็นโหนคลูกอีกหนึ่งโหนค คือ โหนค 10 และทำซ้ำต่อไปเรื่อยๆ

สำหรับการปรับค่าพารามิเตอร์ในขั้นตอนวิธีการเรียนรู้แบบแพร์ย้อนกลับ ในการทดลองจะพิจารณาจำนวนโหนคในชั้นช่อง ซึ่งมีผลต่อค่าความถูกต้องแม่นยำของขั้นตอนวิธีการเรียนรู้แบบแพร์ย้อนกลับดังที่ได้อธิบายไว้ก่อนแล้ว

ตารางที่ 3.4 ค่าพารามิเตอร์ของขั้นตอนวิธีการเรียนรู้แบบแพร์ย้อนกลับ

ชั้นช่องที่ 1

ชั้นช่องที่1	ชั้นช่องที่2	ชั้นช่องที่3	ค่าความถูกต้อง
5	0	0	51.69
10	0	0	71.79
15	0	0	60.71
20	0	0	65.18
25	0	0	63.21
30	0	0	74.46
35	0	0	74.82
40	0	0	75
45	0	0	74.11
50	0	0	77.86
55	0	0	77.5
60	0	0	71.07
65	0	0	77.32
70	0	0	77.86
75	0	0	75.71
80	0	0	72.68
85	0	0	78.21
90	0	0	79.86
95	0	0	78.04

ตารางที่ 3.4 ค่าพารามิเตอร์ของขั้นตอนวิธีการเรียนรู้แบบแพร่ย้อนกลับ
ชั้นช่อนที่ 1 (ต่อ)

ชั้นช่อนที่1	ชั้นช่อนที่2	ชั้นช่อนที่3	ค่าความถูกต้อง
100	0	0	75.89
105	0	0	75.54

การปรับค่าพารามิเตอร์ของขั้นตอนวิธี

จากตารางที่ 3.4 แสดงการปรับตั้งค่าพารามิเตอร์ของโครงข่ายประสาทเทียมแบบแพร่ย้อนกลับ ในชั้นช่อนที่ 1 ซึ่งได้ค่าความถูกต้องที่ดีที่สุด คือ 79.86% ที่โหนดเท่ากับ 90 จากนั้น จึงทำการปรับค่าโหนดละเลอีกด้วยช่วง 86 ถึง 89 และ 91 ถึง 94 แสดงตามตารางที่ 3.4 พบว่าที่โหนดเท่ากับ 87 ได้ค่าความถูกต้องที่ดีที่สุด คือ 80.18 %

ตารางที่ 3.5 ค่าพารามิเตอร์ของโครงข่ายประสาทเทียมแบบแพร่ย้อนกลับ
ชั้นช่อนที่ 1 อย่างละเลอีกด

ชั้นช่อนที่1	ชั้นช่อนที่2	ชั้นช่อนที่3	ค่าความถูกต้อง
86	0	0	74.29
87	0	0	80.18
88	0	0	79.86
89	0	0	75.71
91	0	0	75.89
92	0	0	74.29
93	0	0	75.36
94	0	0	77.32

**ตารางที่ 3.6 ค่าพารามิเตอร์ของโครงข่ายประสาทเทียมแบบแพร์เซ็นกลับ
ชั้นช่อนที่ 2**

ชั้นช่อนที่ 1	ชั้นช่อนที่ 2	ชั้นช่อนที่ 3	ค่าความถูกต้อง
87	5	0	63.57
87	10	0	66.79
87	15	0	75.64
87	20	0	77.86
87	25	0	79.46
87	30	0	82.86
87	35	0	85
87	40	0	79.82
87	45	0	86.07
87	50	0	82.32
87	55	0	79.82
87	60	0	87.5
87	65	0	80.36
87	70	0	82.32
87	75	0	86.61
87	80	0	85.36
87	85	0	86.43
87	90	0	88.21
87	95	0	86.25
87	100	0	82.32

ตารางที่ 3.6 แสดงการปรับตั้งค่าพารามิเตอร์ของโครงข่ายประสาทเทียมแบบแพร์เซ็นกลับ ในชั้นช่อนที่ 2 โดย ตั้งค่าโหนดของชั้นช่อนที่ 1 คงที่ไว้ที่ 87 โดยในชั้นช่อนที่ 2 ได้ค่าความถูกต้องที่ดีที่สุด คือ 88.21% ที่โหนดเท่ากับ 90 จากนั้นจึงทำการปรับค่าโหนดละเอียดในช่วง

86 ถึง 89 และ 91 ถึง 94 แสดงตามตารางที่ 3.66 พนวจที่โหนดเท่ากับ 93 ได้ค่าความถูกต้องที่ดีที่สุด คือ 90.54 %

ตารางที่ 3.7 ค่าพารามิเตอร์ของโครงข่ายประสาทเทียนแบบแพร์เซ็นกลับชั้นช่องที่ 2 อายุงະເອີຍດ

ชั้นช่องที่1	ชั้นช่องที่2	ชั้นช่องที่3	ค่าความถูกต้อง
87	86	0	86.25
87	87	0	86.25
87	88	0	84.64
87	89	0	83.21
87	91	0	83.57
87	92	0	85.89
87	93	0	90.54
87	94	0	86.07

ตารางที่ 3.8 ค่าพารามิเตอร์ของโครงข่ายประสาทเทียนแบบแพร์เซ็นกลับชั้นช่องที่ 3

ชั้นช่องที่1	ชั้นช่องที่2	ชั้นช่องที่3	ค่าความถูกต้อง
87	93	5	30.18
87	93	10	61.25
87	93	15	67.32
87	93	20	70.36
87	93	25	82.32
87	93	30	81.61
87	93	35	83.04
87	93	40	82.14
87	93	45	80.54

ตารางที่ 3.8 ค่าพารามิเตอร์ของโครงข่ายประสาทเทียนแบบแพร์ช้อนกลับ
ชั้นช่องที่ 3 (ต่อ)

ชั้นช่องที่1	ชั้นช่องที่2	ชั้นช่องที่3	ค่าความถูกต้อง
87	93	50	83.57
87	93	55	83.39
87	93	60	83.75
87	93	65	85.18
87	93	70	86.79
87	93	75	87.32
87	93	80	82.52
87	93	85	79.64
87	93	90	88.57
87	93	95	90.54
87	93	100	76.79

ตารางที่ 3.8 แสดงการปรับตั้งค่าพารามิเตอร์ของโครงข่ายประสาทเทียนแบบแพร์ช้อน- กลับ ในชั้นช่องที่ 3 โดยตั้งค่าโหนดของชั้นช่องที่ 1 เท่ากับ 87 และชั้นช่องที่ 2 เท่ากับ 93 พบว่าในชั้นช่องที่ 3 ได้ค่าความถูกต้องที่ดีที่สุด คือ 90.54% ที่โหนดเท่ากับ 95 จากนั้นจึงทำการปรับค่าโหนคละเอียดในช่วง 91 ถึง 94 และ 96 ถึง 99 และตามตารางที่ 3.8 พบว่า ไม่มีค่าโหนดที่ให้ค่าความถูกต้องมากกว่า 90.54% ที่โหนดเท่ากับ 95

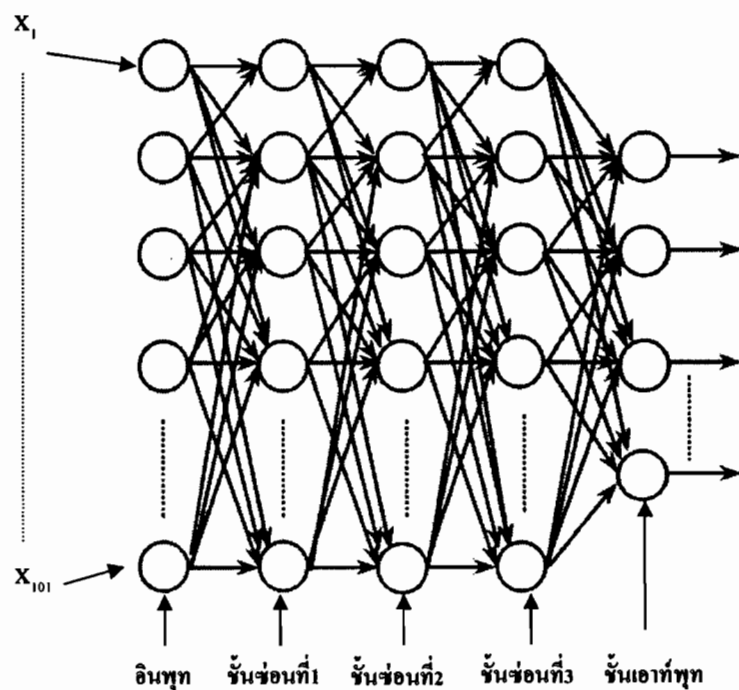
ตารางที่ 3.9 ค่าพารามิเตอร์ของโครงข่ายประสาทเทียนแบบแพร์ช้อนกลับ
ชั้นช่องที่ 3 อย่างละเอียด

ชั้นช่องที่1	ชั้นช่องที่2	ชั้นช่องที่3	ค่าเออท์พุท
87	93	91	86.61
87	93	92	82.32
87	93	93	81.43

ตารางที่ 3.9 ค่าพารามิเตอร์ของโครงข่ายประสาทเทียมแบบแพร่ย้อนกลับ
ชั้นช่องที่ 3 อย่างละเอียด (ต่อ)

ชั้นช่องที่ 1	ชั้นช่องที่ 2	ชั้นช่องที่ 3	ค่าเอาท์พุท
87	93	94	83.21
87	93	96	88.21
87	93	97	81.07
87	93	98	84.46
87	93	99	87.14

จากการปรับค่าพารามิเตอร์ของโครงข่ายประสาทเทียมแบบแพร่ย้อนกลับ ได้ค่าปรับแต่งค่าโนนคในชั้นช่องทั้ง 3 คือ ชั้นช่องที่ 1 เท่ากับ 87, ชั้นช่องที่ 2 เท่ากับ 93, ชั้นช่องที่ 3 เท่ากับ 95 ได้ท่าความถูกต้องในการเรียนรู้ขึ้น 90.54 %



ภาพที่ 3.6 ภาพโครงข่ายประสาทเทียมแบบแพร่ย้อนกลับ

ภาพที่ 3.5 แสดงโครงข่ายประสาทเทียมที่ได้จากการค่าพารามิเตอร์ซึ่งปรับแต่งค่าโอนดในชั้นช่อนที่ 1 เท่ากับ 87, ชั้นช่อนที่ 2 เท่ากับ 93, ชั้นช่อนที่ 3 เท่ากับ 95 โดยมีจำนวนเอ้าท์พุทเท่ากับจำนวนเครื่องคนตระไทย คือ 8 ชนิด

ตารางที่ 3.10 ตัวอย่างผลลัพธ์ของขั้นตอนวิธีแบบแพร่ข้อนกลับ

1	2	3	4.....98	99	100	101	ค่าป้าหมาย	ค่าเอ้าท์พุท
1	-2.0213	0.9731		0.03800	0.0134	-0.0210	Ja Kea	Ja Kea
1	-1.9068	0.8942		0.0238	0.0399	-0.0480	Ja Kea	Ja Kea
1	-2.4481	2.0922		-0.0305	0.0947	-0.0523	Ja Kea	Ja Kea
1	-1.7272	0.6806		0.0084	0.0075	2.6279	Ja Kea	Ja Kea
1	-1.9629	1.0148		0.0138	0.0452	-0.0405	Ja Kea	Ja Kea
1	-1.7483	0.5985		0.0058	0.0035	-0.0047	Ja Kea	Ja Kea
1	-1.782	0.6458		0.01200	0.0031	-0.0082	Ja Kea	Ja Kea
1	-1.5696	0.4234		0.0020	0.0108	-0.0081	Ja Kea	Ja Kea
1	-1.6371	0.5229		-0.00019	0.0156	0.0012	Ja Kea	Ja Kea
1	-1.5328	0.3452		-0.0049	-0.00052	0.0162	Ja Kea	Ja Kea
1	-1.3703	0.3587		0.0035	-6.8051	0.0287	Ja Kea	Ja Kea
1	-2.1977	1.2926		0.0122	0.0279	-0.0455	Ja Kea*	Pi nai*
1	-1.4338	0.3535		0.0093	0.0122	-0.0160	Ja Kea	Ja Kea
1	-1.8795	0.8621		-0.0055	0.0119	-0.0082	Ja Kea	Ja Kea
1	-1.6060	0.4478		0.0084	0.0124	-0.0270	Ja Kea	Ja Kea
1	-2.0443	1.0365		0.0145	0.0396	-0.0482	Ja Kea*	Pi nai*

ในการวิเคราะห์ค่าความถูกต้องของข้อมูลที่ใช้ในการรู้จำหรือการสอน ดังแสดงในตารางที่ 3.10 สามารถพิจารณาเปรียบเทียบจากค่าอินพุทและค่าเอ้าท์พุท โดยค่าอินพุท คือข้อมูลชนิดของเครื่องคนตระไทยที่นำเข้าสู่ขั้นตอนวิธี และค่าเอ้าท์พุทเป็นผลลัพธ์ชนิดของเครื่องคนตระไทย ที่ได้จากขั้นตอนวิธี ซึ่งจากตาราง 3.10 จะมีค่าความผิดพลาดอยู่ 2 ค่า

ตารางที่ 3.11 ค่าพารามิเตอร์ของโครงข่ายประสาทเทียมก่อตัวด้วยตน葱ของโคโซเนน

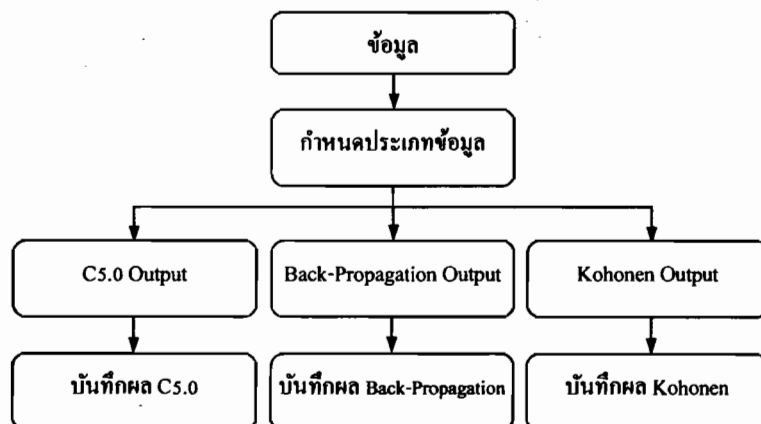
random seed	Cluster								ค่าเบี่ยงเบนมาตรฐาน
	1	2	3	4	5	6	7	8	
5	50	27	29	96	81	68	68	141	37.37
10	57	39	36	89	81	65	62	131	30.65
15	133	64	72	75	97	28	38	53	33.47
20	54	28	30	92	84	69	64	139	36.05
25	139	58	66	80	82	30	48	57	32.55
30	51	24	42	84	79	73	77	130	32.06
35	48	26	36	97	75	69	77	132	34.28
40	127	80	66	79	97	38	25	48	33.18
45	55	40	31	99	84	56	54	141	36.21
50	137	68	70	77	87	26	43	52	33.42
55	125	79	68	80	90	43	26	49	30.97
60	48	22	35	101	80	67	70	137	36.98
65	52	27	28	99	82	69	56	147	39.73
70	55	40	30	88	79	65	60	143	35.02
75	53	32	28	102	76	73	60	136	35.90
80	125	74	64	82	105	38	24	48	33.95
85	119	71	66	81	99	47	22	55	30.33
90	126	83	61	81	93	44	18	54	33.11
95	46	25	37	90	78	67	80	137	35.36
100	52	22	36	100	77	67	76	130	34.60
150	50	37	23	99	82	69	60	140	37.19

ตารางที่ 3.11 แสดงการปรับค่าพารามิเตอร์โครงข่ายประสาทเทียมก่อตัวด้วยตน葱ของโคโซเนน โดยในการทดลองได้จำกัดการแสดงผลให้เป็น 8 กลุ่มตามประเภทข้อมูล และ

ปรับค่า random seed ให้แสดงผลในการจัดกลุ่มให้ชัดเจน โดยใช้ค่าเบี่ยงเบนมาตรฐานเป็นเกณฑ์ ก่าว่าวคือ ถ้าข้อมูลของแต่ละกลุ่มมีค่าไกล์เคียงค่าเฉลี่ยมาก ค่าเบี่ยงเบนมาตรฐานจะมีค่าน้อย หรือ ในทางตรงกันข้าม ถ้าข้อมูลของแต่ละกลุ่มแตกต่างจากค่าเฉลี่ยมาก ค่าเบี่ยงเบนมาตรฐานก็จะมีค่ามาก ซึ่งจากตารางที่ 3.11 เมื่อกำหนดค่า random seed เท่ากับ 85 จะได้ค่าเบี่ยงเบนมาตรฐานน้อยที่สุด คือ 30.33

3.3 ขั้นตอนการจำแนกเสียงคนตระ

การจำแนกเสียงคนตระ จะใช้ข้อมูลเสียง จำนวน 350 เสียง จึงมีข้อมูลทั้งสิ้น 2,800 ตัวอย่าง โดยมีขั้นตอนในกระบวนการ ดังนี้



ภาพที่ 3.7 การจำแนกเสียงของเครื่องคนตระไทยด้วยขั้นตอนวิธี

จากภาพที่ 3.5 การจำแนกเสียงของเครื่องคนตระไทยด้วยขั้นตอนวิธี มีลำดับกระบวนการ คือ

- (1) นำเข้าข้อมูลจริงในการจำแนกเสียงของเครื่องคนตระไทย
- (2) กำหนดประเภทของข้อมูล ให้สัมพันธ์กับขั้นตอนวิธีที่ใช้ในกระบวนการรู้จำ
- (3) ประมวลผลค่าค่าผลลัพธ์ (Output) ของขั้นตอนวิธี ด้วยพารามิเตอร์ที่ได้จากการรู้จำ
- (4) บันทึกผลลัพธ์ (Output) ที่ได้จากข้อ 3 เพื่อใช้ในวิเคราะห์และเปรียบเทียบต่อไป

บทที่ 4

วิเคราะห์ผลการทดสอบ

จากการวิเคราะห์การรู้จำและการจำแนกเสียงคนตระไทย ดังรายละเอียดในขั้นตอนการดำเนินการวิจัย โดยจะนำผลลัพธ์ในการจำแนกเสียงคนตระไทยของแต่ละขั้นตอนวิธีมาเปรียบเทียบประสิทธิภาพด้วยค่าความถูกต้อง โดยพิจารณาค่าผลลัพธ์ในลักษณะ Confusion Matrix ซึ่งอธิบายได้ดังนี้

ให้ a, d คือจำนวนข้อมูลที่มีในการทำนายถูก

และ ให้ b, c คือ จำนวนข้อมูลที่มีในการทำนายผิด

โดยการหาค่าความถูกต้องรวม ซึ่งแสดงด้วย Confusion Matrix ตามในตารางที่ 4.1 สามารถคำนวณได้จาก $((a+d)/(b+d)) \times 100$

ตารางที่ 4.1 ลักษณะการแสดงผลการวิเคราะห์ผลด้วย Confusion Matrix

		PREDICTED CLASS	
ACTUAL CLASS		Class=Yes	Class>No
	Class=Yes	a	b
	Class>No	c	d

4.1 ผลการจำแนกเสียงคนตระไทย

4.1.1 ผลการจำแนกเสียงคนตระไทยด้วยขั้นตอนวิธี C5.0

ในขั้นตอนการปรับแต่งค่าพารามิเตอร์เพื่อให้กระบวนการเรียนรู้จำคัวขั้นตอนวิธี C5.0 ได้ค่าความถูกต้องมากที่สุด ได้ทำการปรับแต่ง คือ Boosting และ Cross-validate 10 และนำมาใช้ในขั้นตอนการจำแนกเสียงคนตระ ได้ผลลัพธ์ ดังนี้

ตารางที่ 4.2 ผลการจำแนกเสียงคนตระไทยด้วยขั้นตอนวิธี C5.0

เครื่องคนตระ	จะเข้า	บลุ่ยเพียงพอ	ษ้องวงศ์	กระจับปี่	ปีน	ระนาดเอก	ซอตัวง	ซอสู่
จะเข้า	250	14	2	3	22	29	17	13
บลุ่ยเพียงพอ	25	233	25	3	12	49	1	2
ษ้องวงศ์	2	43	266	12	8	17	0	2
กระจับปี่	2	1	0	329	3	14	1	0
ปีน	21	4	3	7	282	1	25	7
ระนาดเอก	2	9	10	5	2	307	0	15
ซอตัวง	61	2	3	2	26	0	255	1
ซอสู่	64	8	8	7	8	7	15	233

ขั้นตอนวิธี C5.0 เป็นเทคนิคที่เหมาะสมในการจำแนก มีจุดเด่นด้านความเร็ว การจัดกลุ่มของข้อมูล และให้ค่าความถูกต้องสูง มีผลลัพธ์ดังแสดงในตารางที่ 4.2 การให้ผลลัพธ์ง่ายต่อการวิเคราะห์ โดยให้ค่าถูกต้องในการจำแนกเสียงคนตระไทย เท่ากับ ร้อยละ 76.96 มีเครื่องคนตระที่ให้ค่าความถูกต้องในการจำแนกเสียงอันดับที่ 1 คือ กระจับปี่ เท่ากับ ร้อยละ 94.00 และอันดับที่ 2 คือ ระนาดเอก เท่ากับ ร้อยละ 87.71

4.1.2 ผลการจำแนกเสียงคนตระไทยด้วยขั้นตอนวิธีแบบแพร์ย้อนกลับ

ในขั้นตอนการปรับแต่งค่าเพื่อให้กระบวนการเรียนรู้จำตัวขั้นตอนวิธีแบบแพร์ย้อนกลับ ได้ค่าความถูกต้องที่สุด ได้ค่าการปรับแต่ง คือปรับแต่งค่าพารามิเตอร์ของโหนดในชั้นช่องที่ 1 เท่ากับ 87, ชั้นช่องที่ 2 เท่ากับ 93, ชั้นช่องที่ 3 เท่ากับ 95 และนำมาใช้ในขั้นตอนการจำแนกเสียงคนตระ ได้ผลลัพธ์ดังนี้

ตารางที่ 4.3 ผลการจำแนกเสียงคนตระไทยด้วยขั้นตอนวิธีแบบแพร์ย้อนกลับ

เครื่องคนตระ	จะเข้า	บลุ่ยเพียงพอ	ษ้องวงศ์	กระจับปี่	ปีน	ระนาดเอก	ซอตัวง	ซอสู่
จะเข้า	243	4	4	0	9	11	51	28
บลุ่ยเพียงพอ	24	196	76	1	5	17	24	7
ษ้องวงศ์	28	90	182	9	6	8	11	16
กระจับปี่	6	9	4	301	1	16	5	8
ปีน	54	4	3	1	214	3	53	18
ระนาดเอก	19	13	5	1	0	277	2	33

ตารางที่ 4.3 ผลการจำแนกเสียงคนตระไทยด้วยขั้นตอนวิธีแบบแพร่ข้อนกลับ (ต่อ)

เครื่องคนตระ	จะเข้า	ชุดยเพียงพอ	ม่องวงใหญ่	กระจันปี	ปีใน	ระนาคเอก	ขอตัวง	ขอตู้
ขอตัวง	65	9	7	0	15	0	250	4
ขอตู้	44	7	1	0	5	15	34	244

ขั้นตอนวิธีแบบแพร่ข้อนกลับเป็นเทคนิคที่ให้ผลลัพธ์ที่ง่ายในการวิเคราะห์ ในการวิจัยพบว่าหากต้องการให้ขั้นตอนวิธีให้ผลลัพธ์ที่สูงขึ้น จะต้องใช้เวลาในการประมวลผลมากขึ้น โดยมีผลลัพธ์ดังแสดงในตารางที่ 4.3 โดยให้ค่าถูกต้องในการจำแนกเสียงคนตระไทย เท่ากับ ร้อยละ 68.11 มีเครื่องคนตระที่ให้ค่าความถูกต้องในการจำแนกเสียงอันดับที่ 1 คือ กระจันปี เท่ากับ ร้อยละ 86.00 และอันดับที่ 2 คือ ระนาคเอก เท่ากับ ร้อยละ 79.14

4.1.3 ผลการจำแนกเสียงคนตระไทยด้วยโครงข่ายประสาทเทียมแบบก่อตัวด้วยตนเองของโคโซโนเอน

ในขั้นตอนการปรับแต่งค่าเพื่อให้กระบวนการเรียนรู้จำด้วยโครงข่ายประสาทเทียมแบบก่อตัวด้วยตนเองของโคโซโนเอน ได้ค่าการปรับแต่งค่าพารามิเตอร์ให้แสดงผลลัพธ์ออกเป็น 8 กลุ่ม และเมื่อได้ค่าที่เหมาะสมแล้ว จึงนำมาใช้กับชุดข้อมูลจริง

ตารางที่ 4.4 ผลการจำแนกเสียงคนตระไทยด้วยโครงข่ายประสาทเทียมแบบก่อตัวด้วยตนเองของโคโซโนเอน

เครื่องคนตระ	จะเข้า	ชุดยเพียงพอ	ม่องวงใหญ่	กระจันปี	ปีใน	ระนาคเอก	ขอตัวง	ขอตู้
จะเข้า	80	78	13	4	9	45	66	55
ชุดยเพียงพอ	57	45	2	4	6	84	61	23
ม่องวงใหญ่	49	59	4	13	16	141	41	27
กระจันปี	4	4	33	219	48	11	14	17
ปีใน	18	40	23	30	13	11	67	108
ระนาคเอก	43	21	5	5	8	223	18	17
ขอตัวง	45	105	6	7	16	27	104	40
ขอตู้	49	35	23	8	22	9	84	120

โครงข่ายประชาทเที่ยมแบบก่อตัวด้วยตนเองของโโค โโซเนน เป็นเทคนิคที่ให้ผลลัพธ์ที่แตกต่างจากขั้นตอนวิธีทั้งสองข้างต้น โดยผลลัพธ์ที่ได้จะแสดงเป็นพิกัดแกน x และแกน y ผู้วิจัยได้ปรับคุณสมบัติให้มีการแสดงผลเพียง 8 กลุ่ม เพื่อให้สามารถแบ่งกลุ่มข้อมูลในแต่ละข้อมูล เสียงคนตระไทยให้แสดงผลลัพธ์ได้สอดคล้องกับรูปแบบที่ใช้แสดงผลในขั้นตอนวิธีทั้งสองข้างต้น และสามารถนำมาเปรียบเทียบผลลัพธ์ได้ โครงข่ายประชาทเที่ยมแบบก่อตัวด้วยตนเองของโโค โโซเนน มีผลลัพธ์ดังแสดงในตารางที่ 4.3 โดยให้ค่าถูกต้องในการจำแนกเสียงคนตระไทย เท่ากับร้อยละ 33.07 มีเครื่องคนตระที่ให้ค่าความถูกต้องในการจำแนกเสียงอันดับที่ 1 คือ ระนาดเอก เท่ากับร้อยละ 66.57 และอันดับที่ 2 คือ กระจับปี่ เท่ากับ ร้อยละ 62.57

4.2 วิเคราะห์ผลการจำแนกเสียงคนตระไทย

ในการจำแนกเสียงคนตระไทย พบร่วมกับขั้นตอนวิธี C5.0 ขั้นตอนวิธีแบบแพร่ย้อนกลับให้ผลลัพธ์ ค่าความถูกต้องของเสียง กระจับปี่ และระนาดเอก เป็นอันดับที่ 1 และ 2 ตามลำดับ สำหรับโครงข่ายประชาทเที่ยมแบบก่อตัวด้วยตนเองของโโค โโซเนน ให้ผลลัพธ์ ค่าความถูกต้องของเสียง ระนาด เอก และกระจับปี่ เป็นอันดับที่ 1 และ 2 ตามลำดับ ซึ่งพบว่าในการจำแนกเสียงคนตระด้วยขั้นตอนวิธีทั้ง 3 นี้ ให้ผลลัพธ์ในสองอันดับแรกเป็นเสียงจากเครื่องคนตระเดียวกัน เมื่อพิจารณาจากลักษณะของเสียงที่บันทึกมาให้เป็นข้อมูลในงานวิจัย พบร่วมกับลักษณะทางกายภาพของเครื่องคนตระ แต่ละชนิดมีผลต่อการจำแนก เช่น ระนาดเอก ที่สร้างจากไม้ สามารถบันทึกเสียงได้ดีนัดหนึ่ง มากกว่าเสียงวงใหญ่ที่สร้างจากโลหะ หรือลักษณะของการบรรเลงของเครื่องคนตระแต่ละชนิด เช่น เครื่องสี หรือ ดีด ที่เมื่อบรรเลงจริงจะมีบางจังหวะที่ต้องเล่นรัว และบางจังหวะที่บรรเลงเป็นเสียงโน้ตเดี่ยว ซึ่งรูปแบบของข้อมูลเสียงดังกล่าวมีผลต่อการจำแนกด้วยขั้นตอนวิธีด้วย ประกอบกับขั้นตอนวิธีที่มีคุณลักษณะที่แตกต่างกันจะมีความสามารถในการจำแนกเสียงที่แตกต่างกัน

หากพิจารณาเสียงของเครื่องคนตระที่ให้ผลลัพธ์ในการจำแนกด้วยสุด พบร่วมกับ ขั้นตอนวิธี C5.0 มีเสียงของชุดเพียงชุด และชุดอื่นที่ให้ผลลัพธ์ความถูกต้องต่ำที่สุด สำหรับขั้นตอนวิธีการเรียนรู้แบบแพร่ย้อนกลับ เสียงของชุดเพียงชุด ให้ผลลัพธ์ความถูกต้องต่ำที่สุด และ โครงข่ายประชาทเที่ยมแบบก่อตัวด้วยตนเองของโโค โโซเนน เสียงของชุดเพียงชุด ให้ผลลัพธ์ความถูกต้องต่ำที่สุด ซึ่งพบว่าแม้ขั้นตอนวิธี C5.0 มีผลลัพธ์ความถูกต้องของเสียงเครื่องคนตระทั้งสองดังกล่าว ข้างต้น แต่ก็มีค่าสูงกว่าการจำแนกด้วยขั้นตอนวิธีแบบแพร่ย้อนกลับและ โครงข่ายประชาทเที่ยมแบบก่อตัวด้วยตนเองของโโค โโซเนน

สาเหตุที่ขั้นตอนวิธีการเรียนรู้แบบแพร่ย้อนกลับและ โครงข่ายประชาทเที่ยมแบบก่อตัวด้วยตนเองของโโค โโซเนนให้ผลลัพธ์ความถูกต้องในการจำแนกเสียงของชุดเพียงชุด ให้ค่าถูกต้องต่ำที่สุด

เป็นผลจากคุณลักษณะของเสียงที่ใช้ในการทดลองและการขั้นตอนวิธีมาประยุกต์ใช้ในการจำแนกที่ไม่เหมาะสมกับลักษณะของข้อมูล

บทที่ 5

สรุปผลและข้อเสนอแนะ

5.1 สรุปผล

จากการวิจัยพบว่าขั้นตอนวิธีที่ให้ประสิทธิภาพสูงสุดคือ ขั้นตอนวิธี C5.0 ซึ่งให้ผลลัพธ์คิดเป็นร้อยละ 76.96 โดยมีการจำแนกเครื่องคนตระได้โดยไม่ปะปนกันมากที่สุด จำนวน 5 คู่ ได้ชัดเจน โดยเมื่อพิจารณาประสิทธิภาพการเรียนรู้จำกับประสิทธิภาพการจำแนกเสียงคนตระไทยพบว่า เป็นสัดส่วนกัน คือ ในขั้นตอนวิธีที่ให้ผลลัพธ์การเรียนรู้จำสูง จะให้ผลลัพธ์การจำแนกสูง เช่นกัน จากการวิจัยพบว่าขั้นตอนวิธี C5.0 มีผลลัพธ์ในการจำแนกและเรียนรู้จำเสียงคนตระไทยดีที่สุด โดยขั้นตอนวิธีแบบแพร่ข้อนอกลับ ให้ผลลัพธ์ที่คิดเป็นอันดับที่สอง และโครงข่ายประสาทเทียม ก่อตัวด้วยตนเองของโโคโซเนน ให้ผลลัพธ์ที่ไม่ดีนักซึ่งมีผลมาจากการจำกัดกลุ่มของการแสดงผล และเป็นการเรียนรู้แบบไม่มีผู้สอน

การจำแนกเสียงคนตระไทยด้วยขั้นตอนวิธี C5.0 มีประสิทธิภาพสูงกว่าขั้นตอนวิธีอื่นในการทดลอง ทั้งในด้านความเร็ว และความถูกต้องของข้อมูล โดยเมื่อพิจารณาถึงค่าพารามิเตอร์ในส่วนของ Boosting พบร่วมเพิ่มประสิทธิภาพในการจำแนกเสียงคนตระให้ดียิ่งขึ้น และลักษณะของข้อมูลที่นำมาใช้ในการประมวลผลมีความเหมาะสมกับขั้นตอนวิธีด้านนี้ไม่ตัดสินใจ

5.2 ข้อเสนอแนะ

แนวทางการพัฒนาและศึกษาการจำแนกเสียงของเครื่องคนตระไทย ด้วยขั้นตอนวิธี C5.0 ในอนาคตควรจะมุ่งเน้นทำการศึกษาดังนี้

5.2.1 คนตระไทยมีท่วงทำนองในการบรรเลงหลากหลาย เสียงคนตระไทยมีการตั้งเสียงตามประสบการณ์ของผู้บรรเลง ประกอบกับลักษณะของการบรรเลงในแต่ละครั้งจะมีความหนักเบา แตกต่างกัน ดังนั้นแม้ว่าจะเป็นเครื่องคนตระชนิดเดียวกัน ก็อาจให้คุณลักษณะของเสียงที่แตกต่างกันบ้างไม่นักก็น้อย จึงควรเพิ่มประสิทธิภาพในการจำแนกเสียงที่บรรเลงในท่วงทำนองที่ต่างกัน โดยศึกษาเทคนิคการวิเคราะห์คุณลักษณะเด่นของเสียงคนตระไทย โดยนำการวิเคราะห์ลักษณะเด่นของเสียงอย่างน้อย 2 วิธี มาใช้ร่วมกันคัดลักษณะเด่น เพื่อให้ได้ข้อมูลที่นำไปใช้ในการประมวลผลได้ดียิ่งขึ้น

5.2.2 ควรเพิ่มประสิทธิภาพของขั้นตอนวิธี C5.0 โดยใช้กตุ่มข้อมูลเสียงคนตระที่หลากหลายชนิดยิ่งขึ้น โดยมีข้อมูลครบถ้วนช่วงเสียงที่ใช้บรรเลงจริงในวงคุณตระไทย และศึกษากระบวนการบันทึกเสียงคนตระและรูปแบบขัดเก็บข้อมูลเสียงที่ให้มีคุณลักษณะเด่นชัดยิ่งขึ้น รวมถึงอัตราการสุ่มเสียง (Sampling Rate) ความละเอียดของข้อมูลเสียง และความยาวของเสียง

5.2.3 ควรศึกษาแนวทางการพัฒนาระบบการรู้จำและการจำแนกเสียงคนตระไทยโดยสร้างเป็นโปรแกรมสำเร็จรูป เพื่อประโยชน์ในการปรับแต่งเสียงเครื่องคนตระ หรือนำไปสร้างสื่อการเรียนการสอน

เอกสารอ้างอิง

เอกสารอ้างอิง

- [1] วีระ ทองไพบูลย์, ไชยันต์ สุวรรณชีวงศิริ และวิทวัส ผ่องญาติ. “การระบุชนิดเครื่องดนตรีไทยโดยใช้ลักษณะเด่นของเสียงดนตรีและโครงข่ายประสาทเทียม”, ใน National Computer Science and Engineering Conference (NCSEC2006), น.467-473. ขอนแก่น : โรงแรม โซฟิเทล ราชาก ออคิต ขอนแก่น, 2549.
- [2] วีระ ทองไพบูลย์ และวิทวัส ผ่องญาติ. “การวิเคราะห์เสียงดนตรีไทยจากเพลงบรรเลงเดี่ยว”, ใน National Computer Science and Engineering Conference (NCSEC2007). น.790-797. กรุงเทพมหานคร : โรงแรมมิราเคิล แกรนด์, 2550.
- [3] วนิชชากร พงศ์ทัศนา และสุนิพพ เผชรแก้ว. “การรู้จำเสียงโน้ตดนตรีไทยประเภทเบ็ดดวยซัพพอร์ตเวกเตอร์แมชชีน”, ใน National Computer Science and Engineering Conference (NCSEC2008), น. 1-8. ชลบุรี : โรงแรมลองบีช การเด็น โซเต็ล แอนด์ สปา พัทยา, 2551.
- [4] G. Agostini, M. Longari and E. Pollastri. “Musical Instrument Timbres Classification with Spectral Features”, in European Association for Signal Processing (EURASIP). New York: Hindawi Publishing Corp, 2003.
- [5] A. Asheibi, D. Stirling and D. Sutanto. “Classification and Explanatory Rules of Harmonic Data”, in Australasian Universities Power Engineering Conference (AUPEC'08), p.1-5. Sydney: Australia, 2008.
- [6] J. D. Deng, C. Simmernacher and S. Cranefield. “A Study on Feature Analysis for Musical Instrument Classification”, IEEE TRANSACTIONS ON SYSTEMS, MAN, AND CYBERNETICS, PART B: CYBERNETICS. 38(2): 429-438; APRIL, 2008.
- [7] Q. Ding , N. Zhang. “Classification of Recorded Musical Instruments Sounds Based on Neural Networks”, in Proceedings of the 2007 IEEE Symposium on Computational Intelligence in Image and Signal Processing (CIISP 2007). p.157-162. Honolulu, Hawaii: United States of America, 2007.
- [8] M. Granzow and et al. “Tumor Classification by Gene Expression Profiling: Comparison and Validation of Five Clustering Methods”, ACM SIGBIO Newsletter. 21(1): 16-22; April, 2001.

เอกสารอ้างอิง (ต่อ)

- [9] S. Gunasekaran , K. Revathy. “Fractal Dimension Analysis of Audio Signals for Indian Musical Instrument Recognition”, in International Conference on Audio, Language and Image Processing 2008(ICALIP2008). p.257-261. Shanghai: China, 2008.
- [10] D. Jegelevičius and et al. “Application of Data Mining Technique for Diagnosis of Posterior Uveal Melanoma”, INFORMATICA. (13)4: 455-464; August, 2002.
- [11] Z. Niu, L. Zong, Q. Yan, Z. Zhao. “Auto-Recognizing DBMS Workload Based on C5.0 Algorithm”, in IEEE Second International Workshop on Knowledge Discovery and Data Mining. p.777-780. Moscow: Russia, 2009.
- [12] D-C. Park. “Classification of audio signals using Fuzzy c-Means with divergence-based Kernel”, Pattern Recognition Letters. 30: 794-798, 2009.
- [13] P. Somerville, A.L. Uitdenbogerd. “Multitimbral Musical Instrument Classification”, in Proceedings of the International Symposium on Computer Science and its Applications (CSA'08). p.269-274. Institute of Electrical and Electronics Engineers (IEEE) Computer Society, 2008.
- [14] J. Yu, X. Chen, D. Yang. “Chinese Folk Musical Instruments Recognition in Polyphonic Music”, in International Conference on Audio, Language and Image Processing 2008(ICALIP2008). p.1145-1152. Shanghai: China, 2008.
- [15] C. Xu, and et al. “MUSICAL GENRE CLASSIFICATION USING SUPPORT VECTOR MACHINES”, IEEE International Conference on Acoustics, Speech, and Signal Processing (ICASSP2003). 5: 429-432; April, 2003.
- [16] สราชฎิ สุจิต Chr. การวิเคราะห์เสียงดนตรีไทย. นครราชสีมา : โรงพยาบาลรังสิต, 1994, 2545.
- [17] สงปศึก ธรรมวิหาร. คุริยางค์ไทย. กรุงเทพฯ : สำนักพิมพ์แห่งจุฬาลงกรณ์มหาวิทยาลัย, 2540
- [18] จันท์ สาริก. เครื่องดนตรีไทย. กรุงเทพฯ : สำนักงานอุทยานการเรียนรู้, 2550
- [19] มนตรี ตราโนท. คุริยางคศาสตร์ไทย. กรุงเทพฯ : สำนักพิมพ์ติชน, 2540
- [20] พยุง มีสจ. “ระบบพื้นที่และโครงข่ายประสาทเทียม”, เอกสารประกอบการสอน.
<http://suanpalm3.kmutnb.ac.th/teacher/phayung/>. มีถูก, 2553.
- [21] Rabiner, L. R., Juang, B. H. Fundamentals of speech recognition. New Jersey: Prentice-Hall, Inc., 1993.

เอกสารอ้างอิง (ต่อ)

- [22] Laurene Fausett. Fundamentals of neural networks architectures algorithms and applications. New Jersey: Prentice-Hall, Inc., 1994.
- [23] โอกาส แก้วต่าย. การจำแนกกลุ่มเพลิงไทยเดิม. วิทยานิพนธ์ปริญญาวิทยาศาสตรมหาบัณฑิต : มหาวิทยาลัยศิลปากร, 2552.
- [24] จานนท์ นามสนิท. การจำแนกกลุ่มเพลิงไทยเดิม โดยใช้ชั้นพาร์คเวคเตอร์เมทริกซ์. วิทยานิพนธ์ปริญญาวิทยาศาสตรมหาบัณฑิต : สถาบันเทคโนโลยีพระจอมเกล้าพระนครเหนือ, 2549.
- [25] โครงการสารานุกรมไทยสำหรับเยาวชน โดยพระราชประสงค์ในพระบาทสมเด็จพระเจ้าอยู่หัว สารานุกรมไทยสำหรับเยาวชนฯ เล่มที่ 25. <http://kanchanapisek.or.th>. สิงหาคม, 2551.
- [26] Sim Sian, Hui Kelvin. Using Self-Organizing Maps (SOM) to Cluster Stocks and Financial Ratios. Singapore: Nanyang Technological University, 2006.
- [27] The Laboratory of Computer and Information Science (CIS) "Department of Computer Science and Engineering, Helsinki University of Technology", SOM toolbox. <http://www.cis.hut.fi/somtoolbox/>. 2011.
- [28] Juha Vesanto, Esa Alhoniemi. "Clustering of the Self-Organizing Map", IEEE Transactions on Neural Networks. 11(3): 586-600; May, 2000.
- [29] Juha Vesanto and et al. "Self-Organizing Map in Matlab: the SOM Toolbox", in the Matlab DSP Conference 1999. p. 35-40. Espoo: Finland, 1999.
- [30] S. Furui. Digital Speech Processing, Synthesis, and Recognition. New York : Marcel Dekker, Inc., 1989.
- [31] ศักวินทร์ สินไชย และคณะ. "การรู้จำคำพูด โดยใช้โครงข่ายประสาทเทียมด้วยการสกัดลักษณะเด่นด้วยสัมประสิทธิ์แอลพีชี". ใน Proceedings of 45th Kasetsart University Annual Conference: Architecture and Engineering and Natural Resources and Environment, p.603-610. Bangkok: Thailand, 2007.
- [32] Joe Tebelskis. Speech Recognition using Neural Networks. Doctor of Philosophy: Carnegie Mellon University, 1995.

เอกสารอ้างอิง (ต่อ)

- [33] Eronen, Klapuri. "Musical Instrument Recognition Using Cepstral Coefficients and Temporal Features", in IEEE International Conference on Acoustics, Speech and Signal Processing (ICASSP). Istanbul: Turkey, 2000.
- [34] L.Fausett. Fundamentals of neural Networks: Architectures Algorithms and Applications. New Jersey: Prentice-Hall, Inc., 1994
- [35] ปฏิภาณ โภคดุจ. ต้นไม้ตัดสินใจสำหรับการวิเคราะห์ภาวะตัวรับชอร์โนนของผู้ป่วยมะเร็งเต้านมและขั้นตอนการอัลกอริธึมของผู้ป่วยมะเร็งเต้านมในโรงพยาบาลขอนแก่น. การค้นคว้าอิสระปริญญาวิทยาศาสตรมหาบัณฑิต : มหาวิทยาลัยขอนแก่น, 2551.
- [36] สิทธิโชค ทุกศาสุกุลภิบาล. การวัดประสิทธิภาพของขั้นตอนวิธี ตัวจำแนก C4.5, ADTree และ Naive Bayes ใน การจำแนกข้อมูลการซักซ่อนสิ่งเสพติดสำหรับไปรษณีย์ระหว่างประเทศ. วิทยานิพนธ์ปริญญาวิทยาศาสตรมหาบัณฑิต : มหาวิทยาลัยเกษตรศาสตร์, 2551.
- [37] วีระศักดิ์ ชนะมาร. การจัดกลุ่มข้อมูลปัจจัยที่ทำให้เกิดเสียงต่อโรคเบาหวานด้วย SELF ORGANIZING MAP (SOM). การค้นคว้าอิสระปริญญาวิทยาศาสตรมหาบัณฑิต : มหาวิทยาลัยขอนแก่น, 2552.
- [38] ปิยธิดา รุจศรี. การเปรียบเทียบทักษิณการแบ่งกลุ่มข้อมูลสำหรับการวิเคราะห์กลุ่ม. วิทยานิพนธ์ปริญญาวิทยาศาสตรมหาบัณฑิต : มหาวิทยาลัยเกษตรศาสตร์, 2552.
- [39] Haykin Simon. Neural Networks: A Comprehensive Foundation (2nd Edition). New Jersey: Prentice-Hall, Inc., 1998
- [40] สุกิจ ป้านแก้ว. การรู้จำเสียงพยัญชนะต้นคุณกระยะในภาษาไทยโดยวิธีสเปกตรัม LPC บนสเกลบาร์ก และ HIDDEN MARKOV MODELING. วิทยานิพนธ์ปริญญาวิศวกรรมศาสตรมหาบัณฑิต : สถาบันเทคโนโลยีพระจอมเกล้าเจ้าคุณทหารลาดกระบัง, 2550.
- [41] ชาติ บุณยาณ. การพัฒนาระบบความต้องการไฟฟ้าระยะสั้นมากโดยใช้โครงข่ายประสาทเทียม. วิทยานิพนธ์ปริญญาวิศวกรรมศาสตรมหาบัณฑิต : มหาวิทยาลัยเกษตรศาสตร์, 2549.



ประวัติผู้วิจัย

ชื่อ

นายเอกพงศ์ แผ่นคำ

ประวัติการศึกษา

พ.ศ. 2536

อุดสาหกรรมศาสตรบัณฑิต (วิศวกรรมไฟฟ้า)

สาขาวิชาวิศวกรรมโทรคมนาคม

มหาวิทยาลัยเทคโนโลยีมหานคร

พ.ศ. 2555

วิทยาศาสตรมหาบัณฑิต

สาขาวิชาเทคโนโลยีสารสนเทศ

มหาวิทยาลัยอุบลราชธานี

พ.ศ. 2549 – ปัจจุบัน

ตำแหน่งนักวิชาการศึกษา

สำนักงานเลขานุการคณะกรรมการบริหารศาสตร์

มหาวิทยาลัยอุบลราชธานี

นักวิชาการศึกษา

สำนักงานเลขานุการคณะกรรมการบริหารศาสตร์

มหาวิทยาลัยอุบลราชธานี

อาจารย์ชั่วคราว

จังหวัดอุบลราชธานี

ประวัติการทำงาน

ตำแหน่งและสถานที่ทำงานปัจจุบัน